

Estudios Arqueológicos

Cuenca de Río Indio



Objetivo 4. Tarea 18a – Año 2 Informe de piezas y elementos rescatados a la fecha. Material embalado y ubicado en sitio de custodia temporal

Octubre, 2018

Contrato de consultoría No. 023 (2016)

“Estudios para la elaboración del diseño conceptual del reservorio multipropósito en la Cuenca de Río Indio y proyectos complementarios para el manejo de la cuenca”

Celebrado entre el Ministerio de Ambiente y la Autoridad del Canal de Panamá

Objetivo 4. Tarea 18a – Año 2

**Informe de piezas y elementos rescatados a la fecha.
Material embalado y ubicado en sitio de custodia temporal**

Contrato: CDO390622SACH

Consultor: Environmental Resources Management, Panamá, S.A.

**Proyecto de Capacidad Hídrica
Autoridad del Canal de Panamá**



Indice

1.0	Resumen Ejecutivo.....	5
2.0	Introducción.....	5
2.1	Contexto Geográfico.....	7
3.0	Antecedentes Arqueológicos.....	10
3.1	Las notas de Matthew Stirling.....	16
3.2	Entrevistas a los Residentes en 2018	18
4.0	Descripción del Trabajo de Campo en Pn-50 Uracillo.....	19
4.1	Excavaciones de 2017.....	19
4.2	Excavaciones de 2018.....	20
4.3	Locus de la Escuela	24
4.4	Locus de la Iglesia	26
4.4.1	<i>Resultados de los Pozos de Prueba.....</i>	28
4.4.2	<i>Unidad de Excavación 1.....</i>	29
4.4.3	<i>Unidad de Excavación 2.....</i>	30
4.4.4	<i>Bloque 1, Unidades de Excavación 3, 4, 5 y 6.....</i>	31
4.4.5	<i>Unidad de Excavación 7.....</i>	32
4.5	Locus de las Terrazas.....	33
4.5.1	<i>Unidad de Excavación 8.....</i>	35
4.5.2	<i>Unidad de Excavación 9.....</i>	36
5.0	El Material Cultural de Pn-50.....	38
5.1	Fechaientos Absolutos	38
5.2	La Cerámica de Pn-50	40
5.2.1	<i>Descripción del Material Cerámico de 2018.....</i>	41
5.2.2	<i>Escotá Rojo-Ante</i>	42
5.2.3	<i>Aristide (tipo Girón)</i>	45
5.2.4	<i>Guácimo Rojo sobre Blanco.....</i>	46
5.2.5	<i>Rojo sobre Crema</i>	48
5.2.6	<i>Conte Rojo</i>	50
5.2.7	<i>Conte Polícromo</i>	52
5.2.8	<i>Mendoza Rojo.....</i>	53
5.2.9	<i>Cortezo.....</i>	54
5.2.10	<i>Análisis e interpretación</i>	57
5.2.11	<i>Distribución espacial y estratigráfica de la muestra</i>	59
5.2.12	<i>Análisis Modal de la Cerámica.....</i>	61
5.3	La Lítica de Pn-50.....	68
5.3.1	<i>Enfoque Analítico y Métodos.....</i>	68
5.3.2	<i>Resultados</i>	69
5.3.3	<i>Discusión.....</i>	87
5.3.4	<i>Conclusiones</i>	93
6.0	Interpretación del Sitio.....	94
6.1	Cronología	94
6.2	Afiliación Cultural	94
6.3	Tamaño, Organización y Función del Sitio.....	95
7.0	Conclusiones y Recomendaciones.....	97
8.0	Equipo Profesional.....	99

9.0	Lista de Referencias.....	100
10.0	Apéndices.....	109
10.1	Apéndice 1: Inventario de los materiales arqueológicos del sitio Pn-50	109
10.2	Anexo 2 Inventarios de Materiales Líticos	116
10.3	Apéndice 3. Inventario de Materiales Líticos Analizados.....	117

Resumen Ejecutivo

Como resultado de un trabajo interinstitucional y con una amplia consulta pública, Panamá aprobó el 23 de agosto de 2016, mediante Resolución de Gabinete No. 114, su Plan Nacional de Seguridad Hídrica 2015-2050 “Agua para Todos” (PNSH), cuyo objetivo es garantizar el acceso justo y equitativo del agua a toda la población y sectores productivos, en cantidad suficiente y calidad aceptable, asegurando la disponibilidad y protección de los recursos hídricos y los ecosistemas en un clima cambiante. Mediante esta resolución de gabinete, también se creó el Consejo Nacional del Agua (CONAGUA) como la entidad encargada de impulsar, orientar, coordinar y garantizar el desarrollo e implementación del PNSH, y la Secretaría Técnica del CONAGUA, en calidad de coordinadora del CONAGUA, la cual está adscrita al Ministerio de Ambiente (MiAMBIENTE).

El CONAGUA aprobó su Plan de Trabajo 2016-2018, donde se incluye como parte de las acciones de corto plazo para el logro de la Meta 2, Agua para el desarrollo socioeconómico inclusivo, la realización de estudios de pre inversión de nuevos reservorios multipropósito (ríos Indio, Bayano, Santa María, La Villa, Perales, Parita, Ocú). Como parte de los estudios necesarios, está la Evaluación de la biodiversidad en la cuenca de río Indio y el diseño de un programa de monitoreo y conservación, el cual es el objeto del presente informe final, elaborado por URS Holdings, Inc. bajo el Contrato No. 12369-PAN 2018.

Este documento, presenta un resumen del rescate arqueológico realizado en el sitio Pn-50 ubicado en la comunidad de Boca de Uracillo, así como la identificación de las áreas donde se realizaron las excavaciones dentro de la comunidad y los resultados de los elementos encontrados. Igualmente, los resultados de los análisis del material de cerámica y lítica recuperado in situ.

Introducción

Se presenta el informe final de las tareas de rescate arqueológico que tuvieron lugar en el sitio denominado Pn-50 y también conocido como sitio Uracillo, sobre el cual se encuentra el poblado moderno de Boca de Uracillo en el distrito de Penonomé de la provincia de Coclé, en el tramo medio de la cuenca del río Indio. Originalmente excavado por Matthew Stirling en 1951 (Stirling 1953), Pn-50 comprende los vestigios de una aldea Precolombina ocupada en varios episodios a lo largo del primer y segundo milenio de nuestra era hasta la invasión española en el siglo XVI. El sitio fue revisitado por el equipo liderado por Richard Cooke y John Griggs en 2001 (Cooke et al. 2001) como parte de las investigaciones de la Región Occidental de la Cuenca del Canal (ROCC) y por el equipo de ERM y SEARCH en noviembre de 2017, quienes reevaluaron el yacimiento. Esta última investigación formó parte de una pesquisa más abarcadora cuyo propósito fue el de prospectar la cuenca del río Indio y reevaluar algunos de los sitios ya descubiertos en ella, entre los que estaba Pn-50. Esta reevaluación (ERM 2018) determinó que el yacimiento Pn-50 cubre por lo menos unas 3.6 hectáreas y que presentaba el suficiente potencial arqueológico para ser sujeto de excavaciones de rescate más amplias, como la abundancia y variedad de los restos culturales soterrados y en superficie, y la presencia de rasgos arqueológicos intactos, que lo hacen único en la región circundante hasta el momento.

La investigación aquí reseñada consistió en trabajo de campo, que inició con entrevistas a los residentes del pueblo para intentar localizar las trincheras de excavación de Stirling (1953) y recopilar información sobre la historia de los descubrimientos arqueológicos en la localidad. Luego de las entrevistas, se realizaron excavaciones de sondeos o pozos de prueba (PP) para delinear las áreas con mayor densidad de artefactos o rasgos potenciales según fueron identificadas por ERM y SEARCH en noviembre de 2017. En los días de trabajo de campo restantes se practicaron unidades de excavación (UE) más grandes o de mayor cobertura para identificar, exponer y documentar rasgos culturales prehistóricos.



Figura 1. Vista del poblado de Boca de Uracillo hacia el sur.

Luego de la fase de campo los materiales recuperados fueron embalados y llevados a un laboratorio acondicionado por la ACP en el edificio 717 de Balboa en la ciudad de Panamá, donde se llevó a cabo el lavado, clasificación, cuantificación y análisis de los materiales recuperados, en su gran mayoría cerámica y lítica del período Precolombino. A continuación, se presentan los antecedentes arqueológicos de Pn-50 y la región de Panamá en la que se encuentra, y luego se discuten los resultados de los trabajos de campo, para luego pasar al análisis de los materiales culturales recuperados, que incluyó fechamientos de radiocarbono de 14 muestras obtenidas en el sitio Pn-50, donde en 2017 ya se habían obtenido dos más.

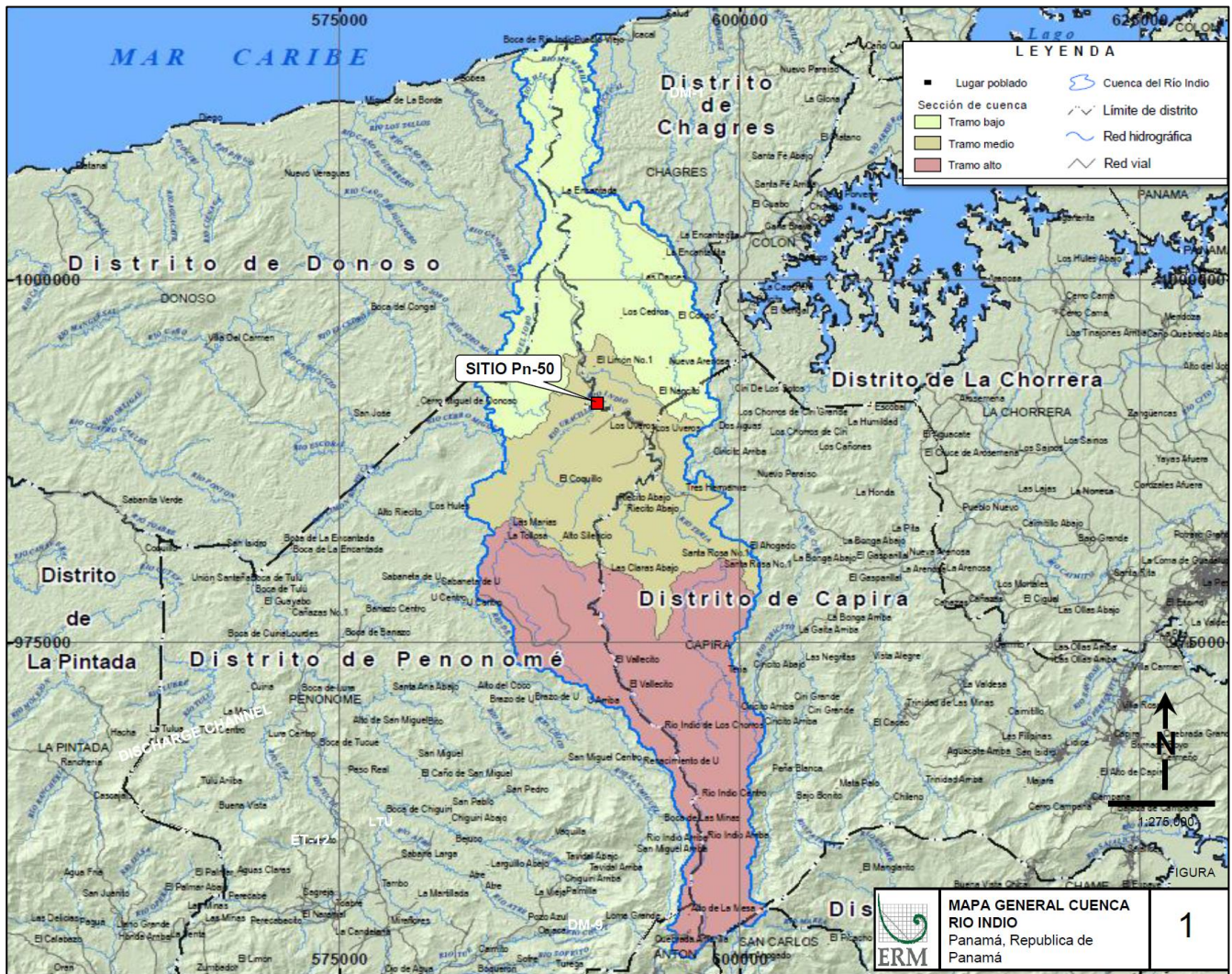


Figura 2. Ubicación regional del sitio Pn-50 en el poblado de Boca de Uracillo que está en la cuenca del río Indio.

1.1 Contexto Geográfico

El poblado de Uracillo y el sitio Pn-50 se encuentran a unos 25 km en línea recta desde la desembocadura del río Indio, a una elevación de entre 20 y 30 m sobre el nivel del mar, y junto a la margen izquierda u occidental del mismo río, y en el punto donde desemboca el río Uracillo. El asentamiento se extiende desde la margen del río y sube a las estribaciones más bajas de la ladera de un pequeño cerro hacia el oeste que asciende hasta aproximadamente los 140 m sobre el nivel del mar. Esta es una zona de orografía muy accidentada, conformada por colinas bajas como la que está junto a Uracillo, en la vertiente Atlántica de la Cordillera Central.

La topografía local es favorable para el asentamiento dado lo plano de la zona y el buen drenaje que presenta, además de las terrazas en la ladera hacia el oeste del poblado que son propicias para el asentamiento humano. Aunque Stirling (1953) argumentaba que estas terrazas eran artificiales, algunas también pueden ser naturales y formadas por las inundaciones del río. La precipitación también es un factor favorable para el asentamiento en Uracillo ya que al parecer durante los meses de la estación seca de febrero a abril, el área alrededor de Pn-50 es un poco menos húmeda que las tierras al oeste (Herrera et al. 1985:36).

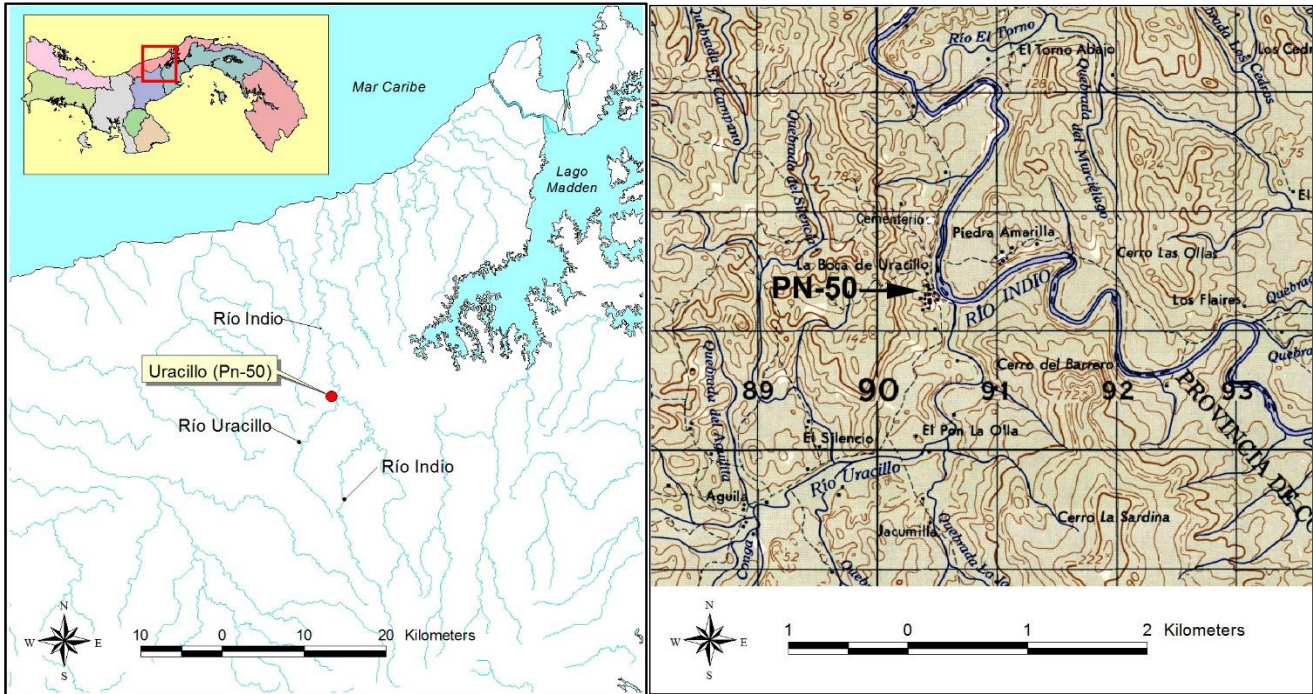


Figura 3. Ubicación regional con el detalle de la red hidrográfica y la topografía en el área de Boca de Uracillo.

En cuanto a la zona de vida o de bioclima, el sitio está ubicado en la zona de bosque muy húmedo premontano (Tosi 1971). La mayoría de estos bosques en Panamá se caracterizan por contener suelos muy ácidos y bajos en nutrientes vegetales, y por ende con poco potencial para la agricultura. Sin embargo, Pn-50 se encuentra en una zona que por ser una planicie aluvial con buen drenaje y por tener terrazas ribereñas o aluviales geológicamente jóvenes, tiene suelos propicios para la agricultura, en los que el río Indio puede depositar ricos aluviones.

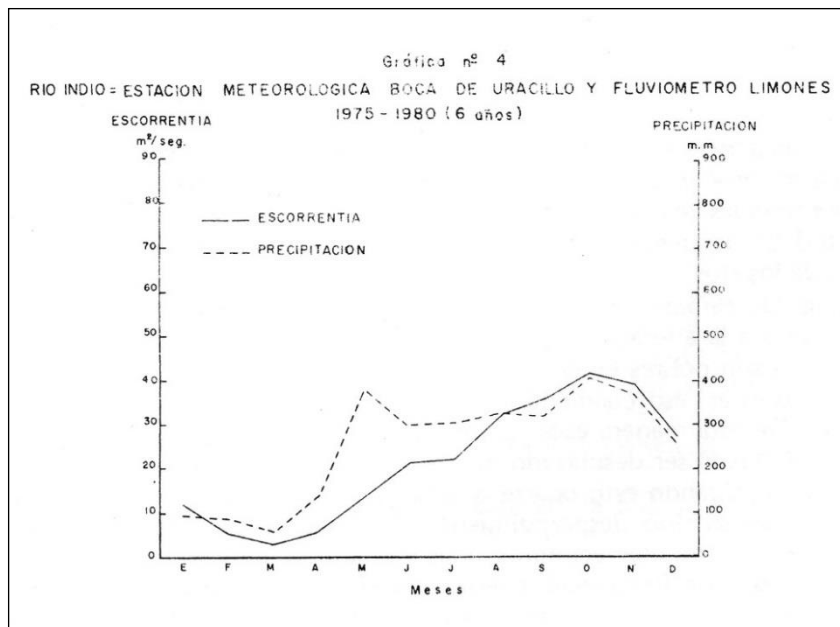


Figura 4. Tabla de precipitación para el río Indio con datos de Boca de Uracillo (Herrera et al. 1985).

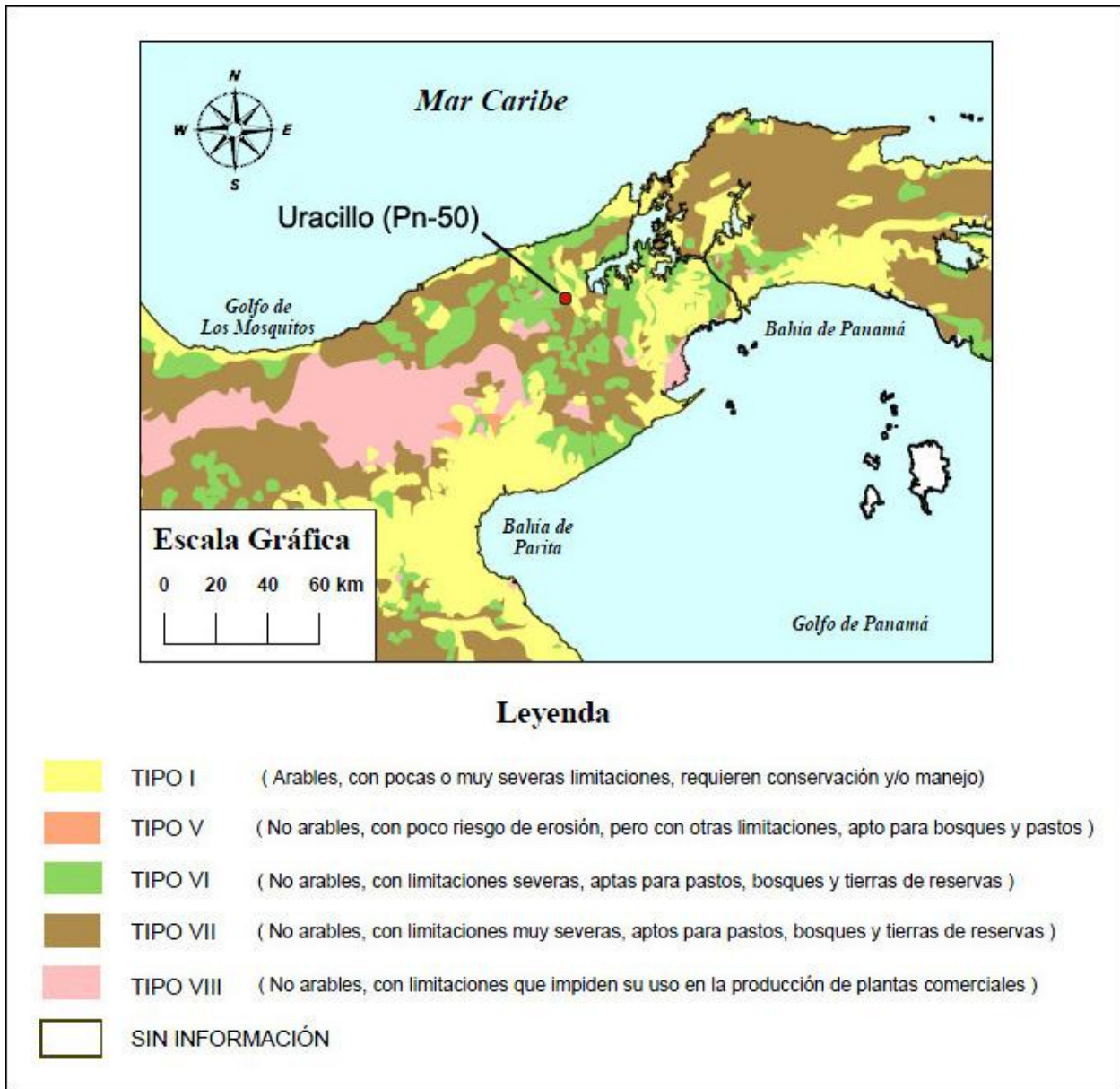


Figura 5. Mapa de las capacidades agrológicas que muestra los suelos arables alrededor de Boca de Uracillo (Autoridad Nacional del Ambiente 1985).

También es preciso indicar que el río Indio es el más largo del Caribe central panameño, con casi 99 km de extensión desde su nacimiento al norte del Valle de Antón en la Cordillera Central hasta el mar. El sitio Pn-50 que se encuentra en el cauce medio del río, está estratégicamente localizado para capitalizar al Indio como una arteria de intercambio, transporte y comunicación entre las vertientes Caribe y Pacífica del Istmo. Además su localización en la boca del río Uracillo le habría abierto las puertas para el intercambio con toda la zona al oeste y sur del río Indio.

Antecedentes Arqueológicos

Los modelos arqueológicos actuales sugieren que el Caribe central panameño fue asentado por seres humanos desde por lo menos el 4000 a.C. (Griggs 2005), principalmente debido a presiones poblacionales del lado Pacífico. Las redes de intercambio transcordillerano entre las poblaciones de ambas vertientes pronto emergieron para capitalizar la distribución diferencial de bienes entre ambas costas. Así, los bienes del Pacífico como el algodón, textiles y la sal se intercambiaban comúnmente por productos caribeños como resinas aromáticas de árboles, carne de monte, huesos de manatí, hachas de piedra y luego, oro. También se intercambiaban mujeres para casarse.

La región del río Indio, por lo menos en el siglo XVI, marcaba la frontera entre dos de las tres grandes regiones culturales del Panamá Precolombino: el Gran Coclé y el Gran Darién (Romoli 1987:24). Desde alrededor del año 500 a.C. la agricultura practicada por los habitantes del Istmo se vuelve más especializada, ya que las plantas cultivadas, especialmente el maíz, se vuelven más productivas, después de miles de años de experimentación. Reunida en aldeas en las áreas más fértiles - planicies, vegas coluviales y valles montañosos - la población crece, se diversifica culturalmente y la producción de artefactos se vuelve, también, más especializada. Se acentúan las diferencias entre asentamientos, entre grupos humanos, y entre individuos.

Fueron surgiendo entonces en el Istmo - 500 a.C. - grupos humanos que compartían ciertos rasgos culturales, que los distinguían de los demás. Así emergieron tres regiones, o tres esferas de interacción cultural, o tres tradiciones semióticas, denominadas hoy Gran Chiriquí, Gran Coclé y Gran Darién, que abarcaban amplias áreas en ambas costas y que marcaron el resto de la historia precolombina de los habitantes de Panamá. El Gran Coclé abarcaba hacia el año 1500 d.C., un territorio en ambas vertientes del Istmo aproximadamente desde Chame y el río Indio de Coclé hasta el río Tabasará en Veraguas y allí se hablaban diversos idiomas del grupo chibchense. Es en esta región donde se han encontrado los restos de alfarería más antiguos del istmo, alrededor del año 3,000 a.C. del estilo conocido como Monagrillo. Aquí también se han encontrado las aldeas de mayores dimensiones en extensión como La Mula-Sarigua, Cerro Juan Díaz, El Hatillo y Natá. El Gran Darién, caracterizado arqueológicamente por grupos que confeccionaban cerámica decorada principalmente mediante la plástica, abarcaba hacia el siglo XVI, por ambas costas del Istmo desde el río Indio y Chame hasta el Golfo de Urabá, y destacaban sus habitantes por hablar una *lingua franca* para poder comprenderse entre ellos, la famosa "lengua de Cueva" que tanto mencionan los cronistas españoles (Romoli 1987).

una correspondiente escasez de sitios en la costa. Es posible que la falta de sitios costeros obedezca a factores naturales, como por ejemplo, la agresiva y dinámica naturaleza de las corrientes marinas en el Caribe central panameño, que dificultan el acceso marítimo directo a tierra firme y por ende el establecimiento de asentamientos costeros. Además, en muchos de los drenajes costeros de los ríos principales de la costa Caribe existen extensos pantanos que reducen el potencial de habitación humana de las zonas marítimas (Herrera et al. 1985:46).

El patrón de intercambio entre grupos en las costas Pacífico y Caribe de Panamá central continuó durante todo el período Precolombino, y así las investigaciones arqueológicas han comprobado el hallazgo de rasgos culturales del Gran Coclé en las cerámicas de los asentamientos en la vertiente Caribe de Panamá que aquí nos ocupa (Griggs 2005: 343), a excepción de un breve hiato en estos intercambios cerámicos cuando estaban en boga el estilo Macaracas del Gran Coclé (entre 1000 y 1150 d.C). Poco después vuelven a aparecer estilos del Gran Coclé en los sitios del Caribe con el hallazgo de cerámicas Cortezo (que aparece alrededor del 1200 d.C. y es contemporáneo con el estilo Parita entre 1150 y 1400 d.C.) y del Estilo Mendoza usado a finales del siglo XV e inicios del XVI (Griggs 2005:358-66).

El estilo Mendoza es contemporáneo con la cerámica denominada como el tipo Limón, un conjunto de cerámica burda de pastas blanquecinas y sin mayores decoraciones aparte de un simple engobe, que comparte con la cerámica Mendoza fechas tardías en el período Precolombino que van desde alrededor del 1300 d.C. hasta mediados o fines del siglo XVI (Cooke et al. 2003; Griggs 2005). Sin embargo, los fechamientos obtenidos en el sitio Cp-43 durante las prospecciones de 2017 extienden el rango cronológico de la cerámica Limón a por lo menos la primera mitad del siglo XIII, por lo que se puede considerar contemporánea con los estilos Parita, El Hatillo y Mendoza de la tradición semiótica del Gran Coclé.



Figura 7. Evolución de la cerámica pintada del Gran Coclé (Cooke 2011). Todos estos estilos se encuentran en sitios en las vertientes Pacífica y Caribe del Istmo, a excepción quizá del estilo Macaracas que no se encuentra en el Caribe.



Figura 8. Plato Mendoza y vasija Limón (Griggs 2005:365).

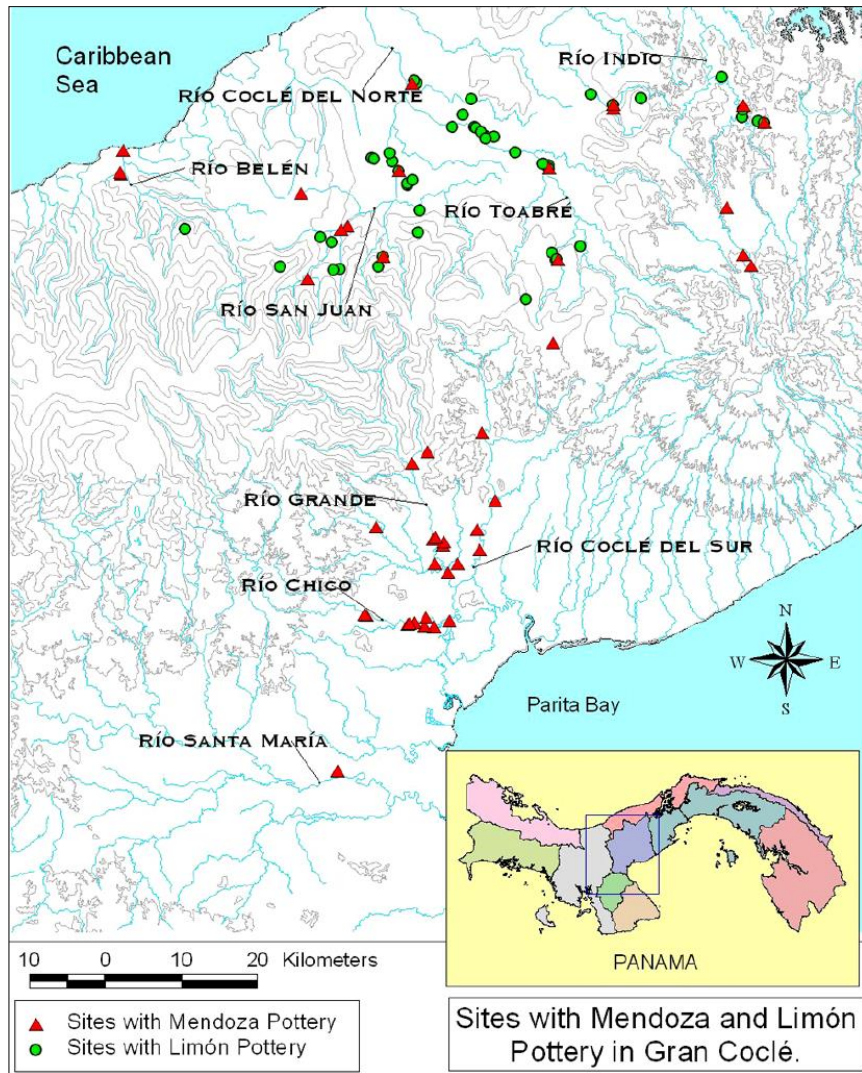


Figura 9. Distribución de los sitios con cerámica Mendoza y Limón en el Gran Coclé (Griggs 2005:86).

Como se dijo arriba el sitio Pn-50 está en el supuesto límite entre Gran Coclé y Gran Darién hacia el siglo XVI, según afirman los cronistas ibéricos de la época. Lastimosamente no existen buenas secuencias cerámicas construidas para la Región Oriental de Panamá ni una buena historia cultural del período Precolombino, aunque las últimas investigaciones han revelado algunos estilos cerámicos en la región que se han observado también en la cuenca del río Indio y específicamente en el sitio Uracillo.

Así Griggs (2005: 377-84) manifiesta haber encontrado en Uracillo algunos tientos con decoraciones plásticas similares a algunas reportadas en el Gran Darién para los últimos siglos del período Precolombino, es decir los siglos XIV y XV. Como se verá más adelante durante las excavaciones de 2018 también se dieron hallazgos similares.

La cerámica del Gran Darién se caracteriza por su decoración casi exclusivamente a través de la plástica, con muy poca pintura si es que aparece, y con engobes muy ligeros llamados fugitivos (Martín 2002, Mendizábal 2004). Ostenta sin embargo una gran variabilidad especialmente en la decoración incisa y modelada, que a veces reproduce en incisión patrones decorativos pintados del Gran Coclé, en otra muestra de contactos e intercambios culturales entre las regiones (Mendizábal 2016). Para los últimos 500 años del período Precolombino se ha observado un modo de decoración plástica que es el cepillado lineal bajo los bordes de las vasijas, que ha sido documentado en una amplia distribución por el Gran Darién. Varios tientos con este modo decorativo fueron documentados en investigaciones previas como por ejemplo en el sitio de Far Fan (Marshall 1949:129 fig. 45-10), en la isla de Taboga, sitio Taboga-1 (Stirling y Stirling 1964: pl. 45, H; pl. 46, D; pl. 49, C); sitio Taboga-4 (ibid. Pl. 54, F, H, I y J); sitio isla Urabá (ibid. PL 55, B); sitio Taboguilla-1 (ibid. Pl. 65, H, I, J y K; pl. 72, C). También fue reportado en la isla Pedro González en el sitio L106 (Martín et al. 2009:78) y más recientemente en el sitio Cocolí 17 en la desembocadura del Canal de Panamá (Mendizábal 2011:10 fig. 7). Al parecer este modo de decoración, observado en el sitio Uracillo como se verá más adelante, pertenece al lapso 900-1400 d.C. (Cooke y Martín 2010:7-8).

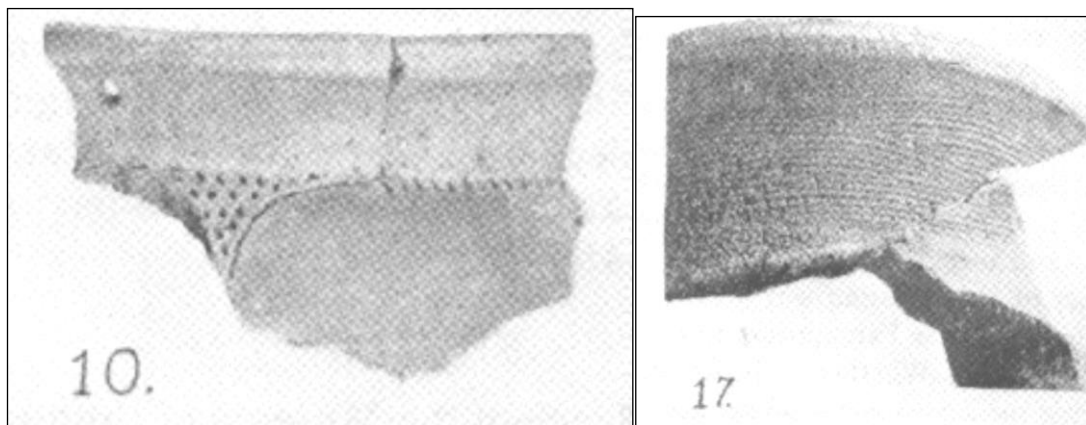


Figura 10. Playa Far Fan, modos decorativos incisos reportados por Marshall (1949: fig. 45). El no. 10 muestra incisiones sobre el hombro, modo fechado en Panamá Viejo entre los años 800 y 1300 d.C. Por asociación se puede asignar un rango temporal similar al tiento marcado con el no. 17, que también ha sido observado con una amplia distribución alrededor del Golfo de Panamá.



Figura 11. Peinado en la superficie exterior. A la izquierda, reportados en el sitio Taboga-4 (Stirling y Stirling 1964 pl. 54, F, H, I y J). A la derecha excavados en la isla Pedro González sitio L106 (Martín et al. 2009:78).

1.2 Las notas de Matthew Stirling

Gracias a John Griggs se pudo obtener una transcripción de las notas de excavación de Matthew Stirling en el sitio Pn-50, transcripción hecha por Marion su esposa quien la entregó a Griggs (Stirling s.f.). En estas se describe como la expedición arqueológica llegó a Uracillo el 18 de febrero de 1951 ascendiendo por el río Indio. Stirling afirma que el pueblo tenía unos 10 años de ocupación y que era el único poblado en toda la región a excepción del pueblo de Río Indio en la desembocadura del mismo río. Uracillo en 1951 consistía en 10 casas, la mitad desocupadas, y una escuela nueva y recién construida, con el piso de cemento y techo de láminas metálicas.

Stirling retrata el sitio como localizado en una ladera que se eleva de la ribera occidental del río Indio justo debajo de su confluencia con el río Uracillo, cubriendo unas 400 yardas de largo por unas 100 yardas subiendo la ladera, que está cubierta por una serie - aproximadamente 25 - de pequeñas terrazas planas o plataformas construidas para casas. Afirma que todos los edificios en 1951 estaban construidos sobre estas terrazas, y los más grandes eran la iglesia (la original, no la actual) y la escuela.

Sobre el yacimiento afirma que en ese entonces toda la superficie del suelo estaba cubierta de tiestos cerámicos desde unos 50 pies sobre el nivel más bajo del agua del río hasta una elevación de aproximadamente 125 pies.

Stirling describe de manera somera las excavaciones que realizó:

- La trinchera 1, una excavación pequeña en la ladera debajo de una plataforma residencial, directamente detrás de la escuela.
- La trinchera 2, en el abrigo rocoso descrito abajo.
- La trinchera 3, en la parte baja de la ladera debajo de la terraza de la iglesia, es la que aparece en la fotografía de National Geographic.
- La trinchera 4, excavada en la terraza residencial más alta detrás de la escuela.



Figura 12. Trincheras 3 excavada en 1951 por Stirling y su equipo junto a la iglesia original del pueblo, localizada detrás de la iglesia actual (Stirling 1953:280). Nótese la urna completa detrás del excavador que sale de la trinchera.

A lo largo del nivel más bajo de ocupación, hacia el centro del sitio existía un afloramiento de grandes rocas, 3 de las cuales conformaban un abrigo rocoso en el que los tiestos eran particularmente abundantes. Aquí describe en detalle la excavación de la denominada trinchera 2: el estrato superficial consistía en tierra húmica oscura de un pie de profundidad con tiestos particularmente abundantes. Por casi dos pies bajo esta capa continuaban los tiestos cerámicos en la arcilla roja. Los tiestos polícromos eran bastante abundantes, con pintura roja y negra sobre fondo crema y algunos con color púrpura. Las formas eran bastante variadas con bases anulares más comunes que las bases cortas de pedestal. Se encontraron ollas con asas acintadas dobles y labios evertidos. La mayoría de los especímenes con pintura la llevaban al interior de platos poco profundos, algunos de los que estaban pintados de rojo al exterior. También se observó la pintura exterior sobre jarrones, sobre todo en negro sobre blanco. Y finalmente describe en detalle el hallazgo de una figura efigie femenina de cerámica.

Para concluir Stirling brinda algo de detalle sobre la trinchera 3, que dice que reveló bastantes tiestos, muchos pintados. También encontró allí una figurilla animal decorada con líneas incisas. Por otro lado afirma que las hachas de piedra fueron abundantes en todas las excavaciones.

Es de notar que en la actualidad, aunque todavía se aprecian tiestos cerámicos en superficie al caminar sobre la aldea de Boca de Uracillo, ya no parecen ser tan abundantes como los describió Stirling. Aunque todavía se aprecian en superficie, es solamente en algunos sectores, no en todo el pueblo. Por otro lado llama la atención el no haber podido encontrar ni un tiesto con pintura color púrpura durante las investigaciones de 2017 y 2018, aunque sí suficientes elementos diagnósticos y fechamientos radiométricos para corroborar el hecho de que el poblado fue ocupado en tiempos en los que la pintura morada estuvo en uso, durante el período Cerámico Tardío A y B que coinciden con los estilos cerámicos

Conte y Macaracas (entre el 700 y 1150 d.C.).

1.3 Entrevistas a los Residentes en 2018

Para conocer más detalles sobre la historia reciente del pueblo, la localización de las excavaciones de Stirling en 1951 y sobre cualquier otro hallazgo significativo de bienes culturales en la vecindad de Boca de Uracillo, se realizaron entrevistas principalmente entre los residentes más longevos del poblado durante el primer día de trabajo de campo (27 de julio de 2018). Se pudo entrevistar cinco personas, listadas a continuación:

María Elida, 81 años

Hipólito Martínez, 71 años

Paula Vergara, 66 años

Olmedo Martínez, 66 años

A los entrevistados se les enseñaron las fotografías publicadas de las excavaciones de Stirling y se les hicieron seis preguntas básicas:

1. ¿Cuánto tiempo ha estado el poblado en su sitio actual?
2. ¿Cuál es la parte o sector más antiguo del pueblo?
3. ¿Cuánto tiempo ha vivido usted en Uracillo?
4. ¿Recuerda usted al arqueólogo americano que estuvo en el pueblo en la década de 1950?
5. ¿Sabe usted cuál es el edificio de Uracillo que aparece en las fotos de 1953 en la revista National Geographic?
6. ¿Ha usted visto u oído comentarios sobre hallazgos arqueológicos en el área?

De las entrevistas pudimos aprender que el poblado de Boca de Uracillo se estableció en algún momento de las décadas de 1930 o 1940 y fue fundado por un grupo de personas que salieron de la comunidad de Palma Real, localizada a “unos 20 minutos” hacia el norte. Varios testigos aseveraron que las casas que están detrás de la escuela son la parte más vieja del poblado. Con la excepción de la Señora María Elida, quien es de Las Marías y se mudó a Uracillo cuando tenía 16 años, los demás entrevistados todos nacieron en Uracillo.

Ninguno recordó las excavaciones de Stirling en 1951; sin embargo varios de los testigos reconocieron el edificio que se muestra en las fotos de la revista como la iglesia original y reconocieron a familiares suyos en la fotografía. Según la información que nos dieron, parece ser que la iglesia original estuvo donde hoy se encuentra el área techada de asientos detrás de la iglesia actual. De este modo, la trinchera de excavación de Stirling de la famosa foto debe estar muy cerca y posiblemente debajo de la iglesia actual o del centro de salud, que está inmediatamente al sur de la iglesia moderna. Es preciso anotar también que la campana de la iglesia moderna ostenta la fecha de 1953.

Varios de los individuos reportaron encontrar pedazos rotos de cerámica en todo el poblado. Olmedo Martínez recordaba encontrar una urna completa detrás de su casa hacia el norte del pueblo, que se rompió por completo al ser extraída de la tierra. Otros reportaron encontrar u oír sobre enterramientos, abrigos rocosos con artefactos y artículos de oro de varios sitios a lo largo del río Uracillo y particularmente cerca de la aldea de Coquillo.

Descripción del Trabajo de Campo en Pn-50 Uracillo

Como se dijo anteriormente, el sitio Pn-50 se investigó en varias ocasiones: en 1951, luego en 2001 y finalmente por el equipo de ERM y SEARCH el 6/11/2017 y en la temporada de campo de julio y agosto de 2018. El sitio consiste en los restos de una aldea Precolombina grande ocupada en diversos episodios a lo largo del primer y segundo milenio de nuestra era, sobre los que se encuentra la comunidad actual de Boca de Uracillo, en el distrito de Penonomé de la provincia de Coclé. El sitio se extiende desde la planicie aluvial del río Indio hacia las terrazas inferiores y superiores de una pequeña elevación en su margen occidental. La investigación actual se concentró en dos zonas específicas: las terrazas planas en espacios actualmente públicos (frente a la iglesia y a la escuela) y en las terrazas en la colina al oeste del poblado, en propiedades donde se obtuvo el permiso de sus dueños para excavar. La mayor parte del sitio carece de cobertura boscosa ya que se trata principalmente de potreros y los patios de las casas, donde el material cerámico en ocasiones se observa disperso en la superficie. El área con restos culturales observados en 2017 cubre aproximadamente 3.6 hectáreas. A continuación reseñamos brevemente los trabajos de 2017 y luego se describen en detalle los de la temporada 2018.

1.4 Excavaciones de 2017

Se excavaron 9 pozos de sondeo de 50 x 50 cm de los cuales 8 arrojaron artefactos. Cinco se localizaron en las terrazas y la ladera al oeste de la comunidad moderna; uno se practicó junto a la iglesia, otro junto a la escuela, y dos más se realizaron en la propiedad de Amado Martínez que está en la primera terraza adyacente al río. Adicionalmente se observaron pequeños fragmentos de cerámica en los perfiles expuestos cortados por los caminos a través del poblado.

Los pozos de sondeo de 1 al 5 fueron excavados en las partes planas de las laderas al oeste del pueblo, y en todos se encontraron cerámicas excepto en el pozo 4. En este sector del sitio los suelos, como lo ejemplifica el pozo 2, consistieron de una matriz arcillo arenosa café gris muy oscura (10 YR 3/2) mezclada con restos modernos de los 0 a los 8 cm de profundidad, una arcilla arenosa café (7.5YR 4/4) de 8 a 37 cm y un estrato arcillo arenoso café fuerte (7.5 YR 5/6) de 37 a 45 cm, bajo el cual está el subsuelo compacto. El pozo 2 en particular demostró la más alta densidad de cerámicas que ocurrió a una profundidad de entre 20 y 40 cm, justo por encima del estrato 3 o café fuerte. En este pozo se encontraron los tiestos cerámicos en posición horizontal y apretados contra la superficie del subsuelo, lo que indica que posiblemente fueron depositados en una superficie de habitación preparada y mantenida, es decir un piso. Stirling (1953) había sugerido previamente que los habitantes antiguos de Uracillo habían nivelado intencionalmente las terrazas para colocar sus viviendas, y es posible que la vecindad del pozo 2 corresponda a una de estas terrazas artificiales.

No obstante, las mayores concentraciones de cerámicas se observaron en la vecindad de la iglesia y la escuela, en las terrazas más cercanas al río. El pozo 6 se colocó frente a la iglesia y arrojó una alta densidad de tiestos cerámicos entre los 0 y los 40 cm de profundidad. El pozo 9 se localizó al norte de la escuela (justo fuera de su cerca perimetral) y también arrojó una muy alta densidad de cerámicas entre los 0 y 20 cm. Los suelos en esta porción del sitio consisten de un estrato arcillo arenoso café oscuro (10 YR 3/3) de 0 a 20 cm bajo el cual está otro estrato arcillo arenoso café amarillento oscuro de 20 a 40 cm.

El pozo 8 se localiza en el borde de la primera terraza sobre el plano aluvial (en el patio delantero de la residencia del Sr. Martínez, donde se localizaba nuestro campamento) y es de notar ya que mostró los depósitos más profundos identificados en el sitio. Había artefactos en pequeñas cantidades en todos los niveles desde la superficie hasta los 60 cm de profundidad, contenidos en una matriz de suelo uniforme limo arenosa color café (10 YR 3/4), probablemente como resultado de deposiciones aluviales.

En enero de 2018 el Sr. Martínez indicó en correspondencia con ERM que esta porción de su propiedad se inunda cuando hay lluvias sostenidas. También comentó que toda su propiedad junto a las demás adyacentes al río sufrieron una inundación catastrófica en 2006 que arrasó con todas las viviendas durante lluvias particularmente intensas, situación que seguramente también se daba periódicamente durante el período Precolombino.

1.5 Excavaciones de 2018

En este reporte se agruparon las excavaciones en tres áreas o locus distintos en el poblado de Boca de Uracillo: la iglesia, la escuela y las terrazas al oeste del pueblo.

Las coordenadas de los pozos de prueba o de sondeo y las unidades de excavación aquí reseñadas están basadas en las coordenadas UTM de los pozos de prueba realizados en 2017. Estos pozos previos fueron relocalizados y usados como puntos de datum para el mapeo de las unidades de excavación de 2018, que fueron mapeadas usando cintas de medir y una brújula.

Los pozos de prueba y las unidades de excavación se practicaron usando herramientas manuales y procediendo en niveles arbitrarios que no excedieron los 10 cm de grosor. Los sedimentos excavados fueron cernidos a través de mallas de .635 cm y los artefactos de cada nivel fueron almacenados en bolsas de poliuretano libres de ácido, etiquetadas según su procedencia. A cada bolsa se le asignó un número de control FS (del inglés *Field Sample*, muestra de campo).

Las profundidades de los pozos de prueba se midieron desde la superficie y se presentan como centímetros bajo la superficie (cmbs). Para las unidades de excavación que miden 1 x 1 m o más, las profundidades se midieron desde un datum elevado a 10 cm sobre la superficie y registradas como centímetros bajo el datum (cmbd). Las unidades procedieron hasta llegar a los suelos culturalmente estériles. Cada unidad fue fotografiada en perfil, y sus rasgos fotografiados en vista de planta y perfil, según el caso.

La Tabla 1 presenta un resumen de los pozos de prueba y las unidades de excavación realizadas y la Tabla 2 resume los rasgos arqueológicos documentados. El área de excavación combinada de las excavaciones fue de 12.5 m². De estos, 8.5 m² se excavaron en los alrededores de la iglesia. Medio metro cuadrado se excavó cerca de la escuela. Los restantes 3.5 m² se excavaron en las terrazas al oeste del poblado.

Tabla 1. Resumen de unidades de excavación.

Unidad	UTM Este	UTM Norte	Fecha	Locus	Área	Profundidad Máxima	Comentarios
PP 1	590408	991454	30/7	Terraza	50 x 50 cm	54 cmbs	
PP 2	590408	991467	2/8	Terraza	50 x 50 cm	82 cmbs	Se identificó el rasgo 9
PP 3	590388	991472	30/7	Terraza	50 x 50 cm	43 cmbs	
PP 4	590403	991472	30/7	Terraza	50 x 50 cm	54 cmbs	
PP 5	590512	991475	28/7	Escuela	50 x 50 cm	90 cmbs	
PP 6	590408	991477	30/7	Terraza	50 x 50 cm	65 cmbs	Se identificó el rasgo 10
PP 7	590500	991478	28/7	Escuela	50 x 50 cm	48 cmbs	
PP 8	590425	991513	1/8	Terraza	50 x 50 cm	70 cmbs	
PP 9	590510	991529	27/7	Iglesia	50 x 50 cm	37 cmbs	Se identificó el rasgo 2 a 27 bajo la superficie.
PP 10	590500	991539	1/8	Iglesia	50 x 50 cm	55 cmbs	Se identificó el rasgo 8, el

Unidad	UTM Este	UTM Norte	Fecha	Locus	Área	Profundidad Máxima	Comentarios
							PP se incorporó a la UE 3.
PP 11	590510	991539	27/7	Iglesia	50 x 50 cm	58 cmbs	Se identificó el rasgo 1, potencialmente una sección de una de las trincheras de Stirling.
PP 12	590510	991549	27/7	Iglesia	50 x 50 cm	65 cmbs	
PP 13	590490	991559	31/7	Iglesia	50 x 50 cm	22 cmbs	Se identificaron los rasgos 6 y 7, el PP fue incorporado a la UE7.
PP 14	590500	991559	27/7	Iglesia	50 x 50 cm	57 cmbs	
UE 1	590509	991529	28/7	Iglesia	1 x 1 m	63 cmbd	Se identificaron los rasgos 3-5. La mitad del rasgo 2 está dentro de la unidad.
UE 2	590498	991559	31/7	Iglesia	1 x 1 m	69 cmbd	
UE 3	590499.5	991538.5	2/8	Iglesia	1 x 1 m	58 cmbd	Se identificó el rasgo 12 en una porción de la UE.
UE 4	590498.5	991538.5	3/8	Iglesia	1 x 1 m	58 cmbd	Se identificó el rasgo 11 y parte del rasgo 12.
UE 5	590498.5	991537.5	3/8	Iglesia	1 x 1 m	58 cmbd	
UE 6	590499.5	991537.5	3/8	Iglesia	1 x 1 m	58 cmbd	Se identificó el rasgo 13.
UE 7	590489.5	991558.5	2/8	Iglesia	1 x 1 m	46 cmbd	
UE 8	590408	991466.5	5/8	Terraza	1 x 1 m	93 cmbd	
UE 9	590407	991476	6/8	Terraza	1 x 1 m	78 cmbd	Se identificó el rasgo 16.

Coordenadas UTM en el datum WGS 84. Cmbd = centímetros bajo el datum; Cmbs = centímetros bajo superficie.

Tabla 2. Resumen de rasgos arqueológicos detectados.

Rasgo	Fecha	Unidad	Tipo de rasgo	Artefactos	Muestras
1	27/7	PP 11	Posible trinchera de excavación de los Stirling	FS# 21 y 22: Cerámica prehistórica y clavos históricos	
2	27/7	PP 9	Huella de poste	FS# 37 y 38: Cerámica prehistórica	
3	28/7	UE 1	Pozo somero	FS# 40: Cerámica y lítica prehistórica	
4	28/7	UE 1	Huella de poste	FS# 41 y 42: Cerámica y lítica prehistórica	
5	28/7	UE 1	Madriguera de roedor	FS# 43: Cerámica prehistórica	
6	1/8	PP 13	Huella de poste moderno		
7	1/8	PP 13	Huella de poste	FS# 91: Cerámica y lítica prehistórica	FS# 90: Tierra y carbón
8	1/8	PP 10	Desconocido; huella de poste/huero/botadero de ceniza	FS# 108-110: Cerámica y lítica prehistórica	FS# 108-110: Carbón
9	1/8	PP 2	Pozo / trinchera	FS# 93 y 131: Cerámica y lítica prehistórica	FS# 136: Carbón
10	1/8	PP 6	Basurero		

Rasgo	Fecha	Unidad	Tipo de rasgo	Artefactos	Muestras
11	3/8	UE 4	Desconocido / posible huella de poste	FS# 112: Cerámica prehistórica	
12	3/8	UE 3/4	Desconocido / posible fogón	FS# 116, 118, 120	FS# 117 y 119: Carbón
13	3/8	UE 6	Desconocido / posible huella de poste	FS# 128-130: Cerámica prehistórica	
14	4/8	UE 3/6	Desconocido / área de suelos mezclados		
15	4/8	UE 3-5	Desconocido; probable rasgo linear estructural		
16	6/8	UE 9	Huella de poste		

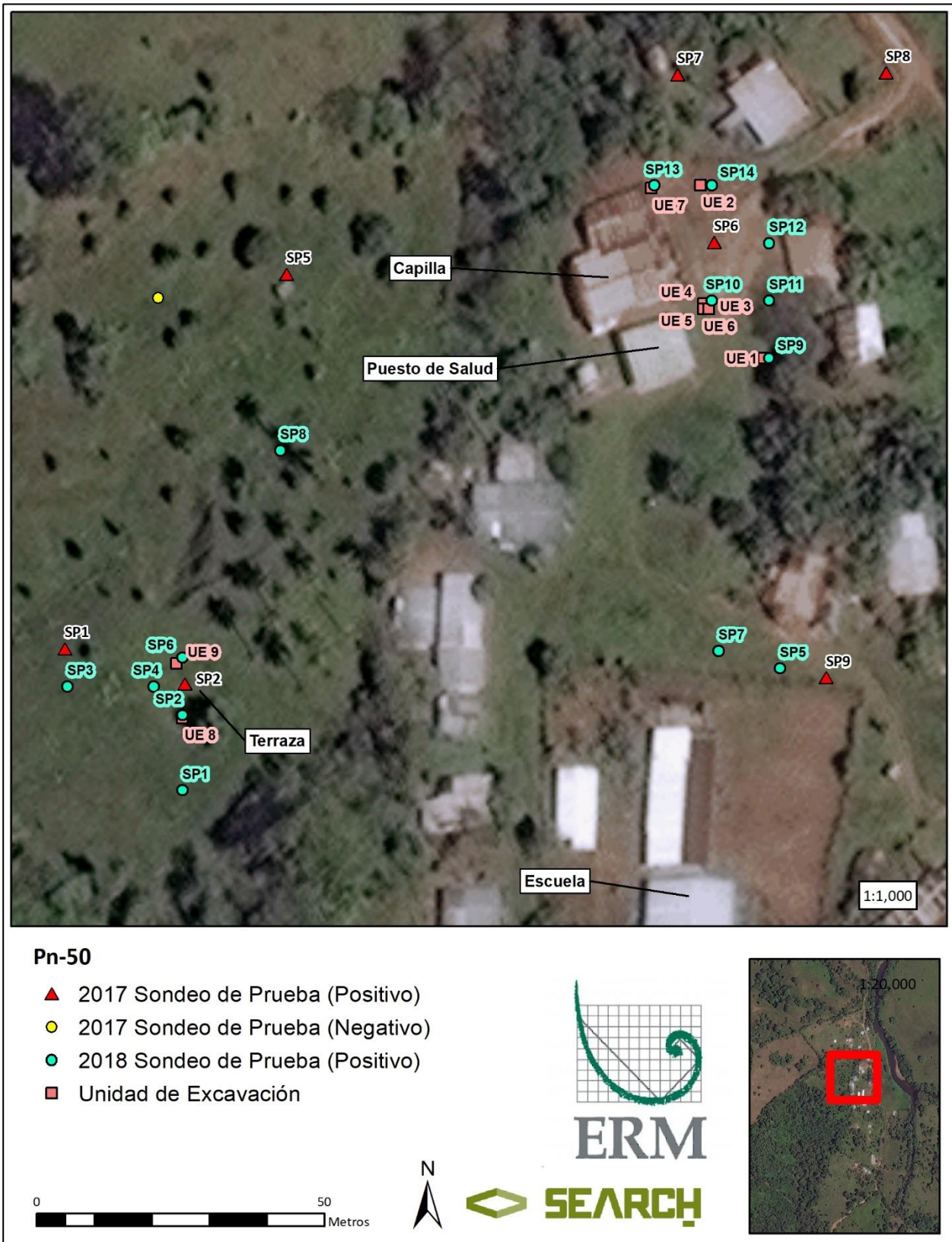


Figura 13. Fotografía aérea del poblado de Boca de Uracillo (sobre el sitio Pn-50) con las ubicaciones de los pozos de prueba y las unidades de excavación documentadas en este informe.

1.6 Locus de la Escuela

Durante la temporada de 2017 se realizó el pozo de prueba 9, que contenía la más alta concentración de artefactos de todos los pozos realizados en el poblado, y de donde se obtuvo un fechamiento radiométrico que apuntaba hacia el siglo IX de nuestra era. Este pozo reveló tuestos diagnósticos como bordes, tuestos no diagnósticos de cuerpos y lítica. Debido a la alta densidad de artefactos, este locus fue escogido para mayores investigaciones. Sin embargo no se pudo obtener permiso para excavar en los terrenos de la escuela, por lo que la investigación de 2018 se ciñó a un área entre la calle y la cerca alrededor de los terrenos escolares.

Aquí se excavaron los pozos de prueba 5 y 7, en los que no se identificaron rasgos culturales. Estos pozos fueron colocados a intervalos de 10 metros hacia el oeste-noroeste del pozo 9 hecho en 2017, a lo largo de la cerca al norte del terreno de la escuela, y a lo largo del extremo norte de la terraza en la que está la escuela. Los perfiles del suelo del pozo 5 indicaban un alto grado de perturbación, probablemente debido a la nivelación del terreno durante la construcción de la escuela. Este pozo fue excavado hasta el suelo estéril pero contenía muy pocos artefactos. El pozo 7 se excavó 10 metros más allá hacia el oeste-noroeste pero tampoco reveló hallazgos ya que esta zona al parecer es usada para el drenaje de agua de superficie, indicado por suelos limosos y olorosos. Este sondeo terminó a los 30 cm bajo la superficie y arrojó muy pocos artefactos. El resto del área alrededor de la escuela no pudo ser explorada ya sea por la falta de autorización o porque el terreno está anegado perennemente.

Se obtuvo de este locus un fechamiento radiocarbónico durante la temporada 2017 de un fragmento cerámico carbonizado que ubica la ocupación en los siglos IX y X de nuestra era.



Figura 14. Vista hacia el oeste a lo largo de la cerca de la escuela de Uracillo en la que se ve el área donde se localizaron los pozos de prueba 5 y 7.



Pn-50

- 2018 Sondeo de Prueba (Positivo)
- ▲ 2017 Sondeo de Prueba (Positivo)



ERM



Figura 15. Localización de los pozos de prueba cerca de la escuela de Uracillo.



Figura 16. Perfil oeste del pozo 5 en el que se observa la perturbación del área.

1.7 Locus de la Iglesia

El área alrededor de la iglesia arrojó la segunda más alta densidad de artefactos durante las excavaciones de 2017 y fue donde se enfocaron nuestros principales esfuerzos en 2018. Adicionalmente, corresponde con una de las zonas en las que Stirling excavó originalmente como se discutió arriba. Un total de 6 pozos de prueba y 7 unidades de excavación se realizaron frente a la iglesia, incluyendo una unidad de 2 x 2 m que fue la conjunción de las unidades 3, 4, 5 y 6. Trece de los 16 rasgos arqueológicos identificados se encontraron en este locus, que en esta temporada reveló la mayor cantidad de artefactos en el sitio, incluyendo material cerámico y lítico diagnóstico. Como se verá más adelante, aquí se obtuvieron 9 fechamientos radiocarbónicos de fragmentos de carbón que apuntan a una ocupación de este locus entre los siglos XII y XIV de nuestra era.



Pn-50

- 2018 Sondeo de Prueba (Positivo)
- ▲ 2017 Sondeo de Prueba (Positivo)
- 2017 Sondeo de Prueba (Negativo)
- Unidad de Excavación



Figura 17. Localización de los pozos de prueba y las unidades de excavación cerca de la capilla o iglesia de Uracillo.



Figura 18. Excavación del pozo de prueba 12 frente a la iglesia de Uracillo.

1.7.1 Resultados de los Pozos de Prueba

Los seis pozos de prueba excavados en el locus de la iglesia fueron ubicados a intervalos de 10 metros en una parrilla centrada alrededor del pozo de sondeo 6 excavado en 2017. Cada uno de estos sondeos típicamente fue excavado a una profundidad de entre 55 y 65 cm bajo la superficie hasta llegar al subsuelo estéril. Los estratos I y II contenían las cantidades más grandes de artefactos del sitio. El estrato I sin embargo, estaba típicamente perturbado por las construcciones modernas del pueblo.

Cuatro de los seis pozos de prueba contenían rasgos culturales. El rasgo 1 se encontró en el pozo 11 y consistía de una mancha de suelo de forma cuadrada en la parte noroeste del pozo. Se observó primeramente en el estrato II. El suelo en este rasgo estaba moteado con subsuelo estéril y contenía cerámica prehistórica y lítica, pero estos artefactos eran relativamente pequeños en tamaño en comparación con los demás encontrados en el sitio. Al fondo de este rasgo se encontraron clavos de acero por encima del subsuelo estéril, pero no se identificaron otros artefactos modernos en el relleno. Según la forma cuadrada del rasgo, los suelos perturbados y el contenido de artefactos, el rasgo 1 parece haber sido parte de una de las trincheras de excavación de Stirling.

Debido a esto, no se exploró más el rasgo 1. No obstante, los demás rasgos identificados en los pozos de prueba fueron investigados mediante las unidades de excavación. A continuación se presenta un resumen de estas excavaciones y de los rasgos arqueológicos encontrados en estas.



Figura 19. Perfil norte del pozo de prueba 11 en el que se ve el rasgo 1, que posiblemente se trata de parte de una de las excavaciones de Stirling.

1.7.2 *Unidad de Excavación 1*

Fue practicada al oeste del pozo de prueba 9 donde se encontró el rasgo 2. En la unidad se detectaron 2 estratos y fue excavada hasta 63 cmbd cuando se llegó al subsuelo estéril. El estrato 1 contenía la mayor cantidad de artefactos con múltiples cerámicas diagnósticas, incluyendo un tiesto polícromo. Se encontraron 3 otros rasgos (3 al 5) durante la excavación.

El rasgo 2 fue una pequeña huella de poste localizada junto al rasgo 3 que era un pequeño orificio o pozo. Estos dos rasgos fueron excavados y fotografiados, y en ellos se encontraron cerámica, algunas líticas y rocas fracturadas por la acción del fuego. El rasgo 4 inicialmente parecía otra huella de poste, sin embargo contenía sedimentos moteados y una falta de artefactos similar a los descritos para el rasgo 1 discutido arriba y encontrado en el pozo de prueba 11. De este modo se interpretó el rasgo 4 como una excavación más reciente y potencialmente al borde de una de las trincheras de Stirling. El rasgo 5 fue documentado como la madriguera de un roedor.

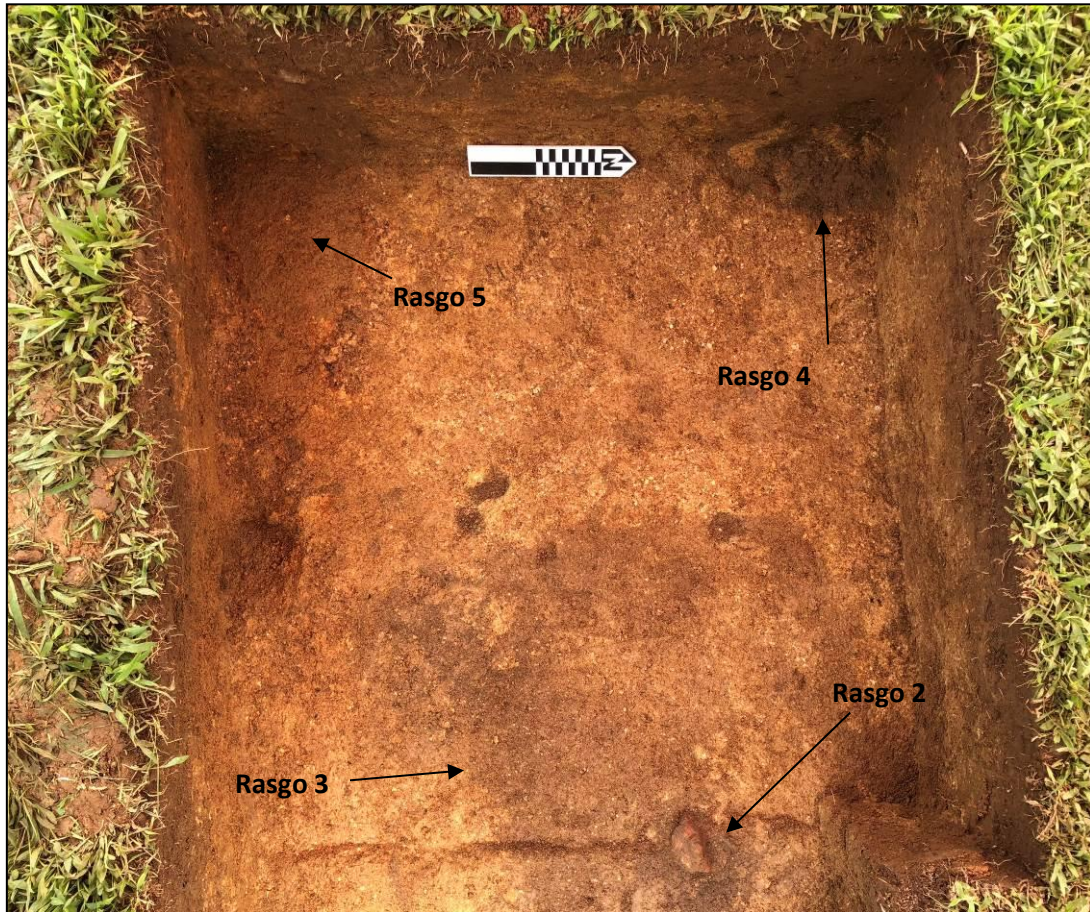


Figura 20. Unidad de excavación 1, estrato II visto en planta en el que se muestran los rasgos 2 al 5.

1.7.3 Unidad de Excavación 2

Fue practicada al este del pozo de prueba 14 para investigar una mancha oscura inusual registrada allí. Contenía tres distintos estratos de suelo y fue excavada hasta los 69 cmbd al llegar al subsuelo estéril. En el estrato 1 se encontró una punta lítica proyectil/navaja; no obstante la presencia de desechos modernos indicó que este estrato había sido previamente perturbado. El estrato II mostró una mayor concentración de tiestos cerámicos más grandes incluyendo una cuenta cerámica. Este estrato constituye el suelo oscuro detectado en el PP 14 y al exponerlo más resultó no ser un rasgo distintivo, aunque puede representar un horizonte A de suelo enterrado o un THIN SHEET MIDDEN. El estrato II era aparentemente de 10 cm de profundidad y estaba inmediatamente encima del estrato III que es culturalmente estéril. No se identificaron rasgos culturales en esta unidad.



Figura 21. Pared este de la Unidad de excavación 2.

1.7.4 Bloque 1, Unidades de Excavación 3, 4, 5 y 6

Las unidades de excavación 3 a 6 conformaron un bloque continuo de 2 x 2 m al que se denominó bloque 1, y en el que se encontraron 5 rasgos culturales distintos. La ubicación del bloque 1 se fundamentó en el descubrimiento de una mancha circular oscura (rasgo 8) en el pozo de prueba 10, que fue expandido con la UE 3. El rasgo 8 se identificó en el estrato III y parece haber sido una huella de poste que fue colocado en el borde de una superficie de habitación o piso. Los estratos I y II contenían una alta densidad de artefactos pero fueron perturbados por la construcción de la iglesia, ya que en el estrato II se encontró una capa de arena y piedras de río, que seguramente es la que algunos de los moradores recuerdan como la que fue traída del río para nivelar el terreno y colocar la fundación de la iglesia. Debajo de este estrato también se observaron perturbaciones, pero no tan intensas como las ocurridas por encima con la construcción de la iglesia.

Para exponer otras porciones del rasgo 8 y el posible piso de habitación, se practicaron las UE 4, 5 y 6 alrededor de la UE 3. Debido a las limitantes de tiempo el estrato I (que anteriormente se demostró que había sido perturbado) fue removido sin cernir los materiales. Los rasgos 11 y 15 primero aparecieron en la base del estrato II y son más claramente discernibles en el estrato III.

Desafortunadamente, las excavaciones en el bloque 1 debieron suspenderse al llegar al estrato III debido a una disputa entre el concejo local de la iglesia sobre la autorización para realizar las excavaciones. Se colocaron bolsas plásticas de basura sobre el fondo de la excavación antes de rellenarla.

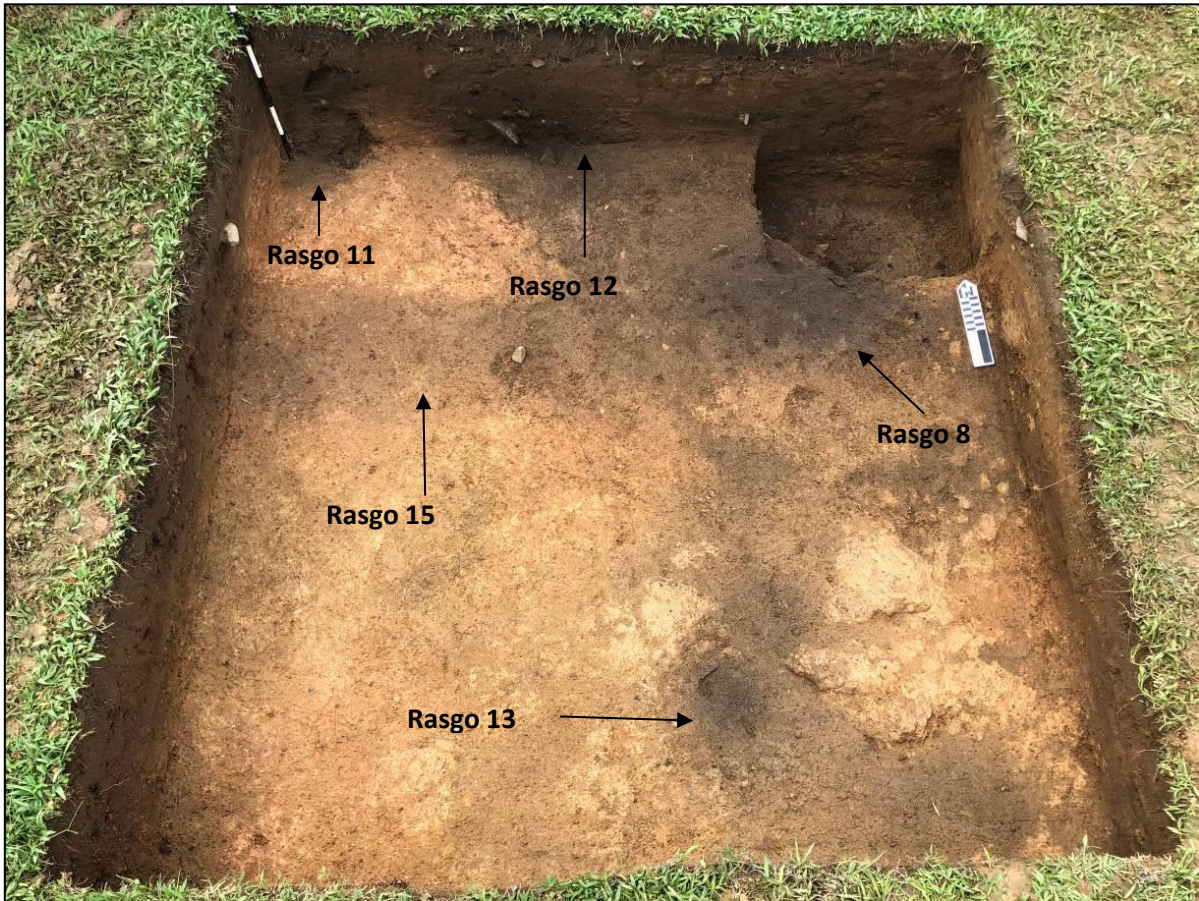


Figura 22. El bloque 1 con la vista en planta de las UE 3, 4, 5 y 6. Se observan el rasgo 8 y los rasgos 11, 12, 13, 14 y 15 en el estrato III.

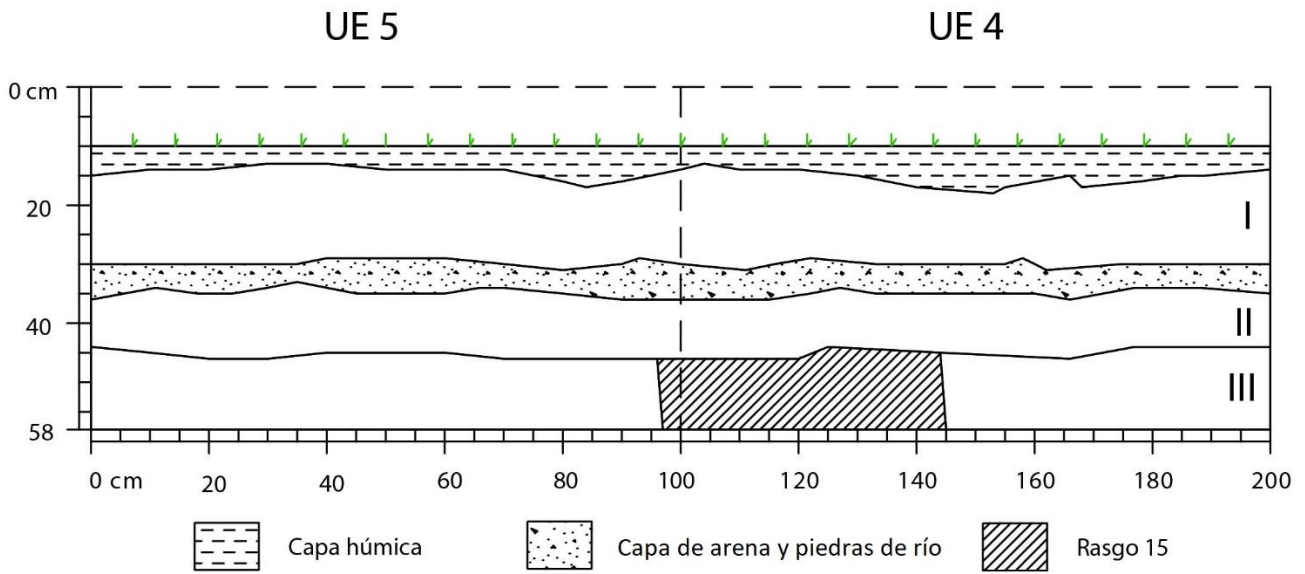


Figura 23. Perfil oeste del bloque 1.

1.7.5 Unidad de Excavación 7

Fue excavada sobre el sondeo de prueba PP 13 para seguir exponiendo los rasgos 6 y 7. Estos rasgos

fueron identificados en la base del estrato I y se encontró que habían sido excavados hasta el subsuelo estéril. El rasgo 6 era perfectamente cuadrado, mientras que el rasgo 7 era redondo. La excavación adicional de estos rasgos reveló basura moderna. Se determinó que ambos rasgos son de origen moderno y por eso se terminó la excavación de la UE 7.

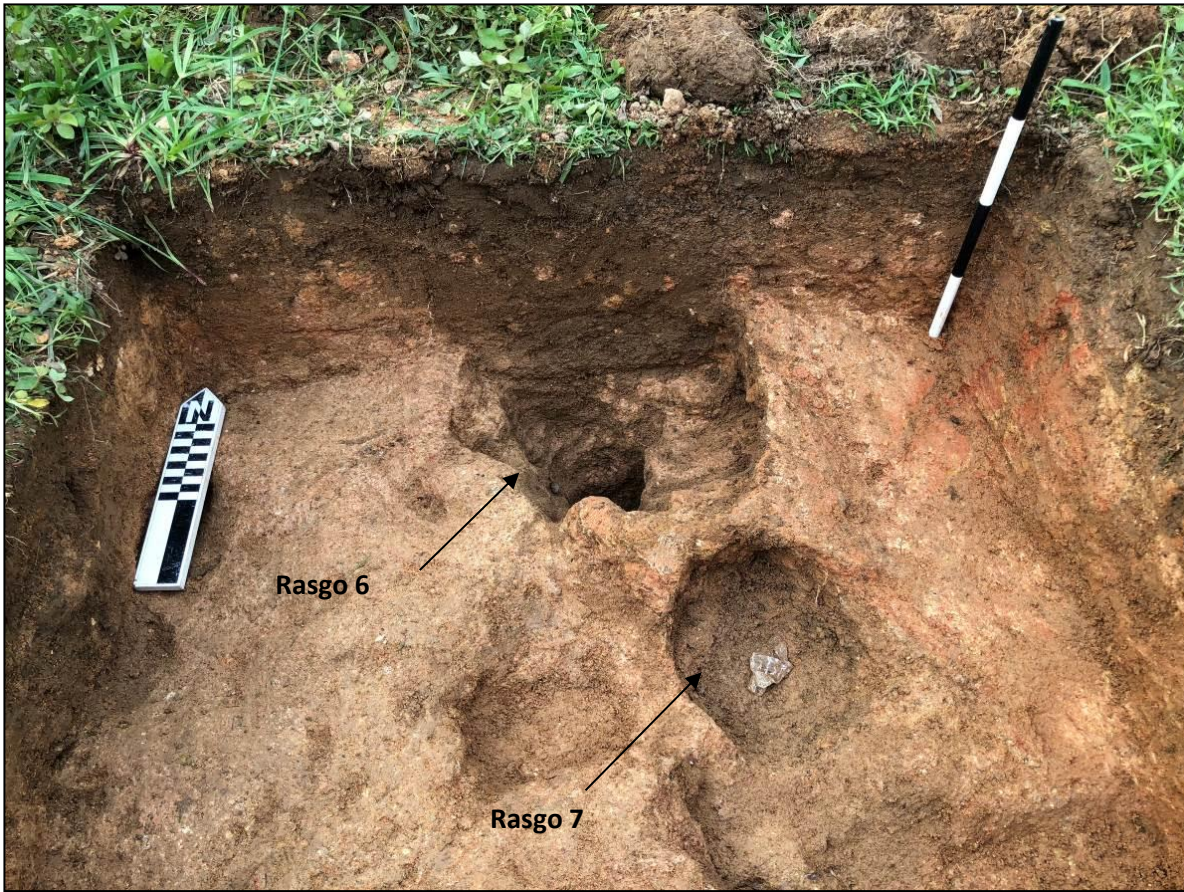


Figura 24. Vista de planta de la UE 7 en la que se observan los rasgos 6 y 7, que se determinó que eran huellas de postes modernas. Al fondo del rasgo 7 se puede observar un envoltorio plástico para caramelos.

1.8 Locus de las Terrazas

Durante las excavaciones de 2017 se realizaron cinco sondeos o pozos de prueba en la terraza sobre el poblado de Boca de Uracillo. Estos sondeos revelaron muchos menos artefactos que aquellos cercanos a la escuela y la iglesia. No obstante, uno de ellos (sondeo o PP 2 de 2017) contenía un rasgo que fue identificado como una posible superficie de vivienda o piso. Por consiguiente este sondeo se convirtió en el punto focal para las investigaciones de 2018 en el locus de las terrazas. Un total de 6 pozos de prueba adicionales y 2 unidades de excavación se practicaron aquí, exponiendo 3 rasgos culturales. Los 2 pozos de prueba colocados a intervalos de 20 m al oeste y sur del PP 2 de 2017 se realizaron en dos terrazas separadas y a una mayor altura que la del PP 2. Ambos revelaron conteos mínimos de artefactos y el subsuelo estéril a poca profundidad. Otra plataforma, más baja en elevación, localizada al noreste del PP 2 fue sondeada y también reveló muy pocos materiales culturales. Basándonos en la ausencia de artefactos en las plataformas arriba y debajo de la del PP 2 de 2017, se determinó era allí donde estaba la mayor probabilidad de encontrar una habitación Precolombina.

En este locus se obtuvieron 6 fechamientos radiocarbónicos. En 2017 un fragmento cerámico carbonizado arrojó una fecha de ocupación temprana entre los siglos I y II de nuestra era, mientras que

en la temporada 2018 5 fechamientos adicionales de pedazos de carbón arrojaron una serie de fechas que van desde el siglo VI hasta el XIV de nuestra era.

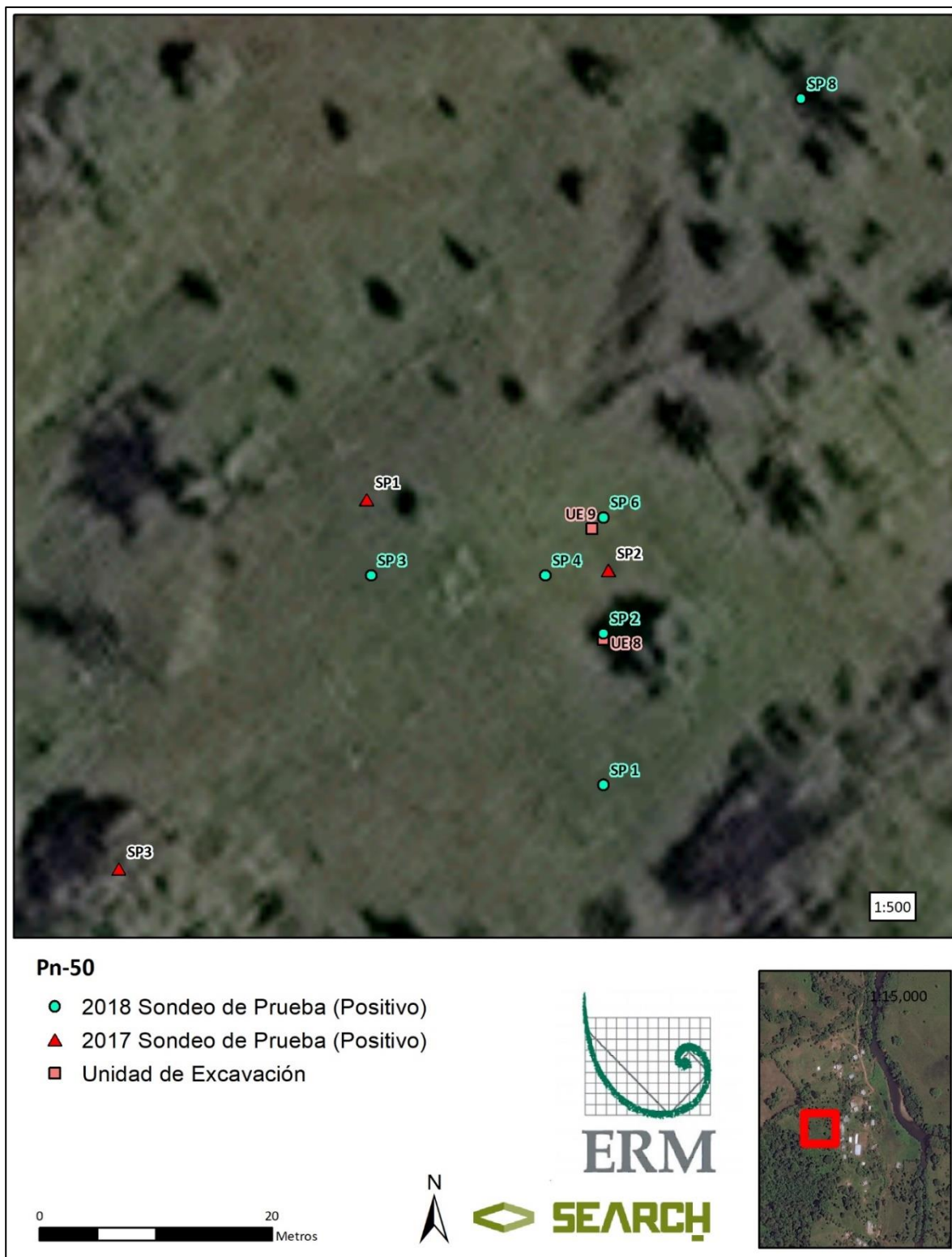


Figura 25. Localizaciones de los pozos o sondeos de prueba y unidades de excavación en la zona de terrazas al oeste del poblado actual de Boca de Uracillo.



Figura 26. Vista hacia el este sobre la terraza y el poblado de Boca de Uracillo.

Tres pozos de prueba adicionales se colocaron a intervalos de 5 m del PP 2 de 2017 hacia el norte, oeste y sur. Estos pozos produjeron conteos de artefactos similares a los observados en 2017 y también estratos similares a los previamente documentados. El PP 6, ubicado a 5 m al norte del PP 2 de 2017, reveló el rasgo 10 que parece ser una superficie de piso o de habitación similar a aquella observada previamente. El pozo de prueba 2, a 5 metros al sur del PP 2 de 2017 reveló el rasgo 9 que tiene la apariencia de un pozo u orificio artificialmente creado.

1.8.1 Unidad de Excavación 8

Se excavó sobre el PP 2 de 2018, para exponer el rasgo 9. Debido a los límites de tiempo los sedimentos sobre este rasgo fueron removidos pero no cernidos. El rasgo se encontró primeramente a 21 cmbs y continuó hasta los 60 cmbs. Luego de excavar la unidad, se determinó que el rasgo 9 no era un hueco sencillo, sino posiblemente un rasgo lineal estructural que fue excavado en el estrato III. La silueta de este rasgo en el estrato II sobre el estrato III, con forma de curva sinusoidal, se asemeja al perfil producido por un campo de cultivo que usa canales y camellones, por lo que esto puede estar referenciando una zona de trabajo agrícola en las terrazas sobre el poblado. Los artefactos estaban concentrados en el estrato II, que contiene el rasgo 9, mientras que el estrato III contenía menos artefactos.

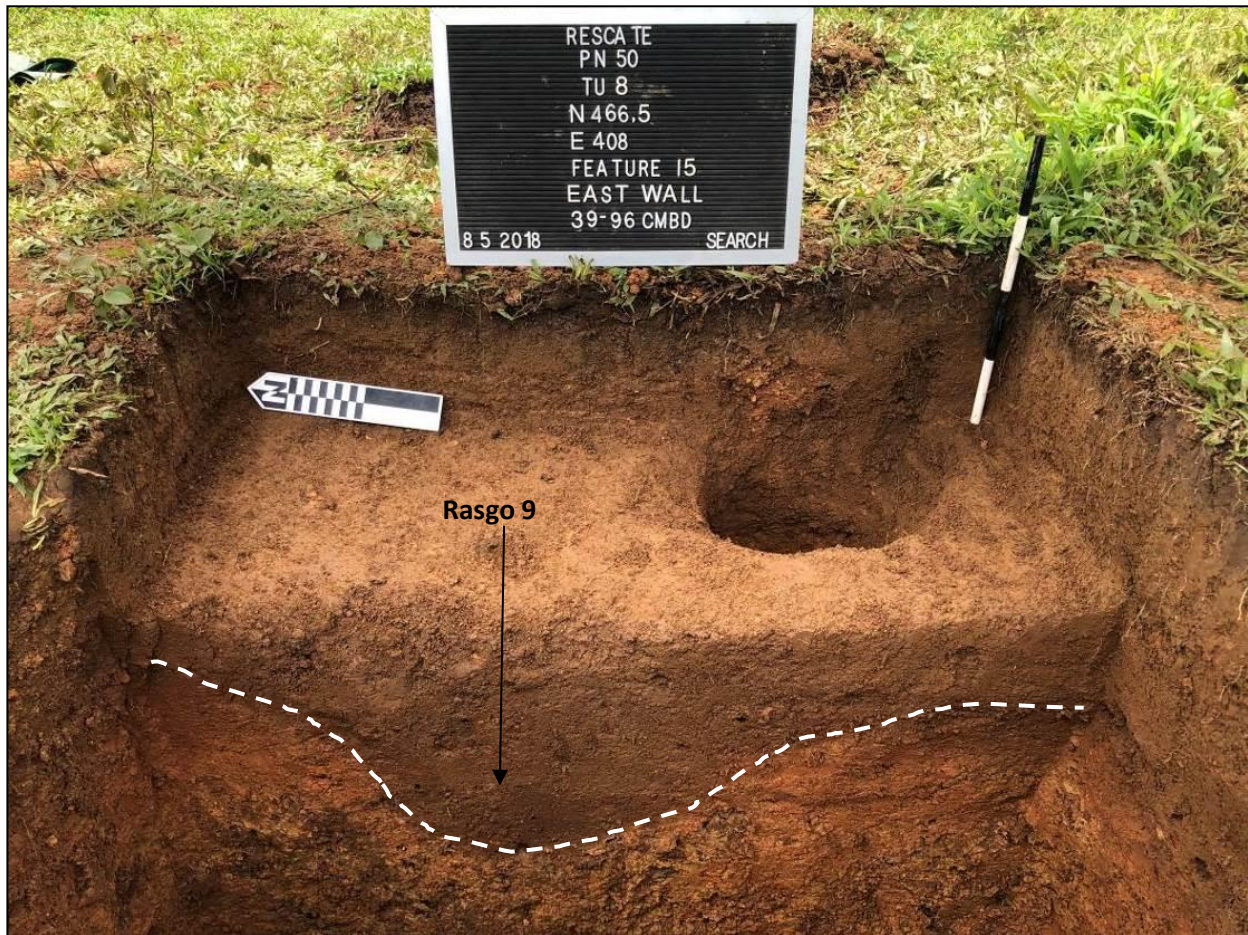


Figura 27. Perfil este de la UE 8 en el que se observa el rasgo 9, que es una línea sinusoidal cortada sobre el estrato III y rellenada por el estrato II, cuyo perfil es muy similar a los de un campo de cultivo con canales y camellones.

1.8.2 Unidad de Excavación 9

Fue llevada a cabo justo al sur del PP 6 para comprobar el rasgo 10, una posible superficie de vivienda o un basurero. Debido a los límites de tiempo el suelo del estrato I fue removido sin cernido. Aunque no se observó una mejor evidencia del rasgo 10 en la UE 9, se encontró un delgado lente de arcilla color café fuerte, que contenía el rasgo 16, una posible huella de poste. La UE 9 fue excavada hasta los 78 cmbd hasta llegar a la roca madre.



Figura 28. Perfil sur de la UE 9 en el que se ve el rasgo 16, una posible huella de poste.

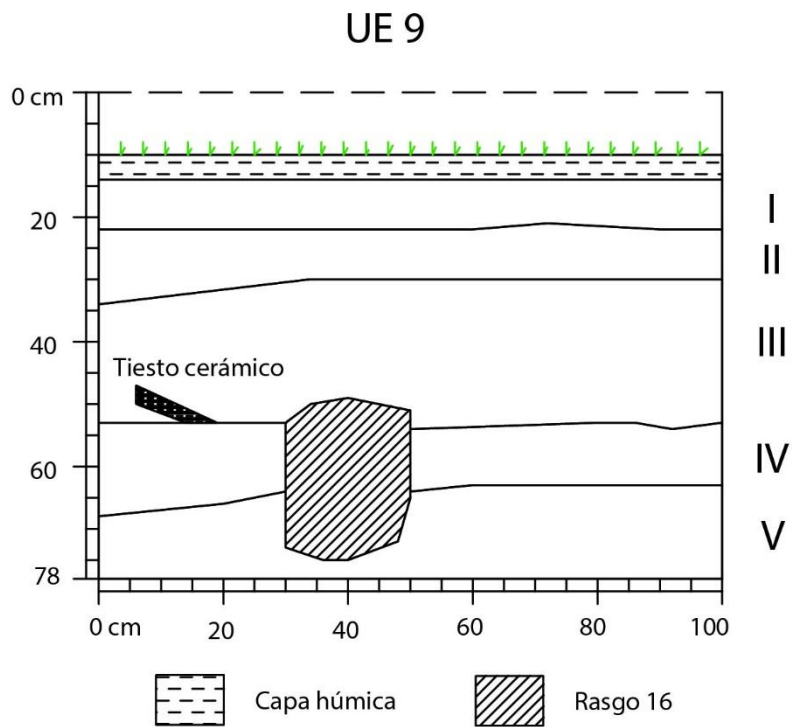


Figura 29. Perfil sur de la UE 9.

El Material Cultural de Pn-50

El sitio Pn-50 fue el que comprobó contener la mayor cantidad y variedad de artefactos encontrados en la cuenca del río Indio, en todas las prospecciones e investigaciones realizadas hasta la fecha durante los siglos XX y XXI. Durante la temporada de excavación 2017 se recuperó un total de 1615 fragmentos de cerámicas de diversos tipos, y 45 artefactos líticos. Para la temporada de excavación de 2018 sin embargo, se recuperaron evidencias de tipo mueble en los 14 pozos de prueba y 9 unidades de excavación que suman un total de muestra compuesto por 14020 objetos de los cuales 13378 (95.42%) son cerámicos, 5 (0.04%) son metálicos, 630 (4.49%) son líticos, 2 (0.01%) son orgánicos, y 5 (0.04%) son vítreos.

Tabla 3. Distribución y proporción del material recuperado por tipo de material.

Tipo	Cantidad	Porcentaje
Cerámico	13378	95.42%
Metálico	5	0.04%
Lítico	630	4.49
Orgánico	2	0.01%
Vítreo	5	0.04%
TOTAL	14020	100%

La mayor concentración de materiales culturales se dio, como era de esperarse, hacia los terrenos más planos del sitio que están cerca de la margen del río Indio, en este caso alrededor de la iglesia que parece ser la zona más densamente ocupada, o utilizada por más tiempo, seguida de la zona de las terrazas.

1.9 Fechamientos Absolutos

Adicionalmente se obtuvieron 14 fechamientos radiocarbónicos por el método de AMS, de materiales cerámicos del sitio Pn-50 como se expone en la tabla a continuación. Estos fechamientos parecen indicar la presencia de por lo menos dos componentes o fases ocupacionales del sitio. Una primera fase de ocupación más temprana evidenciada en el locus de las terrazas donde una fecha se remonta al siglo I de nuestra era, pero luego las demás nos refieren una época entre los siglos VII y IX del primer milenio de nuestra era, cuando estaba en boga el estilo Conte del Gran Coclé (700 a 1000 d.C.). Sin embargo, en las terrazas también aparecen fechas que aluden a la segunda ocupación del sitio, que se manifiesta principalmente en el locus de la iglesia y que nos remite a una época ligeramente posterior, con fechamientos que se ubican entre los siglos XII y XIV de nuestra era, cuando en el Gran Coclé se utilizaban estilos cerámicos policromos como Parita (1150 - 1400 d.C.) y El Hatillo (1400 a 1520 d.C.), y el estilo monocromo conocido como Cortezo, contemporáneo con aquellos y además con otros dos tipos cerámicos que parecen ser autóctonos de la vertiente Caribe del Gran Coclé: los conocidos como Donoso (entre 1000 y 1300 d.C.) y Limón (entre 1250 y 1600 d.C.) (extensa discusión en Griggs 2005).

Los fechamientos absolutos parecen estar indicando que el sitio fue ocupado primeramente en las terrazas, y que en una segunda fase de ocupación la habitación se expandió a las plataformas más bajas y cercanas al río. Es preciso anotar no obstante que los fechamientos obtenidos durante la temporada 2017 de fragmentos de cerámica carbonizados, revelaron fechas que caen fuera de los rangos descritos arriba, y que parecen indicar que, posiblemente, el yacimiento estuvo en verdad ocupado continuamente desde el siglo I de nuestra era hasta la invasión española en el siglo XVI.

Tabla 4. Fechamientos de radiocarbono realizados en materiales del sitio Pn-50

FS#	Locus	Contexto	ID	Edad Convencional AP	Desviación +/-	Años cal D.C. 2 sigma	Material Fechado
80 (2017)	Terraza	PP2 N3	Beta - 491298	1990	30	12 - 120	Cerámica
136 (2018)	Terraza	UE9 CIII N1	Beta - 502878	1400	30	597 - 670	Material carbonizado
139 (2018)	Terraza	UE9 CIV N4	Beta - 502879	1220	30	762 - 887	Material carbonizado
137 (2018)	Terraza	UE9 CIV N2	Beta - 502883	1210	30	764 - 891	Material carbonizado
94 (2018)	Terraza	PP2 R9	Beta - 502882	810	30	1169 - 1270	Material carbonizado
132 (2018)	Terraza	UE8 R9	Beta - 502877	660	30	1347 - 1393	Material carbonizado
97 (2017)	Escuela	P9 N1	Beta - 491299	1210	30	832 - 972	Cerámica
90 (2018)	Iglesia	UE7 R7	Beta - 502881	850	30	1152 - 1260	Material carbonizado
40 (2018)	Iglesia	UE1 R3	Beta - 502886	840	30	1154 - 1264	Material carbonizado
108 (2018)	Iglesia	UE3 CIII N4 R8	Beta - 502872	810	30	1169 - 1270	Material carbonizado
84 (2018)	Iglesia	PP 10	Beta - 502885	690	30	1265 - 1312	Material carbonizado
109 (2018)	Iglesia	UE3 CIII N5 R8	Beta - 502873	680	30	1270 - 1316	Material carbonizado
110 (2018)	Iglesia	UE3 CIII N6 R8	Beta - 502874	660	30	1347 - 1393	Material carbonizado
87 (2018)	Iglesia	UE3 CI N3	Beta - 502884	630	30	1286 - 1398	Material carbonizado
117 (2018)	Iglesia	UE4 CIII N4 R12	Beta - 502875	630	30	1286 - 1398	Material carbonizado
119 (2018)	Iglesia	UE4 CIII N5 R12	Beta - 502876	620	30	1292 - 1400	Material carbonizado

UE = unidad de excavación; PP = pozo de prueba; C = estrato o capa; N = nivel arbitrario de 10 cm; R = rasgo.

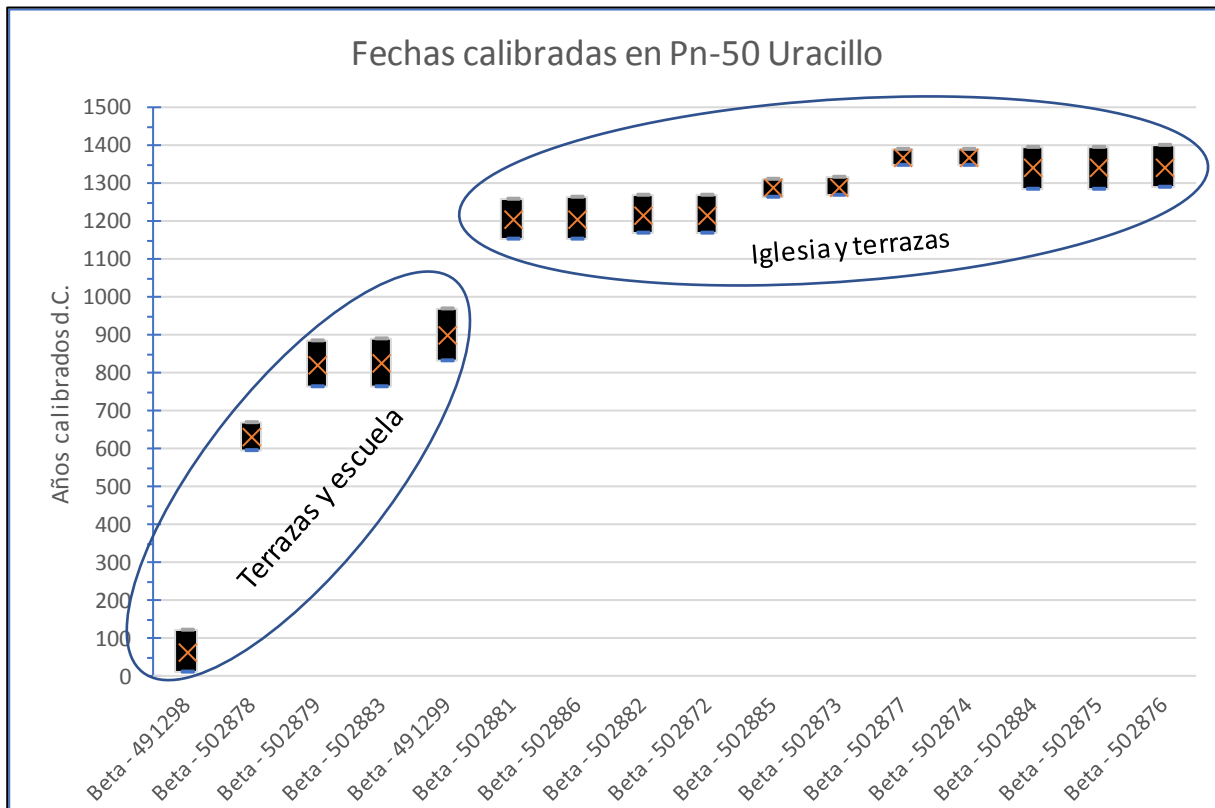


Figura 30. Fechamientos radiocarbónicos de Pn-50 expresados en años calibrados después de Cristo.

1.10 La Cerámica de Pn-50

A continuación, se presenta una caracterización detallada de los objetos arqueológicos recuperados por materia prima. Dichos artefactos fueron recuperados y almacenados con sus datos de procedencia en campo durante los meses de julio y agosto de 2018, y posteriormente lavados, secados, inventariados, y analizados durante los meses de agosto y septiembre. Están actualmente almacenados en el edificio 717 de Balboa y bajo la custodia de la ACP.

Durante la temporada 2017 la cerámica del sitio fue analizada someramente, observándose 3 tipos principales de pastas agrupadas por su color que son las blancas, cafés y rojas. Los acabados de superficie son muy sencillos y no pasan del auto-engobado o engobe muy delgado (*self-slip*), el verdadero engobe rojo sobre fondo blanco o rojo, y algunas piezas que ostentan pintura roja. No obstante, la gran mayoría de los fragmentos están muy erosionados en ambas superficies.

Entre los artefactos diagnósticos se observó que la mayoría están conformados por las vajillas de pasta roja color 2 YR 4/8, que pueden presentar engobe o no y con inclusiones compuestas de restos de cerámica molida, cuarzo, concha molida y arena de granulometría media. Las pastas cafés presentan inclusiones parecidas y a veces cuarzos y micas molidas. Mientras que las pastas blancas son iguales a las observadas en el sitio Cp-43, por lo que se presume que se trate de pastas del tipo cerámico Limón. Sin embargo, algunos tiestos de pasta blanca presentan verdaderos engobes rojos, que nuevamente pueden estar representando cerámicas tardías de Gran Coclé como el tipo Cortezo.

En general las vasijas están en el rango de entre 8 y 13 mm de espesor, aunque se encuentran algunos fragmentos de entre 3 y 5 mm. Las formas corresponden principalmente a ollas y otros contenedores restringidos, con cuellos cortos y labios entre cortos y largos, con morfologías que también se asemeja a los conjuntos Cortezo reportados por Griggs para el norte de Coclé y Cooke para el Coclé Central (1972).

No se encontró nada parecido a la decoración policroma que Stirling dice haber hallado en muchos de los fragmentos de recolectó: “excavamos cerámica pintada con los colores rojo, negro y púrpura, con diseños que claramente mostraban conexiones con las ricas culturas que alguna vez existieron del otro lado de las montañas” (Stirling 1953:276-285). El color púrpura es un elemento especialmente diagnóstico, ya que hoy sabemos que fue utilizado por los estilos Conte, Macaracas y desaparece con el estilo Parita del Gran Coclé, fechados entre el 700 y el 1400 d.C., lo que contrasta con los materiales recuperados durante las investigaciones actuales, que carecen por completo de policromía y parecen pertenecer a grupos cerámicos tardíos. Por otro lado y finalmente, las descripciones de los Stirling también apuntan a un conjunto cerámico en mejor estado de conservación, en contraste con el nuestro que está muy erosionado.

Sin embargo para la temporada 2018, con una mayor muestra y excavaciones más abarcadoras, se decidió analizar la cerámica de varias maneras para intentar obtener la mayor información posible sobre el comportamiento de esta a través del tiempo y del espacio. Por consiguiente se aplicó una clasificación taxonómica o tipológica a los tiestos diagnósticos obtenidos, tratando de identificarlos con los tipos ya conocidos de la cerámica del Panamá Precolombino, y por otro lado se realizó un análisis modal de todos los fragmentos cerámicos. Este análisis permite analizar los modos, es decir, las unidades mínimas e indivisibles de comportamiento o variación significativa observables en un artefacto. De esta manera se puede recuperar información que podría pasar desapercibida. Desde el punto de vista del ceramista, los modos representan grados de libertad para manufacturar la cerámica, o alternativas de manufactura - a cada paso del proceso alfarero - culturalmente aprobadas por su sociedad (Lathrap 1962:226-227; para una discusión en detalle de los métodos de análisis ver Mendizábal 2004: 35-60).

1.10.1 Descripción del Material Cerámico de 2018

El material cerámico representa virtualmente la totalidad de los objetos arqueológicos recuperados en el marco de esta fase de rescate arqueológico (el 95.42%), y está compuesto casi enteramente por diversos complejos cerámicos de Loza de Barro (en inglés, *Coarse Earthenware*) de manufactura Prehispánica (99.95%) seguido por una pequeña cantidad de Cerámica Semi-Porcelana (en inglés, *Refined Earthenware*) (0.05%). Solo 1 artefacto o ejemplar completo fue recuperado el cual corresponde a 1 volante de huso de cerámica.



Figura 31. Fotografía del anverso y reverso de un volante de huso de cerámica.

La amplia mayoría (92.95% del total) de los tiestos que componen la muestra corresponden a cuerpos de vasijas los cuales carecen de algún tipo de rasgo diagnóstico. Sin embargo, pese a estas limitaciones,

se efectuó una clasificación tipológica de los tiestos diagnósticos¹ dada la existencia de una extensa literatura descriptiva sobre los diferentes complejos cerámicos producidos por alfareros del Gran Coclé. Aunque no fue posible disponer de una muestra de referencia para comparar los tiestos recuperados de Uracillo, la identificación tipológica se basó principalmente en las caracterizaciones descritas e ilustradas en las disertaciones doctorales de los arqueólogos Richard Cooke (1972) y John Griggs (2005) quienes han extensa y exhaustivamente examinado el material cerámico recuperado de sitios ubicados en las vertientes del Pacífico y del Atlántico de esta región cultural. No obstante, otras fuentes literarias también fueron consultadas para asistir con la clasificación y adicionar datos de relevancia al análisis. Adicionalmente, se optó por incorporar a la muestra de análisis aquellos tiestos recuperados en el sitio durante la fase de prospección realizada en el 2017 (ERM 2018) que habían sido separados como diagnósticos para obtener un resultado más completo de los complejos cerámicos representados en este Uracillo.

Se examinaron 1145 tiestos de los cuales 942 (82.27%) fueron recuperados en la presente fase de rescate mientras que 203 (17.73%) provenían de la fase previa de prospección. Se lograron clasificar tipológicamente un total 59 tiestos los cuales corresponden con 9 complejos cerámicos arqueológicos; 8 fueron manufacturados en la época Prehispánica y solo 1 posterior a ello a partir de la época Departamental de Panamá.

A continuación, se presentan en orden cronológico de aparición unas breves descripciones de cada uno de los complejos cerámicos representados en esta muestra y se especifican sucintamente las principales características, distribución espacial, y rango temporal de cada uno de estos, y por último se detallan las características morfológicas de la muestra recuperada en Uracillo.

1.10.2 Escotá Rojo-Ante

El Escotá Rojo-Ante² (en inglés, *Escotá Red-Buff*) se caracteriza por vasijas de pasta de color anaranjada principalmente cuyas superficies puede contener una capa de engobe de color rojo. El conjunto de formas presentes de este complejo cerámico es notoriamente extenso ya que agrupa la mayoría de los tiestos monocromos del Periodo Cerámico Medio D cuyas características morfológicas se asemejan a las vasijas con decoración pintada de los distintos tipos de cerámica Aristides (actualmente dentro del estilo Tonosí del Gran Coclé, con fechas entre 250 y 500 d.C.). No obstante, al igual que su variante con decoración pintada, las ollas con cuello alargado son los más distintivo de este complejo cerámico ya que no aparece en ningún otro tipo de cerámica en la región (Cooke 1972: 257, 258). La distribución de este complejo cerámico abarca un área extensa dentro del Gran Coclé tanto en la vertiente del Pacífico desde el río Santa María (Cooke 1972: 272; Mayo 2006: 30) como en la vertiente del Atlántico (Griggs 2005: 74).

Según el esquema cronológico del Gran Coclé, el Escotá Rojo-Ante se sitúa temporalmente en el Período Cerámico Medio D cuyo rango temporal abarca aproximadamente entre los años 250 y 500 d.C. (Cooke 2011:119).

Se identificaron 15 tiestos en la muestra analizada cuyas características físicas y morfológicas se asemejan a varios de los ejemplaros descritos e ilustrados por Cooke (1972: Fig. 117-131). Los tiestos

¹ Se define como diagnóstico aquellos cuerpos de vasijas que contenían algún tipo de decoración plástica o pintada, así como todas las asas, bases, bordes, cuellos, y labios que fueron recuperados.

² Es un color cuya sugerencia originaria es la coloración del material llamado ante o gamuza, que es la piel curtida y adobada del alce, del búfalo o de otros animales.

Escotá Rojo-Ante de Uracillo corresponden a 5 bordes evertidos de cinco cuencos de boca ancha, 3 bordes evertidos de tres cuencos de boca angosta (B9), 2 bordes evertidos de dos ollas de boca angosta (B63, B10), 2 bordes evertidos de dos ollas de boca angosta con cuello largo (B60, B46), 1 borde invertido de un cuenco de boca ancha, 1 borde invertido de un cuenco de boca angosta y 1 cuerpo de una posible taza (B62). Vale destacar que la mayoría de los tiestos Escotá de la muestra presentan una superficie mucho más erosionada con apariencia agrietada que la de los demás complejos cerámicos identificados en el sitio.

N.º	Fase de proyecto	Procedencia	Locus	Forma de Vasija
1	Rescate	PP 2 (CIII)	Terraza	Cuenco de boca ancha
2	Rescate	PP 4 (CII)	Terraza	Cuenco de boca angosta
3	Rescate	PP 6 (CIII)	Terraza	Cuenco de boca angosta
4	Rescate	PP 6 (CIII)	Terraza	Olla de boca angosta
5	Rescate	PP 12 (CI)	Iglesia	Cuenco de boca ancha
6	Rescate	PP 12 (CI)	Iglesia	Cuenco de boca ancha
7	Rescate	PP 14 (CI-II)	Iglesia	Cuenco de boca angosta
8	Rescate	UE 4 (CII N3)	Iglesia	Cuenco de boca ancha
9	Rescate	UE 4 (CII N3)	Iglesia	Cuenco de boca ancha
10	Rescate	UE 5 (CII N3)	Iglesia	Olla de boca angosta con cuello largo
11	Rescate	UE 6 (CII N3)	Iglesia	Taza?
12	Rescate	UE 6 (CIII N4)	Iglesia	Olla de boca angosta
13	Rescate	UE 9 (CIII N1)	Terraza	Cuenco de boca angosta
14	Rescate	UE 9 (CIV N2)	Terraza	Cuenco de boca ancha
15	Prospección	PP 9 (N2)	Escuela	Olla de boca angosta con cuello largo

Tabla 5. Procedencia y forma de vasijas Escotá Rojo-Ante recuperadas en Uracillo.



Figura 32. Fotografías del anverso y reverso de tiestos diagnósticos Escotá Rojo-Ante.

1.10.3 *Aristide (tipo Girón)*

El complejo cerámico *Aristide* agrupa un conjunto de cerámicas bicromadas las cuales han sido ampliamente reportadas en varios sitios de la región al oriente del río Santa María. Dentro de este complejo cerámico, se han identificado tres tipos con distintas características decorativas y morfológicas de los cuales el *Girón* se encuentra representado dentro de la muestra analizada (Cooke 1972: 127, 128).

El *Girón* se caracteriza principalmente por sus vasijas abiertas con bordes bruscamente evertidos (casi aplanados) que se proyectan en distintas direcciones (Cooke 1972: 149, 151, 154, 156). Aunque en la tipología de *Aristide* no reconoce un tipo monocromo para la cerámica *Girón*, consideramos que la similitud morfológica observada entre los bordes recuperados en *Uracillo* y aquellos ilustrados en la monografía de Cooke (1972) (los cuales no se ven repetidos en otros complejos cerámicos) son lo suficientemente contundentes como para clasificar estos tiestos en este tipo. Al igual que el *Escotá Rojo-Ante*, la distribución del *Girón* esta principalmente circunscrita a la vertiente Pacífico desde el río Santa María hacia el oriente (Cooke 1972: 151, 154, 156, 158) aunque también ha sido reportada en algunos sitios de la vertiente del Atlántico (Griggs 2005: 343).

Según el esquema cronológico del Gran Coclé, el *Girón* se sitúa temporalmente Periodo Cerámico Medio D cuyo rango temporal abarca aproximadamente entre los años 250 y 500 d.C. (actualmente dentro del estilo *Tonosí*). No obstante, vale resaltar que evidencia estratigráfica sugiere la posibilidad que este tipo de cerámica haya perdurado un poco más allá de dicho periodo cerámico (Cooke 1972: 162).

Se identificaron 4 tiestos en la muestra analizada cuyas características morfológicas se asemejan a varios los ejemplares descritos e ilustrados por Cooke (1972: 58-73). Los tiestos *Girón* de *Uracillo*³ corresponden a 2 bordes evertidos de dos cuencos de boca ancha (B 52, B22), 1 borde invertido de un cuenco de boca ancha (B24), y 1 borde evertido de un plato (B24).

Tabla 6. Procedencia y forma de vasijas *Aristide (Girón)* recuperadas en *Uracillo*.

N.º	Fase de proyecto	Procedencia	Locus	Forma
1	Rescate	PP 9 (CI-II)	Iglesia	Cuenco de boca ancha
2	Rescate	PP 11 (CI)	Iglesia	Plato
3	Rescate	PP 12 (CI)	Iglesia	Cuenco de boca ancha
4	Prospección	Superficial	N/A	Cuenco de boca ancha

³ La identificación de tiestos de *Girón* corrobora las sospechas expresadas por Luis Sánchez en su análisis inédito del material cerámico recuperado de PN-50 durante la prospección realizada por John Griggs en el 2002, de que en el sitio existían tiestos que correspondían a este complejo cerámico.



Figura 33. Fotografías del anverso y reverso de tiosos diagnósticos Girón.

1.10.4 Guácimo Rojo sobre Blanco

El Guácimo Rojo sobre Blanco (en inglés, *Guácimo Red-on-White Slip*) se caracteriza por vasijas con un color de pasta anaranjado o rojizo cuyas superficies han sido recubiertas con una capa de engobe de color blanco y pueden presentar una decoración pintada de color rojo que se limita a una banda alrededor del labio y elementos geométricos sencillos o salpicados sobre la superficie (Cooke 1972: 240). La distribución del Guácimo Rojo sobre Blanco se encuentra circunscrita a la vertiente del Pacífico del Gran Coclé siendo reportada en varios sitios a lo largo de los ríos Chico, Grande, y Coclé (Cooke 1972: 245) y en el Abrigo Cerro Cebollal (Sánchez Herrera 2007: 171).

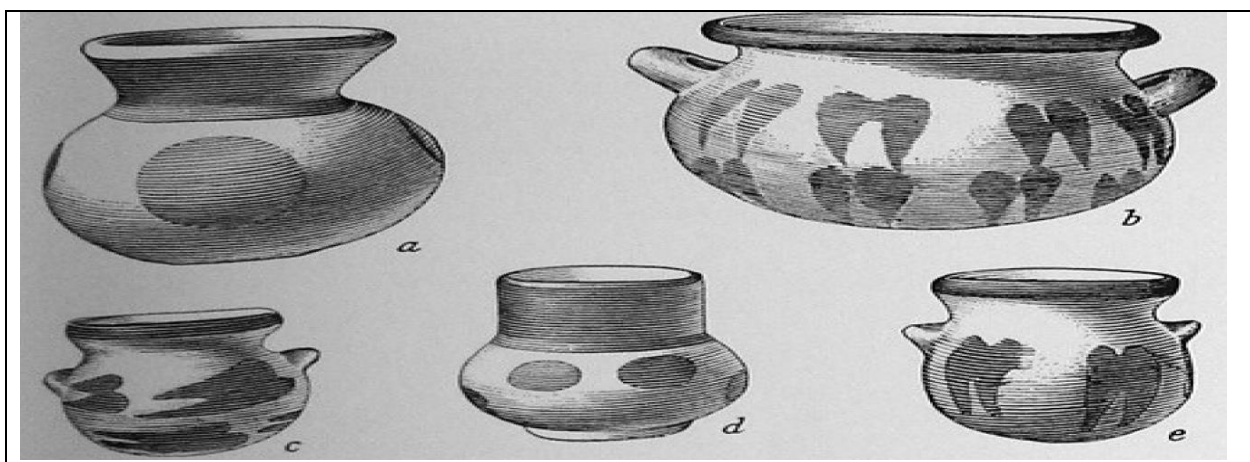


Figura 34. Dibujo de vasijas Guácimo Rojo sobre Blanco recuperadas de Sitio Conte (Lothrop 1942: 133).

Según el esquema cronológico del Gran Coclé, el Guácimo Rojo sobre Blanco se sitúa temporalmente entre los Periodos Cerámicos Medio D y Tardío A cuyo rango temporal abarca aproximadamente entre

los años 300 y 850 d.C. (actualmente entre los estilos Cubitá y Conte del Gran Coclé) (Cooke 1972: 248). La presencia de labios tipo “drooping” en vasijas de dicho complejo cerámico lo asocia estilísticamente con cerámicas Conte Polícromo y Rojo donde este rasgo morfológico es comúnmente reportado (Cooke 1972: 248).

Se identificaron 6 tiestos en la muestra analizada cuyas características físicas y morfológicas se asemejan a varios los ejemplares descritos e ilustrados por Cooke (1972: Fig. 105-109). Los tiestos Guácimo Rojo sobre Blanco de Uracillo corresponden a 2 cuellos de dos posibles cuencos de boca angosta, 2 bordes evertidos de dos cuencos de boca ancha, y 2 borde evertido con labio tipo “drooping” de dos platos.

N.º	Fase de proyecto	Procedencia	Locus	Forma de Vasija
1	Rescate	PP 14 (CI-II)	Iglesia	Cuenco de boca angosta?
2	Rescate	PP 14 (CIII)	Iglesia	Cuenco de boca ancha
3	Rescate	UE 2 (CI N3)	Iglesia	Cuenco de boca angosta?
4	Rescate	UE 4 (CII N3)	Iglesia	Plato
5	Rescate	UE 5 (CII N3)	Iglesia	Cuenco de boca ancha
6	Rescate	UE 6 (CII N3)	Iglesia	Plato

Tabla 7. Procedencia y forma de vasijas Guácimo Rojo sobre Blanco recuperadas en Uracillo.



Figura 35. Fotografías del anverso y reverso de tiestos diagnósticos Guácimo Blanco sobre Rojo.

1.10.5 Rojo sobre Crema

El Rojo sobre Crema (en inglés, *Red on Cream Ware*) se caracteriza por ollas de bordes largos y evertidos cuya pasta es de color cremosa a gris claro y su superficie interior está pulida mientras que la exterior se encuentra sin ningún tipo de acabado. Frecuentemente, la parte externa de los bordes presenta un tenue brochado y la decoración se limita a una banda pintada de color rojo alrededor del labio. La distribución de este complejo cerámico está limitado a Sitio Sierra (AG-3) ubicado en las llanuras aluviales del río Santa María (Cooke 1972: 275, 276, 277).

Dada su limitada distribución, el Rojo sobre Crema ha sido escasamente estudiado por lo que su rango temporal no es muy claro salvo que aparece en el sitio después del Periodo Cerámico Medio D por lo que Cooke (1972: 277) estimó que su producción posiblemente ocurrió entre los Periodos Cerámicos Medio E y Tardío C cuyo rango temporal abarca aproximadamente entre los años 500 y 1300 d.C. Asimismo, dicho arqueólogo no descarta que el Rojo sobre Crema se trate de una variación estilística del Guácimo Rojo sobre Blanco (1972: 277).

Se identificaron 4 tiestos en la muestra analizada cuyas características físicas y morfológicas se asemejan a varios de los ejemplares descritos e ilustrados por Cooke (1972: Fig. 104). Todos los tiestos Rojo sobre Crema de Uracillo corresponden a los bordes evertidos de cuatro ollas de boca angosta.

N.º	Fase de proyecto	Procedencia	Locus	Forma de Vasija
1	Rescate	UE 1 (CI N 3)	Iglesia	Olla de boca ancha
2	Rescate	UE 2 (CII N 4)	Iglesia	Olla de boca ancha
3	Rescate	UE 4 (CII N 3)	Iglesia	Olla de boca ancha
4	Rescate	UE 6 (CII N 3)	Iglesia	Olla de boca ancha

Tabla 8 Procedencia y forma de vasijas Rojo sobre Crema recuperadas en Uracillo.

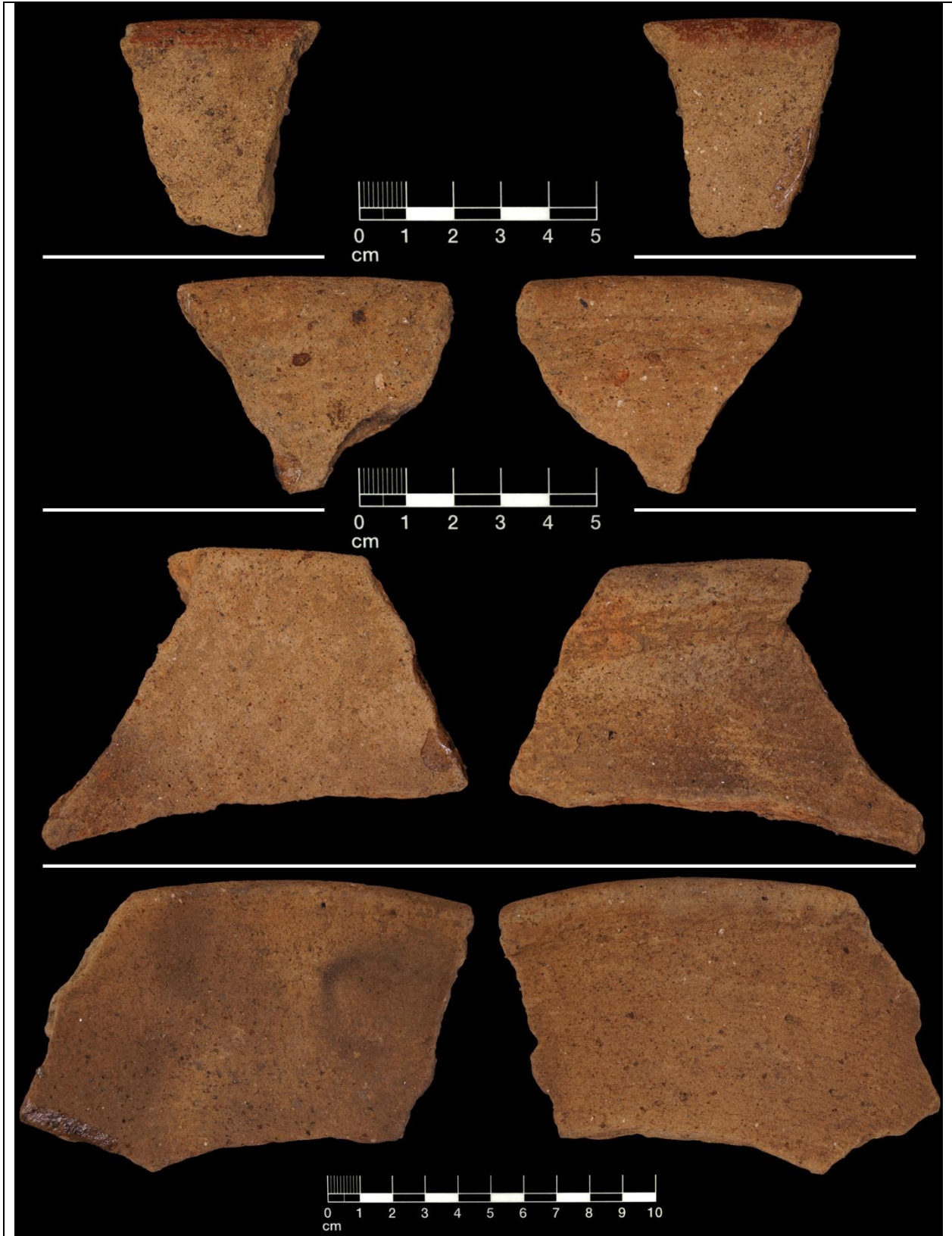


Figura 36. Fotografías del anverso y reverso de tiosos diagnósticos Rojo sobre Crema.

1.10.6 Conte Rojo

El Conte Rojo se caracteriza por vasijas con un color de pasta anaranjado o crema cuyas superficies han sido recubiertas con una capa de engobe de color rojo. Aunque estos atributos físicos también son compartidos con otros complejos cerámicos de la región, ciertos rasgos morfológicos representan los elementos más diagnósticos del Conte Rojo los cuales incluyen modificaciones en los labios como los tipos caído (en inglés, *drooping*) y ranurado (en inglés, *grooved*), la forma de las bases anulares (Cooke 1972: 234, 237). Este complejo cerámico ha sido reportado en varios sitios a lo largo del Gran Coclé ubicados en la vertiente del Pacífico (Cooke 1972: 237; Sánchez Herrera 2007: 171) como en la vertiente del Atlántico incluyendo en Uracillo (Griggs 2005: 136, 143).

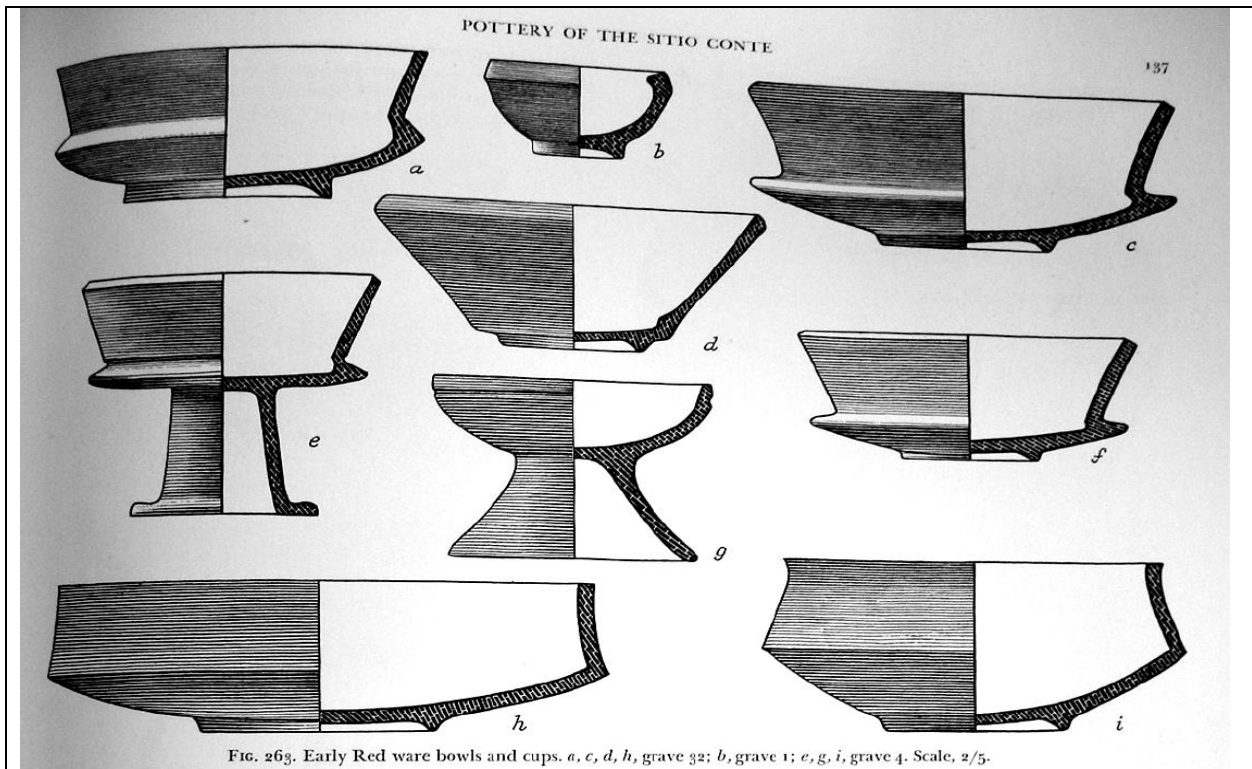


Figura 37. Dibujo de vasijas Conte Rojo recuperadas de Sitio Conte (Lothrop 1942: 137).

Según el esquema cronológico del Gran Coclé, el Conte Rojo se sitúa temporalmente entre los Periodos Cerámicos Medio E y Tardío C cuyo rango temporal abarca aproximadamente entre los años 500 y 1300 d.C. (Cooke 1972: 238-240).

Se identificaron 11 tiestos en la muestra analizada cuyas características físicas y morfológicas se asemejan a varios los ejemplares descritos e ilustrados por Cooke (1972: Fig. 114-116). Los tiestos Conte Rojo de Uracillo corresponden a 5 bordes evertidos con labio caído (*drooping*) de cinco platos (B21, B53, B53), 2 bordes rectos de dos platos (B60), 1 borde recto con labio ranurado (*grooved*) de un cuenco de boca ancha (B58), 1 borde evertido de un cuenco de boca ancha (B62), 1 borde evertido de un plato, y 1 base anular de un posible cuenco (B21).

N.º	Fase de proyecto	Procedencia	Locus	Forma de Vasija
1	Rescate	PP 10	Iglesia	Plato
2	Rescate	PP 10	Iglesia	Cuenco?
3	Rescate	PP 14 (CIII)	Iglesia	Plato
4	Rescate	UE 2 (CI N1-2)	Iglesia	Cuenco de boca ancha
5	Rescate	UE 3 (CIII N4)	Iglesia	Plato
6	Rescate	UE 4 (CII N3)	Iglesia	Plato
7	Rescate	UE 4 (CII N3)	Iglesia	Plato
8	Rescate	UE 4 (CII N3)	Iglesia	Plato
9	Rescate	UE 4 (CII N3)	Iglesia	Plato
10	Rescate	UE 5 (CII N3)	Iglesia	Plato
11	Rescate	UE 6 (CII N3)	Iglesia	Cuenco de boca ancha

Tabla 9. Procedencia y forma de vasijas Conte Rojo recuperadas en Uracillo.



Figura 38. Fotografías del anverso y reverso de tiestos diagnósticos Conte Rojo.

1.10.7 Conte Polícromo

El Conte Polícromo corresponde a uno de los tipos de cerámica insignes del Gran Coclé cuya principal innovación fue la introducción del color morado para acompañar los elementos decorativos pintados en rojo y negro (Mayo 2006: 31). Esta cerámica policromada se caracteriza por su pasta de color gris oscura cuya superficie se encuentra recubierta por una capa de engobe de color blanco sobre el cual se pintan los diseños decorativos en los colores antes mencionados (Cooke 1972: 102, 105). Este complejo cerámico ha sido reportado en varios sitios a lo largo del Gran Coclé ubicados en la vertiente del Pacífico (Cooke 1972: 107).



Figura 39. Ejemplares de platos Conte Polícromo pertenecientes a la colección Gilcrease (Cooke 2011: 141, 142).

Según el esquema cronológico del Gran Coclé, el Conte Polícromo fue producido en el Período Cerámico Tardío A cuyo rango temporal abarca aproximadamente entre los años 700 y 1000 d.C. (Cooke 2011).

Se identificó 1 tiesto en la muestra analizada cuya característica decorativa y morfológica corresponde al de las vasijas Conte Polícromo, el cual es el borde evertido de un plato.

N.º	Fase de proyecto	Procedencia	Locus	Forma de Vasija
1	Rescate	UE 1 (CI N3)	Iglesia	Plato

Tabla 10. Procedencia y forma de vasija Conte Polícromo recuperada en Uracillo.



Figura 40. Fotografía del anverso y reverso de un tiesto diagnostico Conte Polícromo.

1.10.8 Mendoza Rojo

El Mendoza Rojo es un complejo cerámico que agrupa vasijas de boca ancha revestidas con una capa de engobe de color rojo en una o ambas superficies cuyo perfil mantiene una forma de "S" (Cooke 1972: 195). Estas características también han sido reportadas en la cerámica Mendoza Polícromo, por lo que varios autores consideran que ambos complejos cerámicos son coetáneos. El Mendoza Rojo ha sido reportado en sitios del Gran Coclé ubicados tanto en la vertiente del Pacífico (particularmente al norte del río Santa María) (Cooke 1972: 197; Sánchez-Herrera 2007: 173; Cooke et al. 2003: 18) como la del Atlántico (Griggs 2005: 86).

Según el esquema cronológico del Gran Coclé, el Mendoza Rojo fue producido entre los Períodos Cerámicos Tardío C y D cuyo rango temporal abarca aproximadamente entre los años 1150 y 1520 d.C. (Cooke 1972: 197). En la vertiente del Atlántico de esta región la cerámica Mendoza, tanto ejemplares policromados como monocromos, han sido reportados junto con ejemplares de un complejo cerámico Prehispánico tardío llamado Limón cuya producción, hasta el momento y como se dijo arriba, esta exclusivamente circunscrita a la región caribeña y es contemporáneo (Griggs 2005: 158).

Se identificó 1 tiesto en la muestra analizada cuya característica morfológica parece asemejarse al de uno de los ejemplares descritos e ilustrados por Cooke (1972: Fig. 82-83). El tiesto Mendoza Rojo de Uracillo corresponde al borde evertido de un cuenco de boca ancha.

N.º	Fase de proyecto	Procedencia	Locus	Forma de Vasija
1	Prospección	P 6 (N2)	Iglesia	Cuenco de boca ancha

Tabla 11. Procedencia y forma de vasija Mendoza Rojo recuperada en Uracillo.



Figura 41. Fotografía del anverso y reverso de un tiesto diagnóstico Mendoza Rojo.

1.10.9 Cortezo

El Cortezo se caracteriza por vasijas cuya superficie carece de engobe, los bordes suelen estar aplanados casi horizontalmente, y la decoración se limita a una banda pintada de color rojo alrededor del labio (Cooke 1972: 198 Griggs 2005: 139; Sánchez Herrera 2007: 171). Este complejo cerámico ha sido frecuentemente recuperado en sitios del Gran Coclé ubicados tanto en la vertiente del Pacífico (Cooke 1972: 213; Sánchez Herrera 2007) como la del Atlántico (Griggs 2005; Brizuela et al. 2017; ERM 2018) (abarcando en esta última región un extenso territorio entre las cuencas de los ríos Belén e Indio. Cooke (1972: 198) considera que las vasijas Cortezo representan el remplazo de la cerámica Guácimo Rojo sobre Blanco como la cerámica utilitaria predilecta por los pobladores de la vertiente del Pacífico del Gran Coclé.

Según el esquema cronológico del Gran Coclé, el Cortezo fue producido entre los Periodos Cerámicos Tardío C y D cuyo rango temporal⁴ abarca aproximadamente entre los años 1300 y 1520 d.C. (Cooke 1972: 198, 212; Sánchez-Herrera 2007: 171). Es importante destacar que tiestos y vasijas Cortezo han sido frecuentemente recuperadas junto con otros complejos cerámicos del Periodo Cerámico Tardío como el Mendoza y el Limón (Griggs 2005: 138, 363).

Se identificaron 15 tiestos en la muestra analizada cuyas características físicas y morfológicas se asemejan a varios los ejemplares descritos e ilustrados por Cooke (1972: Fig. 84-94), Griggs (2005: Fig. 78, 147-149) y Sánchez Herrera (2007: Fig. 6). Los tiestos Cortezo de Uracillo corresponden a 5 borde evertido de cinco cuencos de boca angosta (B39, B18), 4 borde invertido de cuatro cuencos de boca angosta (B32, B38), 4 borde evertido de cuatro cuencos de boca ancha (B19), 1 borde evertido de un plato (B39), y 1 borde evertido de una taza (B19).

N.º	Fase de proyecto	Procedencia	Locus	Forma de Vasija
1	Rescate	PP 2 (R9)	Terraza	Cuenco de boca angosta
2	Rescate	PP 9 (CI-II)	Iglesia	Cuenco de boca angosta
3	Rescate	PP 14 (CI-II)	Iglesia	Cuenco de boca ancha
4	Rescate	PP 14 (CI-II)	Iglesia	Taza
5	Rescate	PP 14 (CI-II)	Iglesia	Cuenco de boca ancha
6	Rescate	UE 1 (CI N1)	Iglesia	Cuenco de boca angosta
7	Rescate	UE 2 (CI N1-2)	Iglesia	Cuenco de boca angosta
8	Rescate	UE 2 (CI N1-2)	Iglesia	Cuenco de boca angosta
9	Rescate	UE 2 (CI N1-2)	Iglesia	Cuenco de boca angosta
10	Rescate	UE 2 (CI N1-2)	Iglesia	Cuenco de boca angosta
11	Rescate	UE 2 (CI N3)	Iglesia	Cuenco de boca angosta
12	Rescate	UE 2 (CI N3)	Iglesia	Plato
13	Rescate	UE 2 (CI N3)	Iglesia	Cuenco de boca ancha
14	Prospección	P 6 (N3)	Iglesia	Cuenco de boca angosta
15	Prospección	P 9 (N1)	Escuela	Cuenco de boca angosta

Tabla 12. Procedencia y forma de vasijas Cortezo recuperadas en Uracillo.

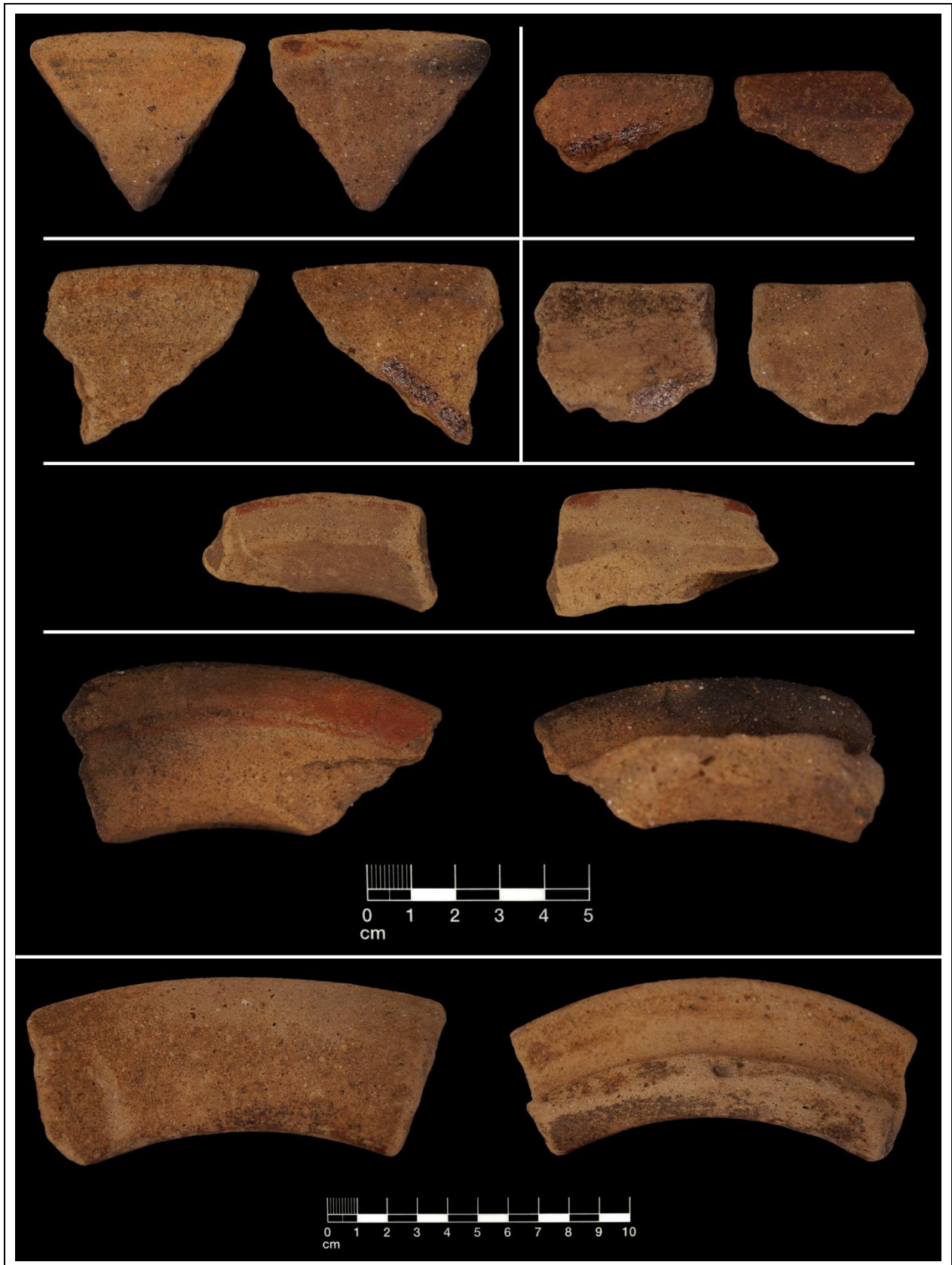


Figura 42. Fotografías del anverso y reverso de tiosos diagn3sticos de Cortezo.

1.10.10 Análisis e interpretación

El resultado de la clasificación tipológica reveló la presencia de 9 complejos cerámicos en Uracillo de los cuales 8 fueron producidos en la época Prehispánica a partir del Periodo Cerámico Medio D hasta el Periodo Cerámico Tardío D (desde tiempos La Mula en el siglo II d.C. hasta la invasión española en el siglo XVI), mientras que 1 fue manufacturado desde de la época Departamental y se trata obviamente de un elemento intrusivo. En el caso de la cerámica Prehispánica, el amplio rango temporal representado en esta muestra es notorio y consideramos que se debe en parte al hecho que casi todos los complejos cerámicos identificados son monocromos y, desafortunadamente, muchos de estos han recibido poca atención académica. Por lo tanto, a diferencia de los tipos policromados, la secuencia cronológica de algunas de estas cerámicas es muy larga y abarca demasiados periodos cerámicos como las del Conte Rojo y el Rojo sobre Crema que se extienden por casi 800 años (Cooke 1972: 238-240, 277). Rangos temporales tan amplios representan una limitación para asignar con cierto grado de precisión fechas relativas a la secuencia estratigráfica Uracillo.

No obstante, el resultado corrobora algunos de los planteamientos emitidos por otros arqueólogos quienes excavaron en Uracillo en décadas anteriores. Por un lado, la identificación de un tiesto Conte Polícromo en esta muestra de análisis confirma la presencia de cerámica policromada en Uracillo lo cual corrobora los señalamientos hechos por Stirling quien alegó haber recuperado cerámica con pintura morada en el sitio⁵ (1953: 276-285). A su vez, este dato comprueba que los antiguos pobladores de Uracillo tenían acceso a este tipo de cerámica que probablemente era importada de sitios ubicados en la vertiente del Pacífico. Por otro lado, la prevalencia de complejos cerámicos pertenecientes a los Periodos Cerámicos Medio D y E coincide con la inferencia de Griggs de que el sitio fue ocupado durante dicho periodo (2005: 143), además de las fechas de radiocarbono obtenidas en el 2018 que lo confirman.

Complejo Cerámico	Cantidad	Porcentaje	Rango temporal
Escotá Rojo-Ante	15	25.42%	300-500 d.C.
Aristide (Girón)	4	6.78%	300-500 d.C.
Guácimo Rojo sobre Blanco	6	10.18%	300-850 d.C.
Rojo sobre Crema	4	6.78%	500-1300 d.C.
Conte Rojo	11	18.64%	500-1300 d.C.
Conte Polícromo	1	1.7%	700-900 d.C.
Mendoza Rojo	1	1.7%	1300-1520 d.C.
Cortezo	15	25.42%	1300-1520 d.C.
Loza Blanca	2	3.39%	1820-presente
TOTAL	59	100%	

Tabla 13. Cantidad y proporción de complejos cerámicos identificados en Uracillo.

Adicionalmente, es importante destacar la presencia de algunos tiestos cuya manufactura no pudo ser atribuida a uno de los complejos cerámicos producidos en el Gran Coclé, por lo que se abre la posibilidad que podrían tratarse de cerámicas que fueron producidas localmente o importadas de alguna otra región cultural. Uno de estos tiestos es parte del borde evertido de una olla de boca angosta el cual tiene el labio adelgazado, presenta un alisado en ambas superficies, y un brochado la parte

⁵ La aplicación de la pintura morada en vasijas producidas en el interior del país marca el inicio de la decoración policromada y sirve como un excelente marcador temporal dado que solo tres complejos cerámicos policromados, el Conte, Macaracas, y Parita, emplearon este color en sus elementos decorativos entre 700 y 1300 d.C. (Mayo 2006: 31-32). Sin embargo, Stirling nunca indico a cuál de estos tres complejos cerámicos pertenecían los tiestos que había recuperado en el sitio.

externa del borde⁶. Aunque en la muestra analizada se identificaron otros bordes que presentaban un brochado en el exterior (en su mayoría eran tiestos de Rojo sobre Crema), ciertos atributos físicos como el color de la pasta y morfológicos como la forma del labio no coincidieron por lo que probablemente se trata de dos tipos de cerámica distintas. En la región cultural del Gran Darién, como se dijo arriba existe un tipo de cerámica con características similares el cual ha sido ampliamente reportado en varios sitios a lo largo del Golfo de Panamá incluyendo Playa Far Fan (Marshall 1949) Panamá la Vieja (Mendizábal & Gómez 2015), Isla Taboga (Taboga-1, y Taboga-4), Isla Taboguilla, Isla Urabá (Stirling & Stirling 1964), la desembocadura del Canal de Panamá (Cocolí 17) (Mendizábal 2011), e Isla Pedro González (L106 y L155) (Martín et al. 2009; Martín & Bustamante 2011). Además, por su asociación contextual con un complejo cerámico tardío denominado Bícromo en Zonas, Mendizábal y Gómez proponen que ambas cerámicas son coetáneas por lo que su rango temporal oscilaría entre los años 900 y 1400 d.C. (2015: 21-22). Dado que las características físicas y morfológicas descritas e ilustradas en los artículos antencionados parecen coincidir con aquellas del tiesto recuperado en Uracillo consideramos que existe la posibilidad que esta vasija haya sido importada de algún sitio del Gran Darién. Aunque esta inferencia es extremadamente preliminar, de llegarse a comprobar la procedencia foránea de este borde quedaría en evidencia la existencia de lazos comerciales entre los antiguos pobladores de Uracillo y aquellos al oriente del río Indio, tal y como lo reporta Griggs (2005).

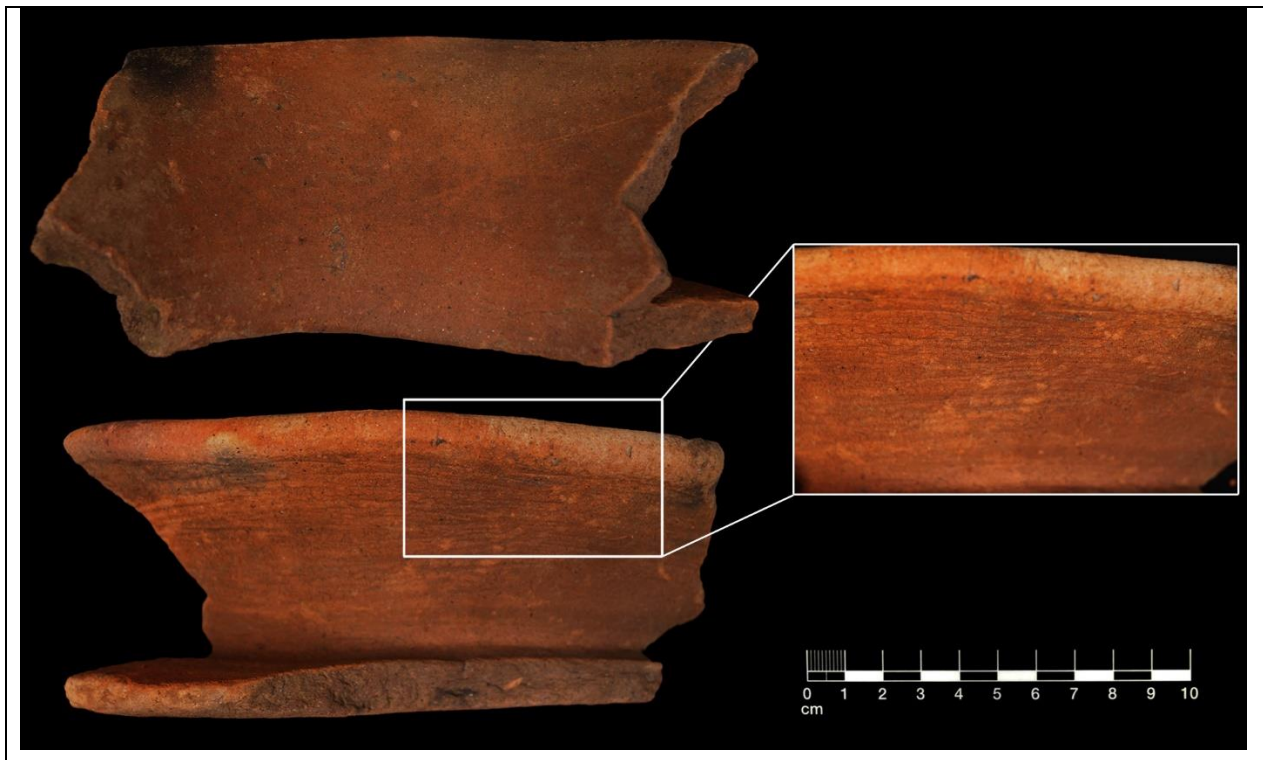


Figura 43. Fotografías del anverso y reverso de un borde evertido de olla angosta decorado con un tenue brochado en la parte externa (en detalle).

Por último, es importante tener en cuenta que, aunque la producción de la Loza Blanca se remonta a inicios del siglo 19, la misma perdura hasta nuestros días por lo que la presencia de tiestos de este complejo cerámico en la muestra de análisis no necesariamente indica que los mismos fueron

⁶ Lastimosamente este borde corresponde a un hallazgo aislado luego que uno de los residentes del pueblo lo extrajera de un talud de tierra ubicado detrás de su casa el cual contiene material cultural en abundancia. Aunque el señor no recordaba a que profundidad exacta sustrajo este tiesto, nos indicó en que área se encontraba y lo ubicamos a 17.39 m @ 102° del P 6 que fue excavado en la fase de prospección.

depositados en dicho siglo⁷. Por lo tanto, es probable que los dos tiestos recuperados en esta fase de rescate fueron descartados durante el periodo de ocupación moderna del sitio el cual, que según lo manifestaron los propios pobladores, ocurrió a partir de la década de 1940.

1.10.11 Distribución espacial y estratigráfica de la muestra

En los pozos de prueba y unidades de excavación en la zona de la terraza, solo 7 tiestos lograron ser tipológicamente identificados de los cuales 6 corresponden al Escotá Rojo-Ante y 1 al Cortezo. Aunque la muestra tipológica de la terraza es mínima, la presencia casi exclusiva del Escotá Rojo-Ante indica que en esta zona hubo actividad humana principalmente durante el Periodo Cerámico Medio D. Por el otro lado, el tiesto Cortezo identificado en la terraza fue recuperado en el PP 2 dentro del Rasgo 9 el cual corresponde a una trinchera que atraviesa la Capa III (la cual contenía un tiesto de cerámica Escotá Rojo-Ante) y está posiblemente asociada a alguna actividad relacionada a la agricultura. Las fechas radiocarbónicas de este rasgo corroboran la datación relativa del mismo atribuida por la presencia del tiesto Cortezo en dicho contexto ya que arrojaron dos fechas cuyo rango temporal combinado oscila entre 1169-1393 d.C.

Procedencia	Complejo Cerámico	Rango Temporal
PP 2 (CIII)	Escotá Rojo-Ante	300-500 d.C.
PP 2 (R9)	Cortezo	1300-1520 d.C.
PP 4 (CII)	Escotá Rojo-Ante	300-500 d.C.
PP 6 (CIII)	Escotá Rojo-Ante	300-500 d.C.
PP 6 (CIII)	Escotá Rojo-Ante	300-500 d.C.
UE 9 (CIII N1)	Escotá Rojo-Ante	300-500 d.C.
UE 9 (CIV NII)	Escotá Rojo-Ante	300-500 d.C.

Tabla 14. Distribución de la muestra tipológica por procedencia y complejo cerámico en la terraza.

⁷ Durante una investigación arqueológica desarrollada en el pueblo de San José de Pesé en el 2017, una de las residentes mayores reportó que mantenía en su posesión una vasija cuyas características físicas y decorativas coincidían con la uno de los tipos de Cerámica Semi-Porcelana producidos al principio del siglo 20 la cual conservaba como una reliquia familiar ya que había sido obsequiada por su madre. Este caso demuestra que es posible que exista un rezago temporal o *time lag* entre el momento que se produce un objeto cerámico y el momento en que el mismo es descartado.

Procedencia	Complejo Cerámico	Rango Temporal
PP 9 (CI-II)	Girón	300-500 d.C.
PP 9 (CI-II)	Cortezo	1300-1520 d.C.
PP 10	Conte Rojo	500-1300 d.C.
PP 10	Conte Rojo	500-1300 d.C.
PP 11 (CI)	Girón	300-500 d.C.
PP 12 (CI)	Escotá Rojo-Ante	300-500 d.C.
PP 12 (CI)	Escotá Rojo-Ante	300-500 d.C.
PP 12 (CI)	Girón	300-500 d.C.
PP 14 (CI-II)	Cortezo	1300-1520 d.C.
PP 14 (CI-II)	Cortezo	1300-1520 d.C.
PP 14 (CI-II)	Cortezo	1300-1520 d.C.
PP 14 (CI-II)	Guácimo Rojo sobre Blanco	300-850 d.C.
PP 14 (CI-II)	Escotá Rojo-Ante	300-500 d.C.
PP 14 (CIII)	Conte Rojo	500-1300 d.C.
PP 14 (CIII)	Guácimo Rojo sobre Blanco	300-850 d.C.
UE 1 (CI N1)	Cortezo	1300-1520 d.C.
UE 1 (CI N3)	Conte Polícromo	700-900 d.C.
UE 1 (CI N3)	Rojo sobre Crema	500-1300 d.C.
UE 2 (CI N1-2)	Cortezo	1300-1520 d.C.
UE 2 (CI N1-2)	Cortezo	1300-1520 d.C.
UE 2 (CI N1-2)	Cortezo	1300-1520 d.C.
UE 2 (CI N1-2)	Cortezo	1300-1520 d.C.
UE 2 (CI N1-2)	Conte Rojo	500-1300 d.C.
UE 2 (CI N3)	Cortezo	1300-1520 d.C.
UE 2 (CI N3)	Cortezo	1300-1520 d.C.
UE 2 (CI N3)	Cortezo	1300-1520 d.C.
UE 2 (CI N3)	Guácimo Rojo sobre Blanco	300-850 d.C.
UE 3 (CIII N4)	Conte Rojo	500-1300 d.C.
UE 4 CII N3)	Conte Rojo	500-1300 d.C.
UE 4 CII N3)	Conte Rojo	500-1300 d.C.
UE 4 CII N3)	Conte Rojo	500-1300 d.C.
UE 4 CII N3)	Conte Rojo	500-1300 d.C.
UE 4 CII N3)	Rojo sobre Crema	500-1300 d.C.
UE 4 CII N3)	Guacimo Rojo sobre Blanco	300-850 d.C.
UE 4 CII N3)	Escotá Rojo-Ante	300-500 d.C.
UE 4 CII N3)	Escotá	300-500 d.C.
UE 5 (CII N3)	Conte Rojo	500-1300 d.C.
UE 5 (CII N3)	Guácimo Rojo sobre Blanco	300-850 d.C.
UE 5 (CII N3)	Escotá Rojo-Ante	300-500 d.C.
UE 6 (CII N3)	Conte Rojo	500-1300 d.C.
UE 6 (CII N3)	Rojo sobre Crema	500-1300 d.C.
UE 6 (CII N3)	Guácimo Rojo sobre Blanco	300-850 d.C.
UE 6 (CIII N3)	Escotá Rojo-Ante	300-500 d.C.
UE 6 (CIII N4)	Escotá Rojo Ante	300-500 d.C.

Tabla 15. Distribución de la muestra tipológica por procedencia y complejo cerámico en la iglesia.

A diferencia de la terraza, en la iglesia se concentra la mayor cantidad de tiestos tipológicamente

identificados (52 en total) los cuales representan los 8 complejos cerámicos Prehispánicos que fueron identificados en Uracillo. De esta muestra espacial, vale destacar que de los 12 tiestos Cortezo identificados en la muestra analizada 10 fueron recuperados en un pozo de prueba (PP 14) y una unidad de excavación (UE 2) que se encuentra a 2 metros de distancia, siendo esta área del sitio la única donde existe una prevalencia de este tipo de cerámica. Dichos tiestos se hallan principalmente en la primera capa estratigráfica⁸ y luego desaparece totalmente de las siguientes capas en las que se recuperaron tipos producidos desde el Periodo Cerámico Medio D (Escotá Rojo-Ante y Guácimo Rojo sobre Blanco). Dicha secuencia no es sorprendente dado que se trata de un complejo cerámico tardío por lo que su prevalencia en la primera capa estratigráfica no es atípica. Este dato sugiere que posiblemente próximo a esta área exista un contexto habitacional tardío, no obstante el mismo no pudo ser ubicado durante las excavaciones realizadas en la fase de rescate.

Otro patrón interesante fue identificado en las unidades de excavación que comprenden el Bloque 1 (UE 3, UE 4, UE 5, y UE 6) cuya Capa II y Nivel 3 concentra la mayor cantidad de tiestos tipológicamente identificados en el sitio y todos ellos, curiosamente, corresponden a 4 complejos cerámicos producidos a partir del Periodo Cerámico Medio D y E. En dicha capa y nivel se recuperaron 7 tiestos son Conte Rojo, 4 son Rojo sobre Crema, 3 son Guácimo Rojo sobre Blanco, y 2 son Escota Rojo-Ante. En base al esquema cronológico actual, la presencia de tiestos Conte Rojo y Rojo sobre Crema indica que el *terminus post quem* de este contexto es de 500 d.C. Asimismo, la presencia de cerámica Escota Rojo-Ante en este contexto sugiere que el material debió ser depositado poco después de esa fecha ya que el período terminal de uso de este complejo cerámico es también 500 d.C. Aunque se reconocen las limitaciones existentes en esta interpretación, el rango temporal de esta capa y nivel contrasta drásticamente con los fechamientos radiocarbónicos que fueron realizados, en su mayoría, sobre depósitos de carbón recuperados en dos de los rasgos que fueron identificados dentro del Bloque 1 (Rasgo 8 y Rasgo 12) que se encuentran en el mismo nivel estratigráfico (oscilan entre 1169-1400 d.C.). La diferencia temporal entre dichos rasgos y la Capa II es de varios cientos de años por lo que se considera posible que ambos rasgos no están asociados a los materiales depositados en la capa II, por lo que tanto el Rasgo 8 y 12 pueden corresponder a un periodo de ocupación más tardío del sitio. De hecho, las fechas obtenidas de los rasgos 8 y 12 son contemporáneas con una obtenida de la capa I en la Unidad 3 que también es parte del bloque 1.

1.10.12 Análisis Modal de la Cerámica

Para obtener una imagen más detallada de la variabilidad demostrada por el conjunto cerámico de Pn-50, se decidió llevar a cabo un análisis modal del mismo. Se decidieron primeramente las dimensiones cerámicas a estudiar, y luego los modos o atributos a lo largo de cada dimensión según lo observado en el laboratorio. Aunque no se ofrece aquí un análisis exhaustivo de todas las posibles combinaciones o grupos (*clusters*) de modos disponibles, se ofrece un análisis comparativo de la ocurrencia de los modos en los dos locus principales detallados en este estudio: la iglesia y la terraza.

⁸ En el PP 14 los materiales de las capas I y II fueron mezclados por lo que no se puede distinguir a que capa corresponde cada material. No obstante, en la UE 2 ambas capas fueron separadas y queda claro que el Cortezo se halló exclusivamente en la primera capa de la secuencia estratigráfica. Dada la proximidad de ambas unidades (2 metros), se extrapolaron estos resultados.

PASTA		
Color	Nucleo	Color primario de inclusiones
Cod. Valor	Cod. Valor	Cod. Valor
1 Rojo/Naranja	1 Ausente	1 No observable
2 Crema/Blanco	2 Presente	2 Blanco
3 Chocolate		3 Traslucido
4 Negro/Gris		4 Negro/Gris
		5 Rojo/Naranja
		6 Chocolate

SUPERFICIE			
Acabado	Engobado	Decoracion	Mancha de coccion
Cod. Valor	Cod. Valor	Cod. Valor	Cod. Valor
1 Sin acabado	1 Ausente	1 Sin decoración	1 Ausente
2 Alisado	2 Presente (Rojo)	2 Aplique	2 Presente (Exterior)
3 Pulido	3 Presente (Blanco)	3 Cepillado/Brochado	3 Presente (Interior)
4 Esmalteado	4 Presente (Naranja)	4 Pintada (1 color)	4 Presente (Ambas)
		5 Pintada (2 colores)	
		6 Incisión	
		7 Punteado	
		8 Pintada (1 color) + Cepillado	
		9 Rouletting	
		10 Impresión	
		11 Pintada (1 color) + Incision	
La presencia de engobe no cuenta como decoracion pintada.			
Describir el elemento decorativo y su ubicacion en la seccion de comentario.			

Tabla 16. Vocabulario de dimensiones de pasta y tratamiento de superficie de las vasijas, con los respectivos modos o alternativas en cada columna de dimensión.

MORFOLOGIA			
Parte	Soporte	Forma	Labio
Cod. Valor	Cod. Valor	Cod. Valor	Cod. Valor
1 Cuerpo	1 No Aplica	1 No Aplica	1 No Aplica
2 Cuello	2 Anular	2 Cuenco	2 Convexo o redondeado
3 Base convexa	3 Pedestal	3 Plato	3 Ovijal
4 Base plana		4 Olla (Boca Angosta)	4 Media ojiva
5 Base concava		5 Olla (Boca Ancha)	5 Recto o aplanado
6 Borde recto		6 Cuenta/Volante de Uso	6 Concavo
7a Borde evertido (directo)			7 Biselado
Borde evertido			
7b (adelgazado)			8 Doble biselado
Borde evertido			
7c (engrosado)			9 Folded
Borde evertido			
7d (reforzado doblado)			10 Drooping
7e Borde evertido			
7f Borde evertido			
Borde evertido			
7g (reforzado			
Borde evertido			
7h (reforzado			
7i Borde evertido			
7j Borde evertido			
7k Borde evertido			
8a Borde invertido			
Borde invertido			
8b (adelgazado)			
Borde invertido			
8c (engrosado)			
Borde invertido			
8d (reforzado doblado)			
Borde invertido			
8e (conca)			
Borde invertido			
8f (concavo)			
Borde invertido			
8g (reforzado			
Borde invertido			
8h (reforzado			
8i Borde invertido			
8j Borde invertido			
8k Borde invertido			
9a Asa en arco (lisa)			
9b Asa en arco			
9c Asa en arco (trenzada)			
9d Asa en arco (de			
10 Labio			
11a Asa maciza			
11b Asa maciza (otomorfa)			
11c Asa maciza			
11d Asa maciza			
11e Asa maciza			
11f Asa maciza (en boton)			
11g Asa maciza			
12 Ejemplar entero			

Tabla 17. Vocabulario de dimensiones de morfología de las vasijas, con los respectivos modos o alternativas en cada columna de dimensión.

El análisis comenzó comparando los modos de pasta entre la iglesia y las terrazas, en los que no se

observaron diferencias significativas entre los conjuntos. Así los colores de la pasta, las inclusiones en la pasta, la presencia de núcleo, los acabados exteriores, la presencia de engobe y las formas de las vasijas (ollas de boca angosta, ollas de boca ancha, platos y cuencos) no ofrecieron ninguna discontinuidad de notar. La única diferencia observable fue usando el modo de grosor promedio de los tiestos. Midiendo el grosor máximo y mínimo de cada uno de los más de 13,000 tiestos se obtiene el grosor promedio, y al comparar esta medida entre el conjunto de la iglesia y la terraza sí se observó una diferencia. En general, el conjunto cerámico de la iglesia tiende a ser más grueso que el de la terraza. Mientras que en la terraza los grosores promedio se dan principalmente entre los 0.4 y 0.6 cm, en la iglesia se observa una vajilla más gruesa que con la mayoría de los grosores oscilando entre los 0.6 y 0.9 cm. Además, mientras que en la terraza el grosor promedio máximo fue de 1.5 cm, en la iglesia se dan varios casos de vasijas más gruesas hasta los 2.2 cm de grosor promedio máximo. Así por ejemplo un dato interesante extraído del grosor promedio de las vasijas, es que en los rasgos 12 y 13 del bloque 1 en el locus de la iglesia, el grosor promedio mayoritario de las vasijas oscila entre los 0.6 y 0.9 cm, sin encontrar ninguno menor de 0.5 cm, lo que está indicando una vajilla más gruesa encontrada en un rasgo que es supuestamente un fogón. Esto no sorprende ya que es de esperar que sobre el fuego se coloquen las vajillas más gruesas para cocinar, y que estas se rompan con frecuencia quedando sus fragmentos mezclados con las cenizas.



Figura 44. Análisis modal del color de las pastas entre la iglesia y las terrazas.

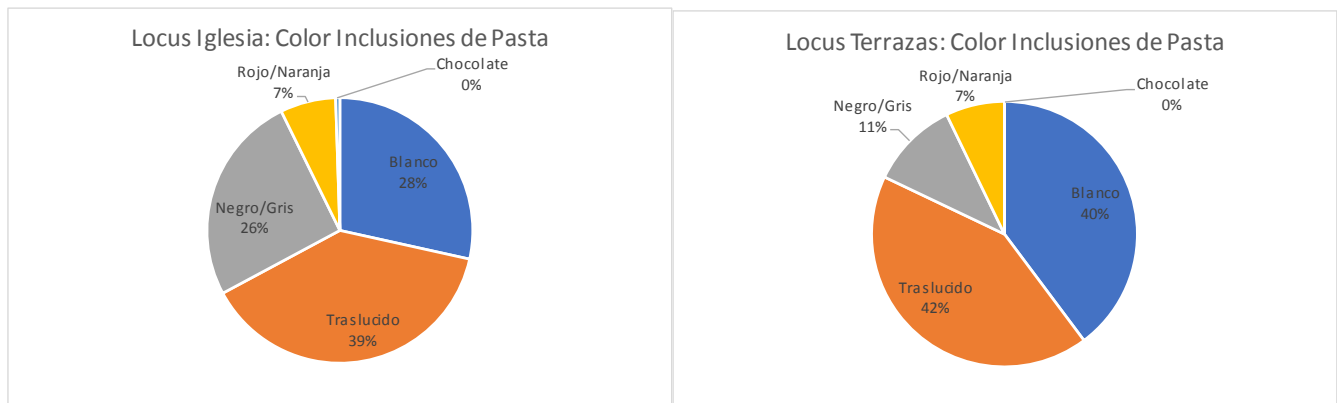


Figura 45. Análisis modal del color de las inclusiones de las pastas entre la iglesia y las terrazas.

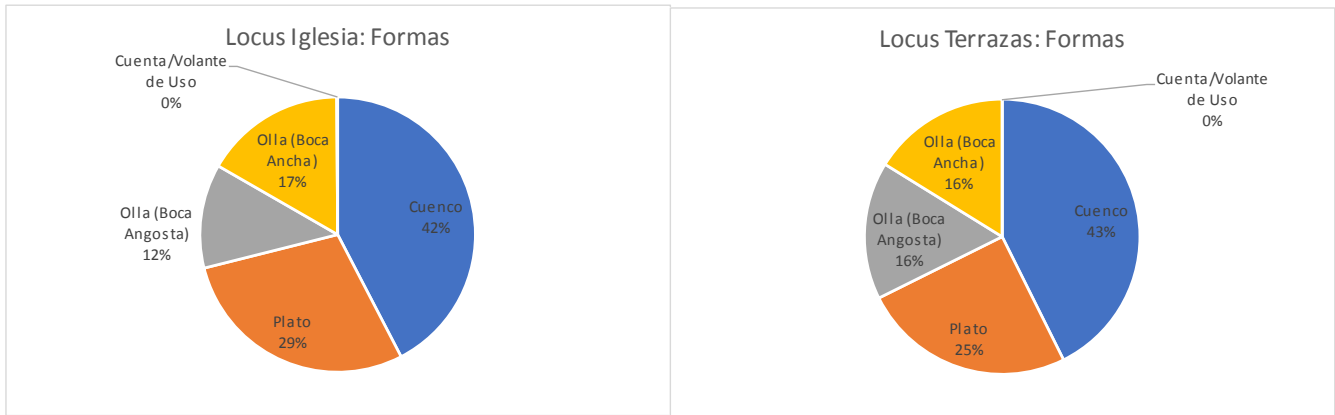


Figura 46. Análisis modal del color de las formas de las vasijas entre la iglesia y las terrazas.

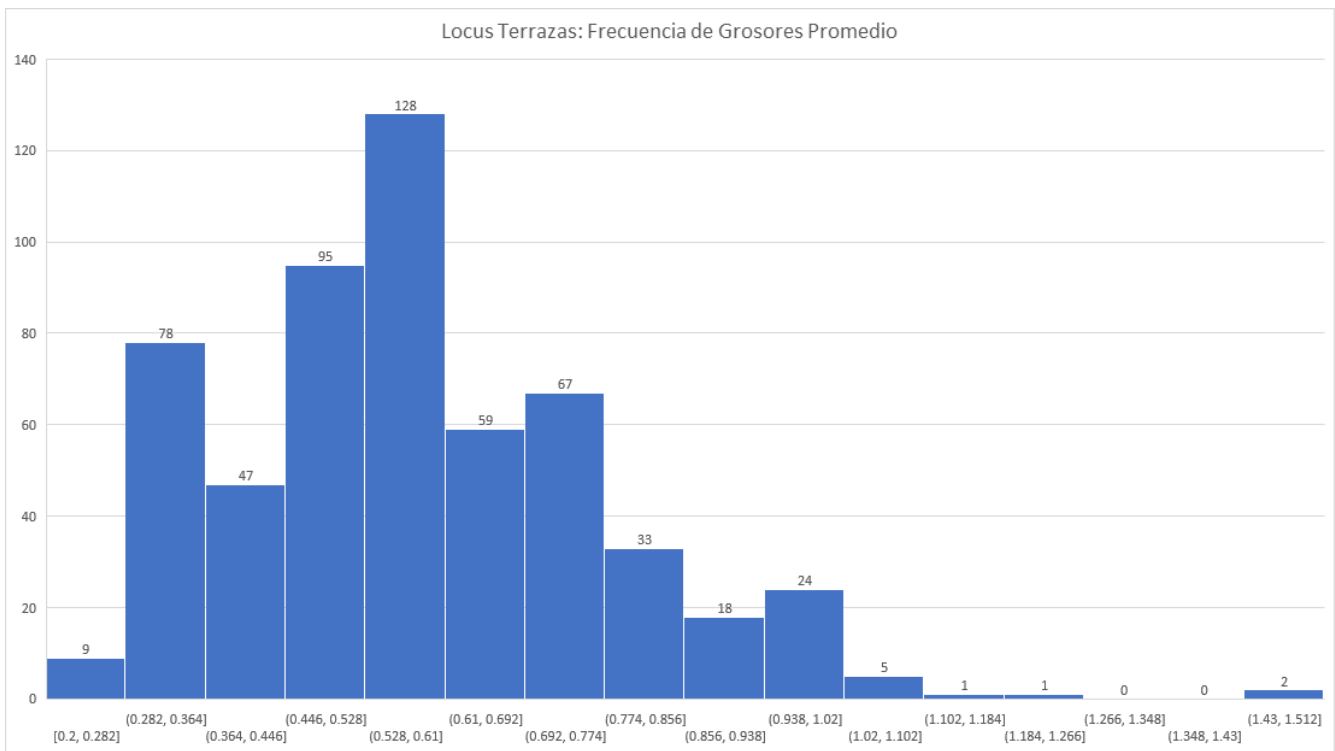


Figura 47. Análisis modal de los grosos promedio de los fragmentos en las terrazas.

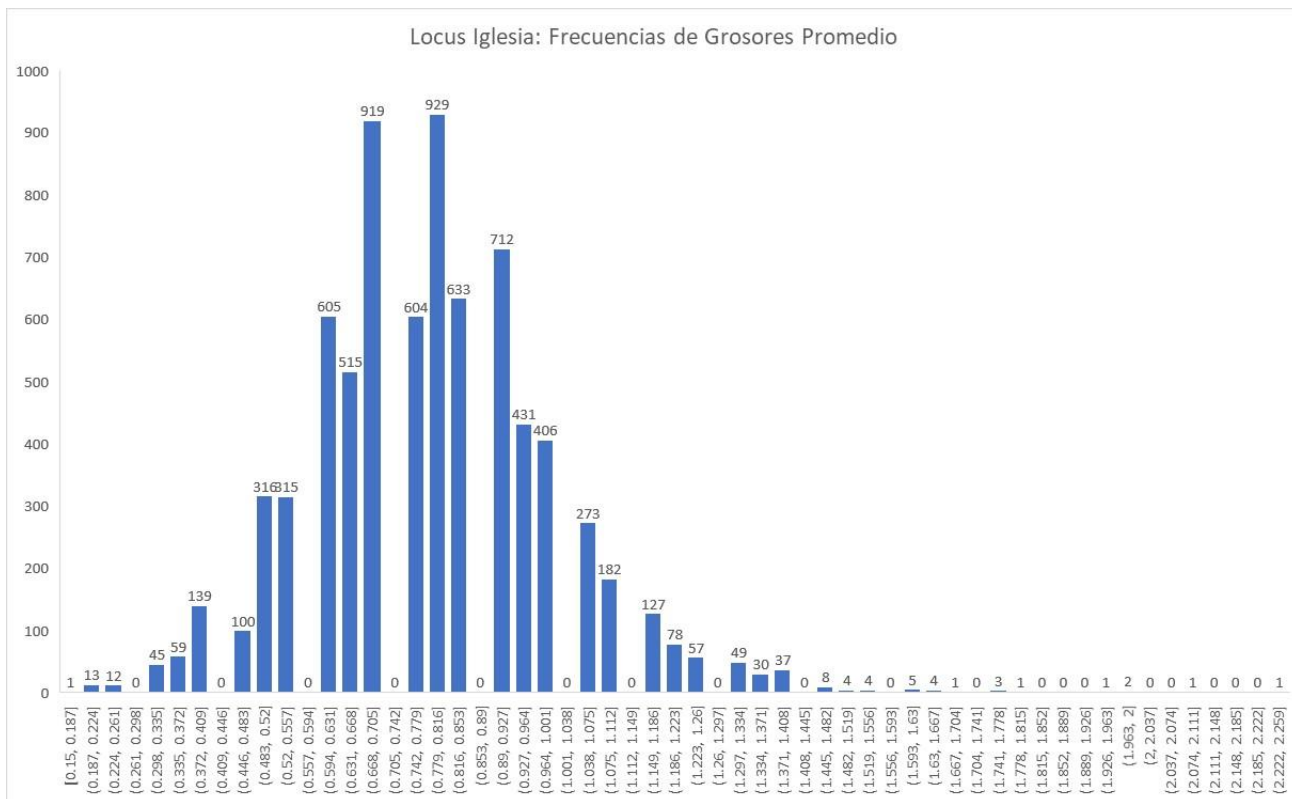


Figura 48. Análisis modal de los grosos promedio de los fragmentos cerámicos en el locus de la iglesia.

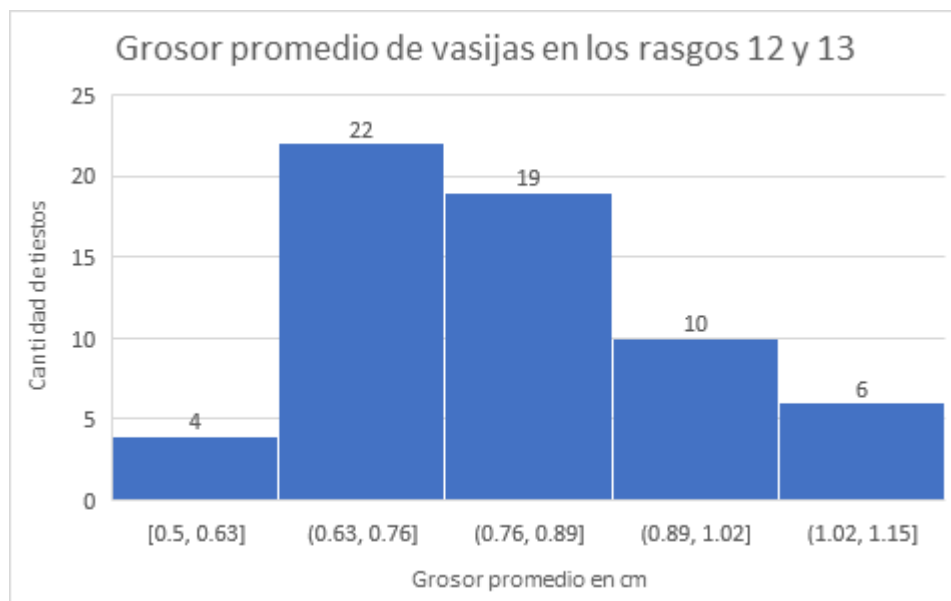


Figura 49. Grosor promedio de las vasijas en los rasgos 12 y 13 del bloque 1 en el locus de la iglesia.

También se comprobó el modo de la forma de los fragmentos recuperados, pero también se hallaron frecuencias muy similares de estos modos de un locus al otro. Los bordes evertidos componen el grueso de la muestra con casi el 80% en la iglesia y las terrazas, mientras que los bordes invertidos son una ínfima minoría que oscila entre el 3% y el 8% en las muestras respectivamente.

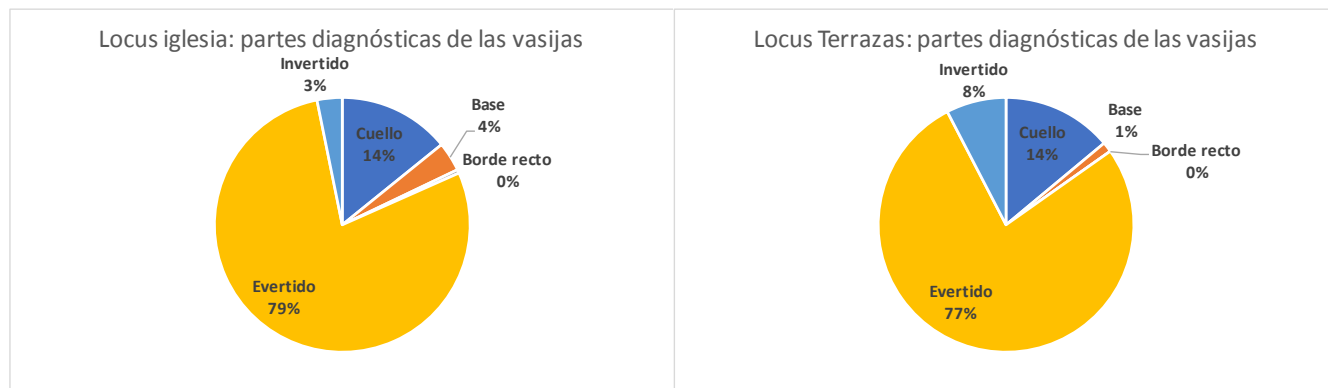


Figura 50. Frecuencias del modo de forma de los tiestos.

La decoración es muy escasa, tanto en la terraza como en la iglesia. Sin embargo se pudo observar que, sorprendentemente para el Gran Coclé, predomina la decoración plástica sobre la pintada, lo que quizá tenga que ver más con la naturaleza doméstica y utilitaria del conjunto cerámico. En las terrazas solamente ocurren cuatro tiestos decorados, todos con incisión ya sea en el labio o en el borde. Mientras que en el locus de la iglesia sí se dan casos de decoración pintada, pero en mucha menor frecuencia, además de que la decoración plástica aquí presenta mayor variedad. Es posible que esto no solamente se deba a lo utilitario de este conjunto, sino también a las influencias decorativas del Gran Darién, sobre todo en este locus cuya ocupación es más tardía.

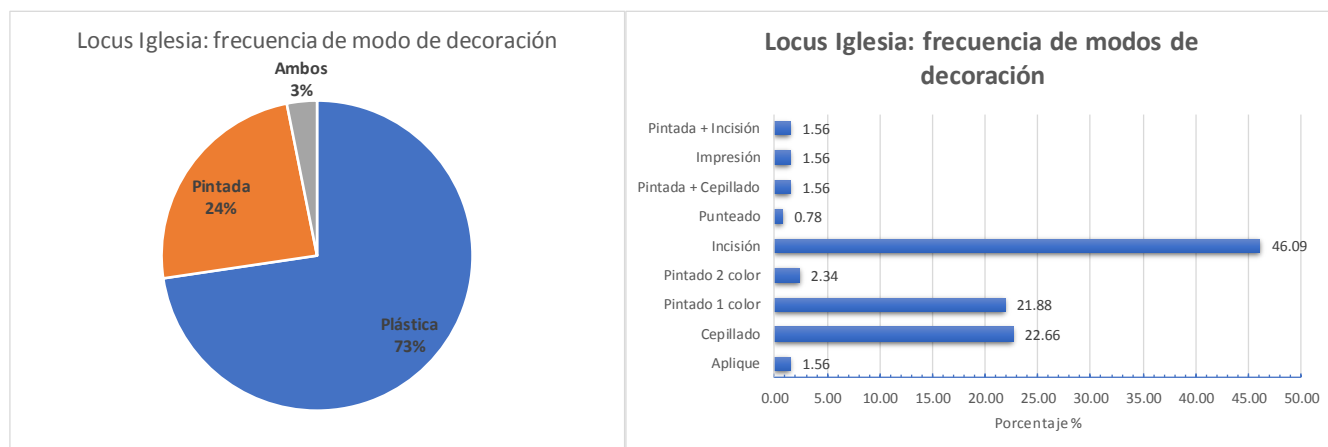


Figura 51. Frecuencias de modos decorativos en el locus de la iglesia.

Decoración	Aplique	Cepillado	Pintado 1 color	Pintado 2 color	Incisión	Punteado	Pintada + Cepillado	Impresión	Pintada + Incisión	TOTAL
Número	2	29	28	3	59	1	2	2	2	128
%	1.56	22.66	21.88	2.34	46.09	0.78	1.56	1.56	1.56	100.00

Tabla 18. Tabla de modos decorativos presentes en el locus de la iglesia.

Todos estos datos nos señalan un conjunto cerámico utilitario, de uso doméstico, que era la vajilla de uso diario de un grupo cultural bastante conservador, que al decir de los fechamientos antes referidos y el análisis tipológico, mantuvo básicamente el mismo gusto por las formas y el acabado de superficie de su ajuar casero durante por lo menos, 500 años desde la ocupación de las terrazas en el siglo VIII y IX hasta la ocupación del locus de la iglesia en el siglo XIII y XIV. No se observaron variaciones significativas a través de los modos de las que se pudiese inferir, por ejemplo, un cambio cultural llamativo, a excepción de la prevalencia de la decoración plástica sobre la pintada. Estando el sitio en la

frontera entre Gran Coclé y Gran Darién, quizá este último dato no es sorprendente sino el resultado natural de la exposición constante a ideas y productos de ambas regiones.

1.11 La Lítica de Pn-50

1.11.1 Enfoque Analítico y Métodos

Los artefactos en este análisis fueron recuperados en pozos de pruebas y pequeñas unidades de excavación durante las operaciones de rescate de 2017 y 2108. Aunque hacen parte de una sola colección representan muestras espacialmente dispersas. Cada objeto individual fue examinado y agrupado de acuerdo con las concentraciones identificadas en el campo. Cada pieza de desperdicio así como objetos y herramientas diagnósticos se estudiaron cuidadosamente. Los objetivos de la investigación fueron los siguientes:

1. Determinar si ocupaciones anteriores a 7000 AP estaban presentes en Pn-50 mediante la identificación de objetos bifaciales o lascas.
2. Establecer los períodos de ocupación y la edad de los artefactos según los tipos de herramientas diagnósticas.
3. Examinar las materias primas líticas para ver qué tipos de fuentes se explotan con mayor frecuencia (primarias versus secundarias).
4. Determinar si el tratamiento térmico fue utilizado por los talladores en Pn-50.
5. Examinar los núcleos para comprender mejor las técnicas de reducción representadas en la colección.
6. Comparar los tipos de artefactos horizontalmente en el área de rescate para ver si existen patrones que pueden representar diferencias en los períodos de ocupaciones o áreas de actividades.
7. Comparar los artefactos diagnósticos por profundidades relativas en el área de las pruebas para ver si se separan verticalmente.

Once variables fueron elegidas para el estudio. La siguiente lista representa aquellos que se consideraron más informativos para mis propósitos y podrían registrarse rápida y eficientemente.

- 1) Tipo de artefacto (herramienta, lasca, preforma, etc.)
- 2) Litología
- 3) Tipo de córtex (primario, secundario)
- 4) Integridad de las lascas (completa, proximal, medial, distal, medio-proximal, medio-distal, desmenuzada)
- 5) Exposición al calor (cúpulas, enrojecimiento, fracturas térmicas, etc.)
- 6) Longitud de la herramienta (mm)
- 7) Ancho de la herramienta (mm)
- 8) Espesor de la herramienta (mm)
- 9) Longitud del pedúnculo (mm)
- 10) Ancho del pedúnculo (mm)
- 11) Espesor del pedúnculo (mm)

Otros aspectos tecnológicos asociados con la talla de piedras fueron anotados. Se observaron técnicas de reducción tales como decorticación, preparación y rejuvenecimiento de plataformas, terminación de lascas, etc. La inspección visual de toda la colección se llevó a cabo utilizando una lupa de aumento de 1.75x y una lupa de joyero de 10x. Se utilizaron pinzas digitales con una precisión de .00 mm para registrar todas las mediciones. La identificación de uso se realizó con la ayuda de un estereomicroscopio

Nikon SMZ1500 equipado con una cámara digital.

1.11.2 Resultados

Un total de 479 artefactos de piedra fueron examinados durante el análisis. Estos objetos fueron recuperados en 29 pozos de prueba y pequeñas unidades de excavación en tres áreas separadas en El Uracillo. Estas concentraciones de artefactos se designaron como; 1) la Escuela, 2) la Capilla y 3) la Terraza.

1.11.2.1 Piedra Tallada

Materiales líticos (n=5). Esta categoría consiste en piedras criptocristalinas que fueron traídas al sitio pero nunca utilizadas. Estos incluyen dos guijarros de calcedonia clara, un cristal de cuarzo y dos pequeños cantos de jaspe.

Cantos partidos (n=1). Esta clase estaba representada por un único canto de cuarcita roto por la mitad.

Lascas sin modificar (n=301). Esta categoría incluye todas las lascas completas y fragmentadas que podrían orientarse de acuerdo con su superficie ventral y/o dorsal, así como las piezas fragmentadas no diagnosticadas.

Lascas de canto (n=2). Esto se refiere a las lascas corticales de materias primas de origen secundario.

Fragmentos de núcleos (n=26). Los fragmentos de núcleos se identificaron como piezas anguladas de bloques o cantos fracturados por impactos. Las cicatrices de lascas anteriores a veces eran visibles en sus superficies.

Macronúcleos de lascas (n=5). Estos eran núcleos de tamaño grande a mediano usados para la producción de lascas.

Microlitos (n=2). Se incluyeron en este grupo lascas pequeñas y rectas que mostraron signos de uso y/o retoques.

Micronúcleos de lascas (n=1). Esta categoría fue representada por un solo núcleo muy pequeño.

Lascas usadas (n=4). En este grupo había tres lascas de jaspe y de arcillosa que mostraban signos de uso en sus bordes.



Figura 52. Núcleo grande de arcillosa.



5 cm

Figura 53. Núcleo radial hecho de jaspe amarillo.

Tipos		%	
Capilla	Lascas	254	63.5
	Lascas de Achas	52	13.0
	Frag. de Núcleos	19	4.8
	Piezas Retocadas	12	3.0
	Achas	10	2.5
	Puntas Ped. Angosto	8	2.0
	Manos	5	1.3
	Materiales Líticos	5	1.3
	Frag. Puntas Unifaciales	5	1.3
	Puntas Ped. Ancho	3	0.8
	Lasca de Canto	3	0.8
	Lascas Utilizadas	3	0.8
	Núcleos	2	0.5
	Piedras de Fogon	2	0.5
	Martillos	2	0.5
	Microlitos	2	0.5
	Navajas Retocadas	2	0.5
	Yunques	1	0.3
	Cuchillos	1	0.3
	Afiladores	1	0.3
	Metates	1	0.3
	Micro Nucleos	1	0.3
	Lascas de Achas Retocadas	1	0.3
	Frag. Cantos	1	0.3
	Pulidores	1	0.3
	Puntas Trifaciales	1	0.3
	Raspadores sobre Punta Trifacial	1	0.3
	Raspadores Tortuga	1	0.3
	Total	400	100.0

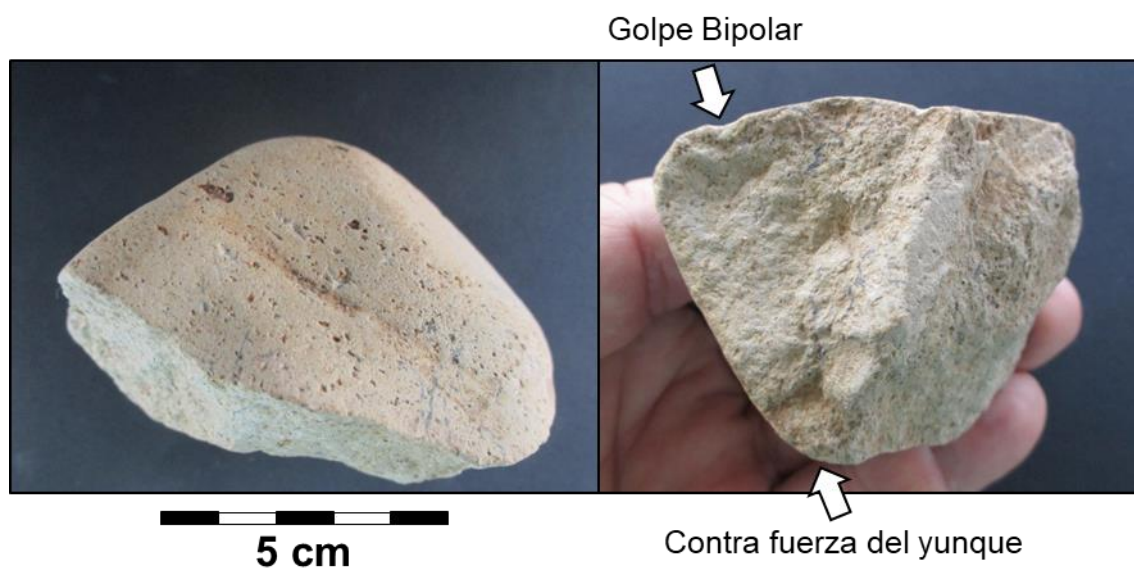
Tipos		%		
Escuela	Lascas	24	70.6	
	Piezas Retocadas	3	8.8	
	Frag. de Núcleos	1	2.9	
	Núcleos	1	2.9	
	Lasca de Canto	1	2.9	
	Raspadores Concavos	1	2.9	
	Frag. Puntas Unifaciales	1	2.9	
	Puntas Trifaciales	1	2.9	
	Lascas Utilizadas	1	2.9	
	Total	34	100.0	
	Tipos		%	
	Terraza	Lascas	23	51.1
Frag. de Núcleos		6	13.3	
Achas		2	4.4	
Núcleos		2	4.4	
Navajas Retocadas		2	4.4	
Piezas Retocadas		2	4.4	
Pulidores		2	4.4	
Cuchillos		1	2.2	
Puntas Ped. Anchos		1	2.2	
Lascas de Achas		1	2.2	
Lascas de Achas Retocadas		1	2.2	
Afiladores		1	2.2	
Puntas Trifaciales		1	2.2	
Total		45	100.0	

Tabla 19. Tipos de Artefactos por Localidades.



5 cm

Figura 54. Núcleo de lascas.



Golpe Bipolar

5 cm

Contra fuerza del yunque

Figura 55. Núcleo de lascas bipolares sobre canto rodado.



Figura 56. Microlito de jaspe rojo con uso.

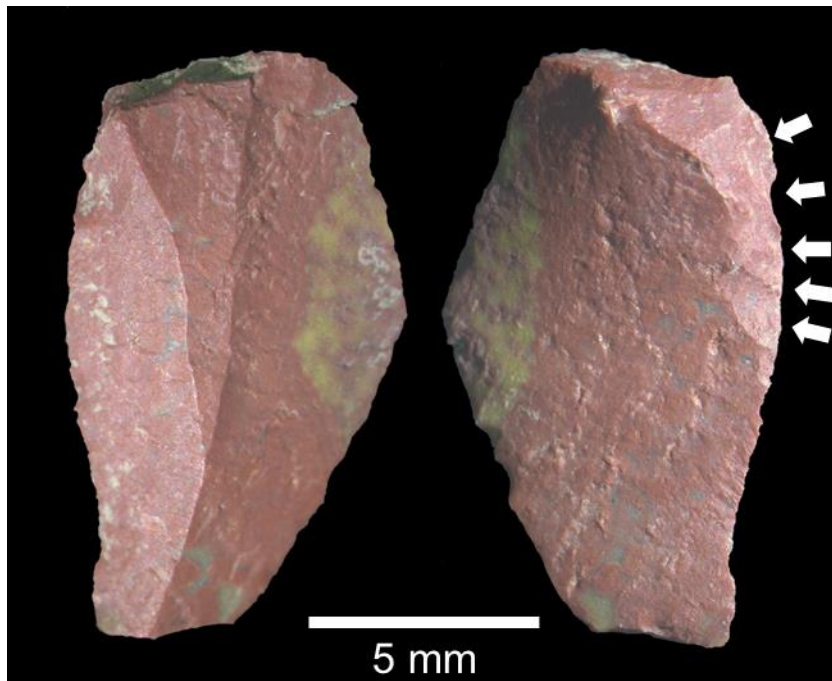


Figura 57. Microlito de jaspe rojo con retoques.

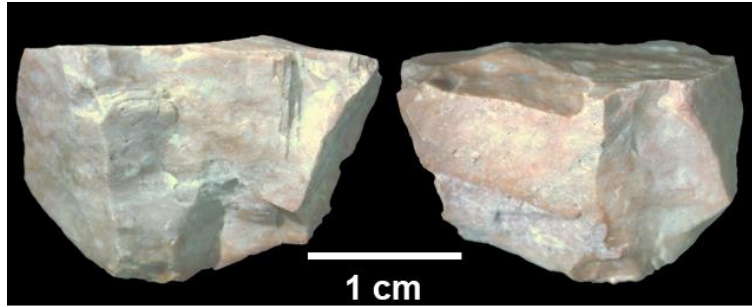


Figura 58. Micronúcleo hecho de jaspe rosado.

Piezas retocadas (n=17). Estas herramientas consistían en lascas o fragmentos de núcleos de varias formas y tamaños con retoques. Aunque muchos de ellos probablemente se usaron para raspar o cortar, elegí no asignarles designaciones asociadas con tareas explícitas.

Navajas retocadas (n=4). Cuatro navajas con retoques marginales se identificaron en la colección).



Figura 59. Navajas retocadas.

Raspadores cóncavos (n=1). Esta categoría incluía todas las lascas o fragmentos de núcleo con retoques cóncavos.



Figura 60. Raspador cóncavo (spokeshave).

Cuchillos (n=2). Se descubrieron dos lascas retocadas grandes durante la operación de rescate. La primera estaba hecha de arcillosa y tenía un extremo distal puntiagudo con retoques dorsales en ambos bordes. La segunda parecía natural, a excepción de algunas cicatrices de talla envejecidas en su borde y algunos retoques para aplanar su lado ventral que eliminaron el cono de percusión. Si este artefacto fue efectivamente fabricado por humanos, entonces puede ser de una edad considerable dada su condición.

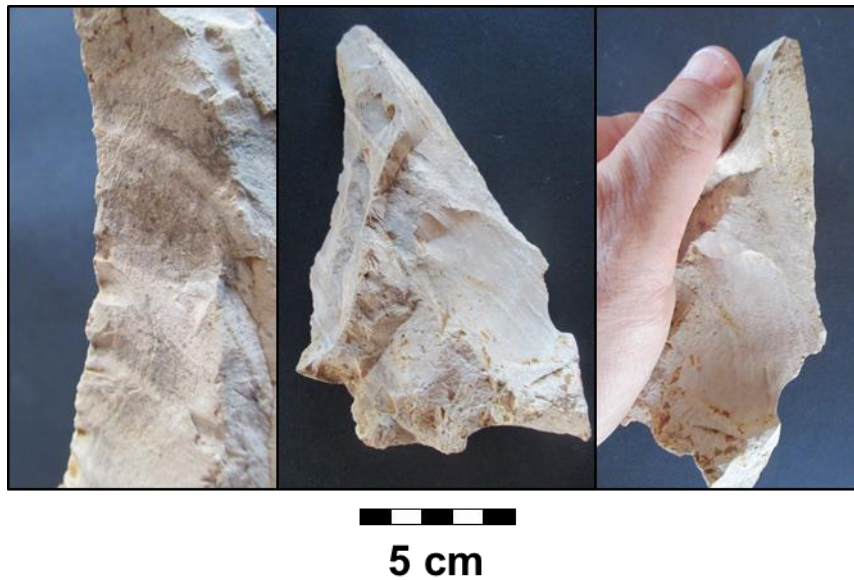


Figura 61. Cuchillo de lasca grande de arcillosa.

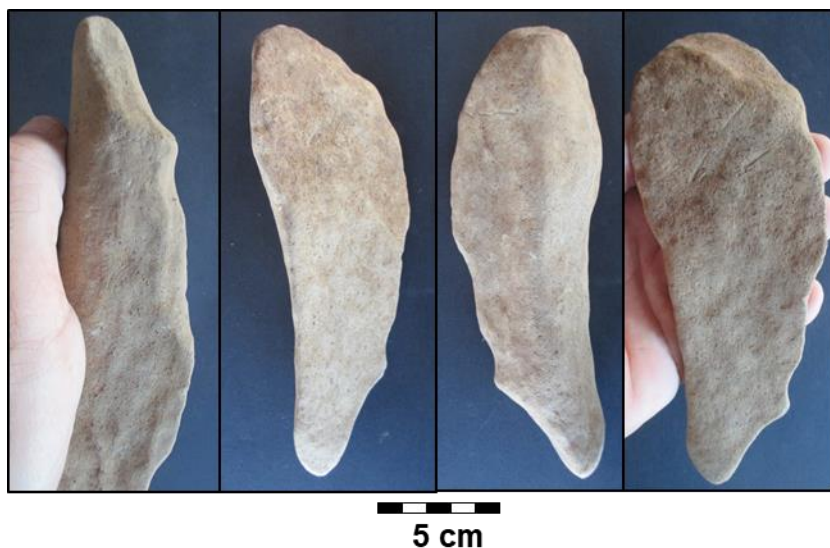


Figura 62. Grande lasca retocada altamente envejecidas

Raspador de espalda de tortuga (n =1). Esta categoría se refiere a los raspadores con superficies dorsales muy altas con forma de domo.



Figura 63. Raspador de espalda de tortuga.

Puntas con pedúnculo ancho (n=4). Se identificaron un total de cinco puntas fragmentadas con bases de pedúnculo ancho durante el análisis. Un ejemplo se quebró longitudinalmente cuando el tallador trató de adelgazar su base.



Figura 64. Punta unifacial de pedúnculo ancho.



Figura 65. Punta unifacial de pedúnculo ancho.

Puntas con pedúnculo angosto (tanged) (n=8). Otra clase de puntas se distinguía por sus estrechos pedúnculos en forma de espiga.



5 cm

Figura 66. Puntas con pedúnculos angostos hecho de jaspe amarillo.



5 cm

Figura 67. Puntas pequeñas con pedúnculos angostos.



Figura 68. Puntas con pedúnculos angostos

Puntas Unifaciales Fragmentadas (n=6). Todos los fragmentos de puntas que no pudieron clasificarse de acuerdo con los tipos conocidos se incluyeron en este grupo.



Figura 69. Posible parte medial de una punta hecha sobre navaja de jaspe rojo.

Puntas Trifaciales (n=3). Este tercer tipo consistía en preformas caracterizadas por tres superficies laqueadas que creaban proyectiles con secciones transversales triangulares.



Figura 70. Puntas trifaciales. La de la izquierda se recicló en un raspador.

Raspadores sobre puntas trifaciales (n=1). Esta herramienta particular fue creada a partir de una preforma de punta trifacial rota. Su extremidad fue retocada y reciclada en un raspador terminal.



Figura 71. Punta trifacial reelaborada en un raspador terminal.

1.11.2.2 Piedra Pulida y Otros Artefactos

Percutores (n=2). Dos cantos con signos de golpes en sus extremidades se clasificaron como posibles percutores duros.

Afiladores ranurado (n=1). Se identificó una piedra lisa con varias ranuras estrechas que probablemente sirvió para afilar o dar forma a otros artefactos.



Figura 72. Afilador ranurado.

Yunque (n=1). Una roca grande con varias marcas y depresiones en sus superficies planas puede haber sido utilizadas como un yunque para la reducción bipolar.

Hachas (n=12). Se identificaron un total de 12 hachas completas y fragmentadas en diferentes etapas de producción durante el estudio.



Figura 73. Preformas y fragmentos de hachas de basalto.

Lascas de hachas pulidas (n=53). Esta categoría se refiere a las lascas con facetas pulidas en sus superficies dorsales.

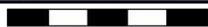
Lascas de hachas pulidas retocadas (n=2). Entre las lascas de hachas había dos especímenes que fueron retocadas para raspar o cortar.



5 cm

Figura 74. Lascas de hachas pulidas retocadas.

Pulidores ($n=3$). Tres cantos con superficies aplanadas extremadamente lisas se clasificaron como pulidores.



5 cm

Figura 75. Pulidores sobre pequeños cantos.

Arenisca ($n=1$). Se descubrió una única pieza de arenisca rota durante el análisis que puede haber servido como una piedra de afilar.



5 cm

Figura 76. Fragmento angulado de arenisca.

Mano ($n=5$). Esta categoría estaba compuesta por piedras alargadas con una o múltiples facetas planas y lisas (Tabla 6, Figura 26).

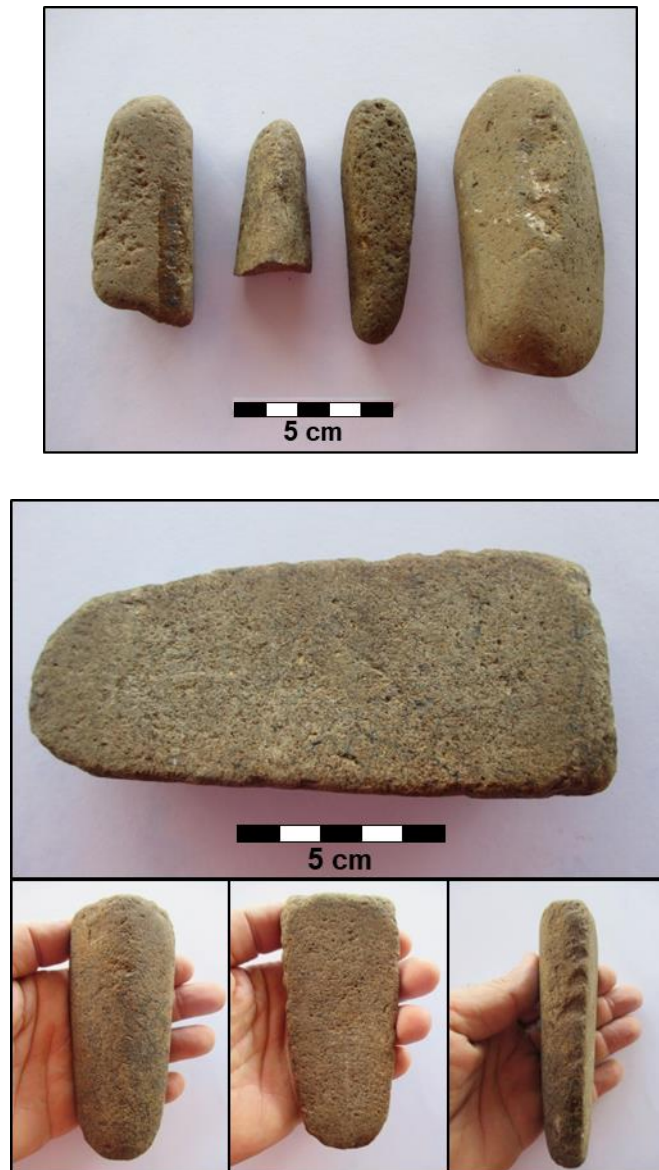


Figura 77. Manos de moler.

Puntas Unifaciales (mm)												
Bolsa	Año	Unidad	Nivel	Integridad	Material	Largo	Ancho	Espesor	L. Ped	A. Ped	E. Ped	Observaciones
96	2017	P1	N2	Pedúnculo	Jaspe Ama.				13.76	16.78	4.47	Ped. Ancho
FS003	2018	558-500	0-40	Pedúnculo	Jaspe Ama.				16.12	17.31	7.24	Ped. Ancho
FS013	2018	549-510	0-40	Partida	Cuarcita	34.84	31	5.61	4.58	24.74	5.9	Quebro durante adelgazamiento de la base. Ancho
FS018	2018	539-510	0-41		Jaspe R.							Patinada, Ped. Ancho
101	2017	P6	N1	Completa	Jaspe Ama.	30.28	18.01	4.96	7.61	8.25	3.6	Ped. Angosto
FS004	2018	558-500	0-40	Pedúnculo	Jaspe Ama.				7.07	6.36	2.94	Pequeño pedúnculo? Angosto
FS028	2018	TU1	16-39	Completa	Jaspe Ama.	37.13	17.69	8.1	7.16	10.04	5.97	Hecha sobre lasca partida, Ped. Angosto
FS060	2018	TU2	15-46	Completa	JA	55.17	16.17	11.22	16.88	10.01	8.91	Ped. Angosto
FS089	2018	TU7	13-47	Completa	Jaspe Ama.	38.5	15.22	5.39	11.85	8.2	5.67	Ped. Angosto
FS098	2018	TU4	33-43	Completa	Jaspe Ama.	50.91	18.56	8.72	13.63	11.08	6.48	Ped. Angosto
FS099	2018	TU5	33-43	Completa	Jaspe R.	28.98	13.66	2.81	9.55	6.47	2.96	Miniatura, Ped. Angosto
FS103	2018	TU6	33-43	Completa	Calcedonia	37.11	24.02	10.4	12.09	9.51	9.04	Ped. Angosto
102	2017	P6	N2	Punta	Jaspe R.							Parte distal
108	2017	P9	N1	Medial?	Jaspe R.	33.91	19.79	6.66				Seccion medial navaja, cupulas parte ventral
FS003	2018	558-500	0-40	Preforma	Jaspe Ama.							Quebrado
FS003	2018	558-500	0-40	Punta	Indeter.							Puntita
FS077	2018	TU2	38-59	Pedúnculo	Jaspe R.							Quebrada, Ped. Angosto?
FS099	2018	TU5	33-43	Pedúnculo	Jaspe Ama.							Quebrada, Ped Angosto?

Tabla 20. Lista y tamaños de las puntas unifaciales, Pn-50.

Puntas Trifaciales (mm)												
Bolsa	Año	Unidad	Nivel	Integridad	Material	Largo	Ancho	Espesor	L. Ped	A. Ped	E. Ped	Observaciones
110	2017	P9	N2	Preforma	JA	54.53	18.29	14.68	14.52	11.14	7.46	
FS082	2018	557-490	0-?	Preforma?	JA							Trifacial?
FS095	2018	TU4	33-43	Recyclada	JA	38	22.82	18.37	11.31	14.12	11.83	Quebrada y reciclada en raspador (trifacial?)
FS131	2018	TU8	39-80	Preforma	JA							Preforma quebrada (trifacial?)

Tabla 21. Lista y tamaños de las puntas trifaciales, Pn-50.

Tipos		n	Minimum	Maximum	Promedio	Desviación Estándar	Variación
Puntas Ped. Anchos	Largo	1	34.84	34.84	34.8400		
	Ancho	1	31.00	31.00	31.0000		
	Espesor	1	5.61	5.61	5.6100		
	Largo Ped	4	4.58	16.12	9.9150	5.88726	34.660
	Ancho Ped	4	16.40	24.74	18.8075	3.97257	15.781
	Espesor Ped	4	4.47	7.24	6.1825	1.29224	1.670
Puntas Ped. Angostos	Largo	7	28.98	55.17	39.7257	9.86060	97.231
	Ancho	7	13.66	24.02	17.6186	3.30516	10.924
	Espesor	7	2.81	11.22	7.3714	3.07898	9.480
	Largo Ped	8	7.07	16.88	10.7300	3.51738	12.372
	Ancho Ped	8	6.36	11.08	8.7400	1.72048	2.960
	Espesor Ped	8	2.94	9.04	5.6963	2.44005	5.954
Puntas Trifaciales	Largo	1	54.53	54.53	54.5300		
	Ancho	2	18.29	22.82	20.5550	3.20319	10.260
	Espesor	2	14.68	18.37	16.5250	2.60922	6.808
	Largo Ped	2	11.31	14.52	12.9150	2.26981	5.152
	Ancho Ped	2	11.14	14.12	12.6300	2.10718	4.440
	Espesor Ped	2	7.46	11.83	9.6450	3.09006	9.548
Frag. Puntas Unifaciales	Largo	1	33.91	33.91	33.9100		
	Ancho	1	19.79	19.79	19.7900		
	Espesor	1	6.66	6.66	6.6600		
	Largo Ped	0					
	Ancho Ped	0					
	Espesor Ped	0					

Tabla 22. Datos métricos de todas las puntas. Pn-50.

Hachas (mm)									
Bolsa	Año	Unidad	Nivel	Integridad	Material	Largo	Ancho	Espesor	Observaciones
FS001	2018	558-500	0-40	Distal	Basalto				Preforma quebrada
FS017	2018	539-510	0-41	Completa	Basalto	63.76	37.76	13.22	Pequeña preforma completa
FS026	2018	529-510	0-37	Medial	Basalto				Seccion medial
FS061	2018	TU2	15-46	Distal	Basalto				Quebrada
FS068	2018	TU2	35-53	Distal	Basalto				Cabeza
FS068	2018	TU2	35-53	Medial	Basalto				Parte medial remache con FS073
FS073	2018	TU2	38-59	Prox	Basalto				Parte distal remache con FS068
FS076	2018	TU2	38-59	Distal	Basalto				Cabeza con golpe
FS089	2018	TU7	13-47	Distal	Basalto				Filo
FS099	2018	TU5	33-43	Completa	Basalto	106.59	54.04	19.52	Preforma completa
FS050	2018	472-403	0-12	Preforma	Basalto				Parte medial
FS083	2018	513-425	0-12	Completa	Basalto	74.65	40.7	20.09	Casi completa

Tabla 23. Datos métricos de todas las hachas. Pn-50.

Manos (mm)									
Bolsa	Año	Unidad	Nivel	Integridad	Material	Largo	Ancho	Espesor	Observaciones
100	2017	P6	N1	Completa	IGN	69.29	30.11	21.59	3 lados pulidos
FS002	2018	558-500	0-40	Completa	IGN	91.53	43.15	37.71	
FS010	2018	549-510	0-40	Quebrado	IGN	124.75	54.59	29.65	Muy plano
FS034	2018	TU1	36-59	Completa	IGN	76.3	23.23	18.48	Pulidor?
FS061	2018	TU2	15-46	Quebrado	IGN	48.34	21.85	23.15	Triangular con 1 lado pulido

Tabla 24. Datos métricos de todas los manos. Pn-50.

Metate ($n=1$). Este tipo fue representado por una sola piedra grande ovalada con una superficie lisa y plana. Esta era una piedra natural aplanada por el uso sin signos de haber sido transformada. Medía 212 mm de largo por 111.81 mm de ancho por 47.41 mm de grosor.

Piedras de fogón ($n=2$). Se descubrieron dos fragmentos de roca que mostraban signos de enrojecimiento posiblemente causados por el calor.

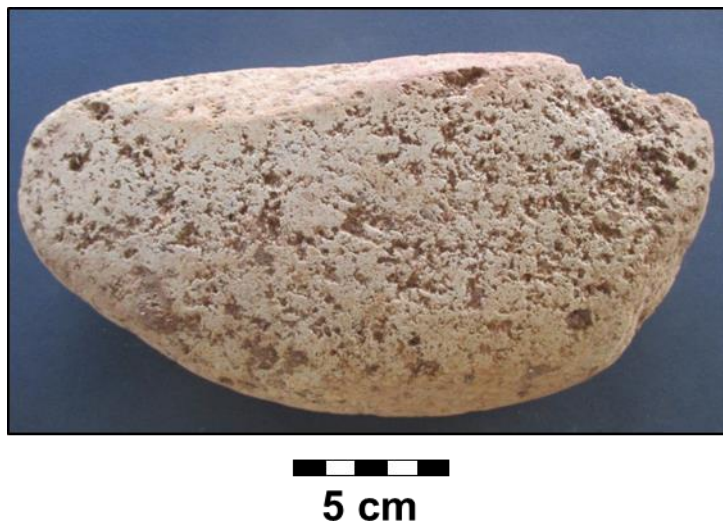


Figura 78. Metate natural sobre piedra de río.

1.11.3 *Discusión*

Aunque la colección lítica no fue extensa, se intentó un análisis detallado de los artefactos. Se descubrieron varios objetos diagnósticos y se decidió que un examen en profundidad podría revelar información interesante. El siguiente análisis tecnológico fue guiado por las preguntas iniciales de investigación planteadas en la sección de Métodos.

1.11.3.1 *Organización de Tecnología en Pn-50*

1. *Adquisición de las materias primas*

Una sorprendentemente gran variedad de materias primas líticas estuvo representada en esta pequeña colección. Varios tipos identificados en este estudio también pueden ser variaciones de los mismos materiales debido a cambios de color internos, granos heterogéneos, lascas corticales y patinación. El tipo de piedra para 20 especímenes no pudo ser identificado debido a la pesada pátina que dejó a muchos artefactos completamente blancos.

Los materiales más comunes recuperados en las áreas de la Capilla y la Terraza fueron basaltos y arcillosas seguidos por jaspes. Las arcillosas (47.1%) y los jaspes (17.6%) fueron más comunes en el área de la Escuela con basaltos (14.7%) siendo el tercero más usado. Las arcillosas y los basaltos exhibieron superficies corticales cuadradas que indican que fueron procuradas de fuentes

primarias. Por otro lado, la mayoría de los jaspes fueron adquiridos como guijarros y cantos rodados y probablemente fueron recolectados en una quebrada cerca o en el mismo Rio Indio. Las fuentes de arcillosa y basaltos no se conocen y estos materiales pueden haber sido comercializados. Este fue quizás el caso de la mayoría de las hachas de basalto que probablemente llegaron al sitio como preformas. Se muestran abajo las proporciones de materias líticas de fuentes primas y secundarias reducidas en Pn-50. Aunque la gran mayoría de los artefactos laqueados no tenían superficies corticales (81.9%), había al menos cuatro veces más objetos con cortes secundario en lugar de primario. Esta información respalda la idea de que los artefactos de basalto y arcillosa se redujeron inicialmente o se prepararon lejos de las áreas principales del rescate.

2. Tratamiento térmico

Uno de los principales desafíos que enfrentan los arqueólogos al tratar de identificar si los antiguos talladores trataron térmicamente sus materias primas es la cuestión de la intencionalidad. Es decir, ¿las piedras fueron tratadas térmicamente a propósito, arrojadas en hogares como basura o casualmente ubicadas bajo un fuego de campamento? Para determinar si se practicaba el tratamiento térmico en Pn-50, todos los artefactos hechos de piedras criptocristalinas se examinaron en busca de signos de oxidación roja, superficies cerosas o lustrosas y daño por calor. No se observó ninguno de los cambios diagnósticos que ocurren cuando las piedras están expuestas a altas temperaturas o llamas directas excepto por algunas cúpulas. De los 463 artefactos examinados, solo 14 (3%) exhibieron cúpulas. Por otra parte, estos a menudo se encontraban en los lados ventrales de las lascas, lo que indica que probablemente fueron producidos por fuegos naturales o arrojados en fogones durante las actividades de mantenimiento del sitio. Curiosamente, casi todos los artefactos con cúpulas (n=13) se descubrieron en el área de la Capilla donde también se identificaron las únicas piedras de fogón en la colección.

Tipos			%
Capilla	Basalto	134	33.7
	Arcillosa	80	20.1
	Jaspe Rojo	40	10.1
	Jaspe Amarillo	39	9.8
	Igneoso	22	5.5
	Cuarcita	22	5.5
	Indeterminado	16	4.0
	Calcedonia Clara	11	2.8
	Jaspe Rosado	7	1.8
	Cal. Azul/Gris	5	1.3
	Cal. Rosada	4	1.0
	Cal. Amarilla	4	1.0
	Jaspe Chocolate	3	0.8
	Calcedonia Tachada	2	0.5
	Cal. Tachada Gris	2	0.5
	Jaspe Amarillo/Choc.	2	0.5
	Chert Gris	1	0.3
	Palma Petrificada	1	0.3
	Jaspe Violeto	1	0.3
	Cristal Cuarzo	1	0.3
Arenisa	1	0.3	
Total	398	100.0	

Tipos			%
Escuela	Arcillosa	16	47.1
	Jaspe Amarillo	6	17.6
	Basalto	5	14.7
	Indeterminado	2	5.9
	Cuarcita	2	5.9
	Igneoso	1	2.9
	Jaspe Violeto	1	2.9
	Jaspe Rojo	1	2.9
	Total	34	100.0
Tipos			%
Terraza	Basalto	11	24.4
	Arcillosa	11	24.4
	Jaspe Amarillo	6	13.3
	Igneoso	3	6.7
	Jaspe Rojo	3	6.7
	Indeterminado	2	4.4
	Cal. Rosada	2	4.4
	Cristal Cuarzo	2	4.4
	Cuarcita	2	4.4
	Calcedonia Choc.	1	2.2
	Calcedonia Tachada	1	2.2
	Jaspe Oliva	1	2.2
	Total	45	100.0

Tabla 25. Tipos de materiales líticos por localidades (no incluye las piedras de fogón).

Localidad		n	%
Capilla	Indeterminada	319	80.2
	Secundaria	56	14.1
	Primaria	12	3.0
	No Applicable	11	2.8
	Total	398	100.0
Escuale	Indeterminada	28	82.4
	Primaria	3	8.8
	Secundaria	3	8.8
	Total	34	100.0
Terraza	Indeterminada	32	71.1
	Secundaria	8	17.8
	No Applicable	3	6.7
	Primaria	2	4.4
	Total	45	100.0

Tabla 26. Tipos de fuentes líticas utilizadas en Pn-50.

3. Técnicas de reducción lítica

Un examen de los núcleos más grandes reveló que la mayoría de las lascas se produjeron mediante la reducción de mano libre. La técnica bipolar también se usó para quebrar cantos redondos y producir lascas rectas con conos de percusión difusos. También se descubrió en la Terraza un núcleo de lascas radial hecho de un canto de jaspe amarillo. Este núcleo tenía remociones alternas bifaciales a lo largo de su borde. Otro método de reducción se observó en el micronúcleo recuperado en TU2. Este núcleo produjo microlitos de solo 16mm de longitud antes de ser descartado. Su parte inferior fue golpeado indicando que estaba descansando sobre un yunque, mientras que las lascas se produjeron por percusión diagonal (Callahan 1987, Diez-Martín et al., 2011, Pargeter y Tweedie 2018). La curvatura y la integridad de muchas lascas sugieren que ambos percutores duros y blandos se utilizaron para reducir cantos redondos o grandes piezas de materias primas, así como crear o rejuvenecer las plataformas.

4. Análisis de los Desechos de Talla

Un total de 301 lascas se analizaron durante este estudio. Sorprendentemente, más de la mitad eran completas con la mayoría con terminaciones en escama (pluma). Después de las lascas completas, las más comunes fueron las secciones mediales y distales seguidas de fragmentos non-diagnósticos. Excepto por algunas lascas de basalto extraídos de las hachas, todas fueron unifaciales. La mayoría de los talones fueron planos o con facetas mínimas.

Lascas	n	%
Completas	168	55.8
Mediales	30	10.0
Distales	25	8.3
Desmenuzada	24	8.0
Med-Prox	21	7.0
Med-Dist	17	5.6
Partidas	14	4.7
Proximales	2	0.7
TOTAL	301	100.0

Tabla 27. Tipos de lascas.

5. Técnicas de fabricación de herramientas

Como se indicó anteriormente, no se identificaron evidencias de adelgazamiento bifacial para la producción de herramientas, aparte de las hachas. Las herramientas hechas con otras materias primas fueron fabricadas sobre lascas retocadas de manera unifacial, bimarginal o trifacialmente. No se observó retoques invasivos o adelgazamiento bifacial. Muchas puntas de pedúnculo unifacial se fabricaron sobre lascas o navajas removidas de núcleos especialmente preparados. Las lascas de adelgazamiento de basalto se produjeron durante la reparación o reafilado de las hachas, mientras que otras parecen ser astillas involuntarias de impactos.

La producción de microlitos por reducción diagonal sobre yunque podría estar asociada con la presencia de ralladores compuestos (DeBoer 1975, Lewenstein y Walker 1984, Perry 2002, 2004). Estos ralladores podrían haber sido utilizados para procesar una gran variedad de cultígenos como el maíz (*Zea mays*), el ñame (*Dioscorea sp.*), el arrurruz (*Maranta sp.*), y la yuca (*Manihot esculenta*).

Los microlitos son bastante comunes y se han identificado en varios sitios Precerámicos y Alfareros. En el oeste de Panamá, Ranere (1980) descubrió refugios rocosos del Precerámico tardío que contenían microlitos y otros artefactos pequeños producidos por la reducción bipolar. Un total de 63 posibles "astillas de ralladores" ("*grater chips*") fueron recuperados en La Pitahaya en Isla Palenque (Einhaus 1980: 434). También se identificaron microlitos en los refugios rocosos de Aguadulce, Ladrones, Carabalí y Vaca del Monte en el centro de Panamá (Bird y Cooke 1978, Valerio Lobo 1985, Cooke y Ranere 1992). Más cerca de Pn-50, Griggs (2005) recuperó microlitos bipolares en varios refugios rocosos durante su estudio de la ROCC, especialmente abundantes en el sitio Lasquita Pn-53 que está muy cercano a Pn-50 y con una fecha de 6000 años antes del presente. Más recientemente, se identificaron microlitos en Punta Zancadilla (L-100) y Playa Don Bernardo en Pedro Gonzáles (Martín et al., 2009, Núñez Cortés 2012, Pearson 2018).

6. Edad de la ocupación (s)

La ausencia de artefactos bifaciales y lascas de adelgazamiento en Pn-50 sugiere automáticamente una ocupación posterior a 7000 años AP. Aunque no se identificó ningún artefacto definitivo perteneciente al Precerámico tardío, no podemos descartar la posibilidad de que algunos objetos de la colección se depositaran durante ese tiempo. Debido a que tanto el Precerámico tardío como el Cerámico temprano comparten muchas características tecnológicas, sigue siendo difícil segregar los conjuntos líticos sin

fechas radiométricas y buenos controles verticales. Tal vez algunos artefactos de la colección fueron producidos por talladores del Precerámico tardío, pero estos no se pueden identificar con un 100% de confianza en la actualidad.

Los únicos artefactos líticos diagnósticos capaces de establecer una secuencia histórico-cultural de ocupaciones en Pn-50 fueron las puntas. Estas incluyen puntas unifaciales de pedúnculos anchos y angostos, así como los ejemplos tallados trifacialmente. Las más antiguas son las puntas de pedúnculos anchos con fechas de c. 3000 a 1500 AP, seguido de las de bases angostas (c.1500 a 1000 AP) y finalmente las puntas trifaciales que aparecieron c. 1000 dC y que siguieron en uso hasta el período Colonial (Ranere y Cooke 1996). En otras palabras el rango temporal de los líticos diagnósticos coincide con el de las cerámicas y fechas radiocarbónicas obtenidas en Pn-50.

7. Distribuciones horizontales y verticales de artefactos diagnósticos

Habiendo determinado que al menos tres períodos de cambios tecnológicos líticos están presentes en Pn-50, se trazaron distribuciones verticales y horizontales de artefactos clave para ver si surgían separaciones o patrones que pudieran relacionarse con las áreas de actividades. La siguiente tabla indica que los tres tipos de puntas se recuperaron en el locus de la iglesia o capilla. En la terraza se descubrieron tanto un pedúnculo ancho como una punta trifacial, mientras que un único ejemplo trifacial se descubrió en la Escuela. El área de la capilla aparentemente fue ocupada continuamente por grupos alfareros, con un *terminus post quem* (una posible fecha inicial) de 3000 años AP. Es decir, que según la evidencia lítica es posible que el sitio haya sido ocupado inicialmente entre 1000 aC. y 500 d.C., lo que concuerda con los datos cerámicos y radiocarbónicos. Es posible que la terraza no se haya utilizado con tanta intensidad y, en función de los pocos pozos de prueba de la escuela, parece que no se han depositado artefactos diagnósticos en esa zona hasta 500 dC.

Area	Pedúnculos Anchos	Pedúnculos Angostos	Trifaciales
Capilla	3	8	2
Escuela			1
Terraza	1		1
Total	4	8	4

Tabla 28. Tipos de puntas por localidades

También, se identificaron las puntas que se descubrieron en las mismas unidades de prueba y se comparó su profundidad relativa. Solo dos unidades de prueba contenían más de un tipo de punta. Lamentablemente, ninguna de ellos se encontró en niveles separados. En el Bloque 1 (2m², UE3-6), se encontraron tres puntas con pedúnculos angostos y una trifacial dentro de los mismos 10 cm de sedimentos excavados. En el PP14 (N559 E500) se encontraron un pedúnculo ancho y una punta con pedúnculo angosto en un solo nivel de excavación de 40 cm de espesor.

Profundidad Relativa de Puntas					
Año	Unidad	Localidad	Ped. Ancho	Ped. Angosto	Trifacial
2018	Block 1 (TU3-6)	Capilla		33-43 cm (n=3)	33-43 cm (n=1)
2018	N558-E500	Capilla	0-40	0-40	

Tabla 29. Profundidad relativa de puntas.

La distribución horizontal de todas las hachas y lascas de hachas también se trazó para detectar

cualquier patrón espacial. Curiosamente, casi todos los especímenes se localizaron en el área de la capilla (n= 62, 95.4%), mientras que sólo se encontraron dos hachas y una lasca de hacha (4.6%) en la Terraza. Si las terrazas en Uracillo eran plataformas artificiales para casas, es probable que contengan ensamblajes que reflejen actividades domésticas. Por otro lado, la abundancia de lascas de hacha en el área de la iglesia podría asociarse a un taller especializado. El bajo número de artefactos y la ausencia completa de objetos relacionados con hachas en el área de la escuela son difíciles de interpretar. Esto podría reflejar un problema de muestreo como lo explican los trabajadores de campo. Otra posibilidad es que esta área simplemente no fue frecuentada tanto.

1.11.4 Conclusiones

En resumen, los resultados de este análisis lítico revelaron que:

- 1) La reducción bifacial de piedras criptocristalinas para fabricar herramientas no se observó en la colección.
- 2) Aunque artefactos líticos Precerámicos pueden estar presentes en El Uracillo, las ocupaciones inequívocas más antiguas pueden haber comenzado desde el año 1000 a.C.
- 3) Las ocupaciones del periodo Alfarero continuaron al menos hasta después del año 1000 dC.
- 4) La mayoría de los artefactos se encontraron en el locus de la iglesia, seguidos por la terraza y la escuela.
- 5) Por lo general, las fuentes líticas secundarias (locales) se usaron más comúnmente en Pn-50 para herramientas no especializadas y domésticas.
- 6) Basaltos y arcillosas fueron las materias primas más comunes encontradas en la colección y fueron posiblemente traídas de otra área o intercambiadas.
- 7) El tratamiento térmico de las materias primas líticas no se practicó en Pn-50 durante el período Alfarero.
- 8) Los métodos utilizados para la producción de lascas fueron: mano libre, bipolar, diagonal sobre yunque y bifacial alterno.
- 9) La mayoría de las lascas completas tenían terminaciones en escama y talones planos.
- 10) Las herramientas y las puntas de proyectil se fabricaron y se adelgazaron mediante retoques unifaciales, bimarginales y trifaciales.
- 11) La presencia de navajas indica que núcleos especialmente preparados también fueron fabricados y utilizados por los talladores de Pn-50.
- 12) Un componente microlítico estaba presente y puede estar relacionado con la fabricación de ralladores compuestos.
- 13) El único metate recuperado fue una piedra de río alargada con una superficie naturalmente gruesa.
- 14) En general, la industria lítica en Pn-50 se puede caracterizar como expediente y unifacial.
- 15) Un taller de hachas podría haber estado ubicado en el locus de la iglesia.

Interpretación del Sitio

1.12 Cronología

La cronología de ocupación del sitio Pn-50 ha sido construida en base a tres líneas de evidencia: los restos líticos, cerámicos y las fechas de radiocarbono. Por un lado la lítica apunta a la posibilidad de que el sitio haber estado ocupado desde por lo menos el año 1000 a.C, sin embargo, la cerámica que es mucho más abundante demuestra un inicio de ocupación posterior, alrededor del siglo III de nuestra era con los tiestos del tipo Escotá y Girón. De hecho, se encuentran en Pn-50 tiestos de tipos cerámicos cuyo uso se dio durante todo el primer y segundo milenio de nuestra era apuntando a una ocupación del yacimiento que se podría pensar como continua desde la época Tonosí (250 - 500 d.C.) hasta el período de uso del estilo Mendoza (1520 - 1600 d.C).

Finalmente las fechas de radiocarbono ofrecen otra imagen, que las terrazas estuvieron ocupadas primero entre los siglos VII y IX de nuestra era, y que luego entre los siglos XII y XIV se ocupó el locus de la iglesia, al tiempo que la terraza seguía ocupada. Sin embargo, contrastando esta información con la evidencia cerámica, se considera que es posible que la evidencia radiocarbónica y estos dos aparentes grupos de fechas son en verdad producto de la localización de las excavaciones, y que de haber excavado y obtenido muestras de otras localidades dentro del sitio (de más de 3.6 ha de extensión) seguramente se habrían obtenido fechamientos vinculados a otras épocas que no están representadas por nuestras fechas. Esto lo demuestra en parte la fecha obtenida de un tiesto cerámico carbonizado cerca de la escuela durante la temporada 2017, que apunta a una ocupación del siglo I o II de nuestra era, aún anterior al período Tonosí que es el más temprano evidenciado por la muestra cerámica.

1.13 Afiliación Cultural

En cuanto a la afiliación cultural de los habitantes de Uracillo, es un tema más complicado y el que no se comprende del todo. El registro arqueológico sugiere que los habitantes de Pn-50 estuvieron afiliados a la tradición semiótica del Gran Coclé por gran parte de su historia ocupacional. Aún así puede haber existido alguna interacción con los pueblos del Gran Darién dada la evidencia del predominio de la decoración plástica tardía y algunos otros artefactos característicos del oriente panameño. Cooke (1972) afirma que las figurinas cerámicas por ejemplo, son raras en el Coclé del Pacífico y no se han encontrado en sitios caribeños al oeste de Uracillo. Sin embargo se han recuperado estas figurinas en Pn-50, una antropomorfa por Stirling (que la describe en sus notas de campo), y otra zoomorfa por las investigaciones de la ROCC en 2001. En resumen, la evidencia cerámica apunta a que los habitantes de Pn-50, pudieron estar expuestos a influencias culturales de ambas tradiciones semióticas del Panamá Central y Oriental, influencias que podían fluctuar según se movieran las “fronteras” entre las regiones, límites que nunca fueron estáticos ni en el tiempo ni el espacio.

Durante el período final de ocupación de Pn-50, los residentes de Pn-50 eran parte de una población de la que se conoce la identidad cultural gracias a las crónicas etnohistóricas. Estos eran los Coclé, cuyo territorio se extendía a través del Caribe central desde el Chagres hasta Escudo de Veraguas (Castillero 1994). Aunque no existen fechas de radiocarbono en Pn-50 para después de la conquista, la presencia de los Coclé en el sitio puede ser inferida por el hallazgo allí de la cerámica Limón durante las investigaciones de la ROCC. Esta cerámica se sabe que fue usada por los Coclé desde el siglo XIII hasta mediados del XVII (Cooke et al. 2003, Griggs 2005).

Si a los Coclé se les puede considerar como afiliados a la esfera de influencia del Gran Coclé, es todavía

una pregunta sin resolver. No obstante, se dan varias líneas de evidencia que sugieren que pueden no haberlo estado. Significativamente, la cerámica Limón es morfológica y tecnológicamente disímil de cualquier otro tipo del Gran Coclé. Es burda, mal cocida y con acabados pobres y sin decoración, y su distribución está confinada a la vertiente Caribe. Esto no quiere decir que no hubiese contacto entre los Coclé y los pueblos del Pacífico, ya que como se demostró aquí, existen muestras de tipos cerámicos del Pacífico del Gran Coclé en Pn-50. Sin embargo, la cerámica Limón es tan distinta de las demás del Gran Coclé que es plausible que su aparición señale o apunte a una ruptura o realineamiento de las longevas relaciones sociales y afinidades culturales entre las poblaciones en los lados opuestos de la Cordillera Central. Según la información etnohistórica disponible, los Coclé mantuvieron control sobre su territorio hasta bien entrado el siglo XVII.

La evidencia genética también apunta a una disociación de los Coclé del Gran Coclé. Los descendientes de los Coclé que viven en la vecindad de Penonomé son portadores de un alelo que no se encuentra en otras poblaciones indígenas panameñas (Barrantes et al. 1990), lo que indica una falta de flujo genético entre los Coclé y sus vecinos más cercanos (Cooke y Ranere 1992) y apoya la idea de que los Coclé no se mezclaron socialmente con las poblaciones del Pacífico.

1.14 Tamaño, Organización y Función del Sitio

Por las estimaciones del equipo de ERM y SEARCH Pn-50 cubre por lo menos unas 3.6 ha. Es sin lugar a duda una aldea inusualmente grande para el Caribe central. Los exploradores europeos tempranos típicamente describen los asentamientos caribeños como pequeños, variando entre una sola casa a caseríos de 4 o 5 residencias (Oviedo en Lothrop 1950). Es de notar que Pn-50 está rodeado de una gran extensión de tierra fértil y arable, la cual es escasa en el Caribe. Consecuentemente, no parece ilógico suponer que Pn-50 pudo sostener una población relativamente grande debido a su proximidad a tierras productivas, y su estratégica posición sobre el río apta para el comercio regional.

Lo más probable es que al igual que en el resto del Gran Coclé, la organización social de Pn-50 haya sido la del cacicazgo (Cooke y Ranere 1992). Como uno de los sitios más grandes conocidos del Caribe, este puede haber sido el asiento de un cacique, y algunas evidencias sugieren la presencia de una clase de élite en Uracillo. Por ejemplo, durante las prospecciones de la ROCC se encontró un fragmento de una barra pendiente de ágata, los que comúnmente están asociados a tumbas de alto estatus en el Pacífico central panameño en sitios como Sitio Conte. Adicionalmente se han reportado hallazgos anecdóticos de orfebrería en Pn-50 y en sitios cercanos (Stirling lo reporta, Griggs también en 2001, y los pobladores actuales refirieron hallazgos similares al equipo de ERM y SEARCH). La alta productividad agrícola en las cercanías y su posición, acceso y posible control de la ruta fluvial, pueden haber facilitado la acumulación de riquezas en Pn-50.



Figura 79. Fragmento de pendiente de ágata encontrado en Pn-50 durante las investigaciones de la ROCC (imagen John Griggs).

Basados en la evidencia discutida arriba, su posición, afiliaciones culturales y cronología, nos inclinamos a pensar que Uracillo fue una gran aldea agrícola y posiblemente un centro de intercambio por su posición en el río. Con su tamaño y la variedad artefactual reportada y encontrada, bien podría haber sido el asiento de un cacique.

Conclusiones y Recomendaciones

Los resultados de la temporada de campo 2018 en el sitio Pn-50 en el poblado de la Boca de Uracillo en el río Indio demuestran que, a pesar de la evidencia de perturbaciones por la construcción de edificios modernos en el pueblo desde mediados del siglo XX así como por las excavaciones de Stirling en 1951, todavía se encuentran preservados numerosos rasgos prehistóricos intactos tanto dentro del área del poblado actual como en las terrazas alrededor. Es el sitio arqueológico más grande reportado en la cuenca del río Indio y en el Caribe central panameño. Su posición es estratégica, en la confluencia de los ríos Indio y Uracillo, lo que le permitiría a sus habitantes controlar el tráfico y comercio fluvial, y además está situado en tierras agrícolas muy productivas que habrían posibilitado y alentado el asentamiento y uso del sitio por largo tiempo y por una población grande.

Pn-50 o Uracillo fue una aldea Precolombina de gran tamaño, posiblemente el asiento de un cacicazgo, en la que han habitado los seres humanos desde por lo menos el siglo II de nuestra era según las fechas de carbono 14, y por lo visto de manera casi continua - de acuerdo con la evidencia cerámica con tiestos (Girón, Escotá, Cubitá, Conte, Guácimo, Cortezo y Mendoza)- hasta la invasión española en el siglo XVI. Se encuentran aquí fragmentos de tipos cerámicos del Gran Coclé existentes durante todo el primer y segundo milenio de nuestra era.

Sin embargo, en el área del sitio explorada durante 2018, la evidencia radiométrica apunta a por lo menos dos episodios distintos de ocupación. Un episodio más temprano cuyos restos se manifiestan principalmente en las terrazas al oeste del pueblo, con fechas entre los siglos VII y IX de nuestra era. El segundo episodio ocupacional se da principalmente en las terrazas bajas más cercanas al río, entre la escuela y la iglesia, donde aparecen materiales mucho más tardíos con cerámicas del estilo Conte y posteriores y fechamientos entre los siglos XII y XIV de nuestra era.

La muestra lítica es sencilla y confirma la temporalidad de la ocupación el sitio obtenida con los fechamientos y la cerámica. La variabilidad de la cerámica es en general baja, apuntando hacia un conservadurismo longevo en la manera de hacer y usar las vasijas de barro, tratándose principalmente de un conjunto utilitario y de uso doméstico, sin mucha decoración. Es una vajilla para uso casero, y no se encontraron los elementos decorativos de la cerámica del Gran Coclé usualmente asociados a rituales funerarios en el Pacífico panameño. Por otro lado se han encontrado suficientes elementos diagnósticos en la cerámica que señalan afiliaciones culturales hacia el Gran Coclé, pero también hacia el Gran Darién. De hecho, la decoración más frecuente en el sitio es la plástica, situación usual en el oriente panameño. Esto puede estar confirmando la posición del poblado en la frontera que los cronistas castellanos señalan para el Gran Coclé y el Gran Darién en el siglo XVI.

Aunque se ha obtenido una buena caracterización del sitio Pn-50, resulta obvio que con una extensión de más de 3.6 hectáreas, las investigaciones llevadas a cabo en el mismo apenas están revelando una pequeña parte. Existe el potencial todavía en el yacimiento para estudiar otros depósitos estratificados y complejos en los que quizá se puedan recuperar evidencias como restos humanos y de ritos funerarios que ampliarían nuestra comprensión de las culturas del Caribe panameño, una región poco estudiada del país.

Por otro lado, la información obtenida de los análisis de la cerámica del sitio puede servir como base para estudios más detallados de esta colección para tesis de grado de licenciatura o maestría de estudiantes de arqueología.

Se recomienda realizar más investigaciones sobre las potenciales estructuras Precolombinas y otros

rasgos identificados en Pn-50, particularmente en los rasgos ubicados en las terrazas ya que presentan menos perturbaciones modernas y no habrán controversias con las autorizaciones para excavar. También se recomienda conducir un reconocimiento o prospección arqueológica a lo largo del río Uracillo, con base en los reportes de los locales que hablan de sitios arqueológicos potencialmente significativos con enterramientos, abrigos rocosos y artefactos de orfebrería localizados a lo largo de este tributario del río Indio.

Equipo Profesional

En el trabajo de campo participaron los arqueólogos Jean-Sebastien Pourcelot de parte de ERM Panamá y por parte de SEARCH Inc. los arqueólogos Blake Ayala y Sam Turner. La investigación tuvo el seguimiento y colaboración continua de Emlen Myers, arqueólogo de ERM. Christian González y Alejandro de Jesús de ERM coordinaron la logística y seguridad del proyecto.

Los análisis de laboratorio fueron supervisados por Tomás Mendizábal y realizados por el arqueólogo Jean-Sebastien Pourcelot y los estudiantes de antropología de la Universidad de Panamá Raiza Erlenbaugh, Verónica Pace, Yariani Rocca y de parte de ERM Rodolfo Darío Álvarez.

Mientras que Tomás Mendizábal estuvo a cargo de la confección general del informe, Jean-Sebastien Pourcelot se encargó de la redacción de los análisis cerámicos, mientras que el arqueólogo Georges Pearson realizó el análisis de la lítica. John Griggs apoyó el proyecto con información de la arqueología de la región y comentarios a los manuscritos y reportes iniciales, al igual que Richard Cooke quien cooperó con la identificación de tiestos cerámicos.

Lista de Referencias

Ayala, B.

2018 Field Summary Report Archaeological Rescate at Pn-50 Coclé Province, Panamá. Unpublished field report, SEARCH Consultants.

Arias, T.D., Barrantes, R., Jorge,

1995 Archaeological Survey and Testing in the Belén River Valley, Panama. Tesis de maestría, Texas Tech University.

L.F., Azofeifa, J., Carles, M., Cooke, R.G.

1992 Estudio sobre los "Cholos" de Coclé: determinación de su mezcla racial y orígenes étnicos. Revista Médica de Panamá 17(3): 180-7.

Barrantes, Ramiro, P.E. Smouse, H. W. Mohrenweiser, H. Gershowitz, J. Azofeifa, T.D. Arias, and J.V. Neel

1990 Microevolution in lower Central America: characterization of the Chibcha-speaking groups of Costa Rica and Panamá, and a consensus taxonomy based on genetic and linguistic affinity. American Journal of Human Genetics, 46: 63-84.

Bird, Junius B., R.G. Cooke

1978 La Cueva de los Ladrones: datos preliminares sobre la ocupación Formativa. Actas del V Symposium Nacional de Antropología, Arqueología y Etnohistoria de Panamá, Instituto Nacional de Cultura, Panamá, págs. 283-304.

1978 The occurrence in Panama of two types of Paleo-Indian point. En A.L. Bryan, editor, Early Man in the New World from a Circum-Pacific Perspective. Department of Anthropology, Edmonton, Occasional Papers 1, págs. 263-272.

Briggs, P.S.

1989 Art, Death and Social Order: the Mortuary Arts of Pre-Conquest Central Panama. British Archaeological Reports (International Series 550), Oxford.

Callahan, E.

1987 *An Evaluation of the Lithic Technology in Middle Sweden during the Mesolithic and Neolithic*. Aun No.8. Societas Archaeologica Uppsaliensis, Uppsala.

Casimir de Brizuela, Gladys

1973 Síntesis de Arqueología de Panamá. Editorial Universitaria, Panamá.

Castillero Calvo, Alfredo

1994 Conquista, Evangelización y Resistencia. Instituto Nacional de Cultura. Imprenta de la Nación, Panamá.

Constenla Umaña, Adolfo

1991 Las Lenguas del Área Intermedia: Introducción a su Estudio Areal. Editorial de la Universidad de Costa Rica, San José.

Cooke, Richard G.

1972a The Archaeology of the western Coclé province of Panama. Tesis doctoral, Instituto de Arqueología, Universidad de Londres, 2 tomos.

1975 Excavaciones arqueológicas en el sitio AG-3 (Sitio Sierra), Distrito de Aguadulce, Coclé, Panamá (informe preliminar, 1975). Instituto Nacional de Cultura, manuscrito inédito, 25 págs.

1976 Panamá: Región Central. Vínculos 2: 122-140.

1977. El hachero y el carpintero: dos artesanos del Panamá precolombino. Revista Panameña de Antropología 2: 48-77.

1979 Los impactos de las comunidades agrícolas precolombinas sobre los ambientes del Trópico estacional: datos del Panamá prehistórico. Actas del IV Simposio de Ecología Tropical, Instituto Nacional de Cultura/Instituto Smithsonian de Investigaciones Tropicales, Tomo 3, págs. 919-973.

1980. Polychrome pottery from the Central Region of Panama at La Pitahaya. En O.F. Linares, A.J. Ranere, editores, Adaptive Radiations in Prehistoric Panama. Peabody Museum Monographs 5. Harvard University, Cambridge, págs. 371-375.

1984a Birds and men in prehistoric central Panama. In, F. Lange (ed.): Recent Developments in Isthmian Archaeology. Oxford: British Archaeological Reports Inter. Ser. 212, pp. 243-81.

1984b Archaeological research in central and eastern Panama: a review of some problems. En F. W. Lange, D. Z. Stone, editores, The Archaeology of Lower Central America. University of New Mexico Press (School for American Research), Albuquerque, págs. 263-302.

1985 Ancient painted pottery from central Panama. Archeology July/August: 33-39.

1995 Monagrillo, Panama's first pottery (3800-1200 cal bc): summary of research (1948-1993), with new interpretations of chronology, subsistence and cultural geography. En J. Barnett, J. Hoopes, editores, The Emergence of Pottery: Technology and Innovation in Ancient Societies, Smithsonian Institution Press, Washington D.C., págs. 169-184.

1998a Human settlement of Central America and Northern south America, 14,000 - 8,000 BP. Quaternary International 49/50:177-190.

1998b Subsistencia y economía casera de los indígenas precolombinos de Panamá. Editorial Universitaria, Panamá, págs. 61-134.

1999 The Native People of Central America during Precolumbian and Colonial Times. In Central America, a natural and cultural history. Ed by Anthony Coates. Yale University Press. New Haven and London.

2010 Reporte de Actividades de Campo Temporada 2010 (Pearl Island Limited S.A.). Documento inédito.

2011 The Gilcrease Collection and The Gran Coclé. En "To Capture The Sun: Gold of Ancient Panama". Gilcrease Museum, Tulsa, Oklahoma.

Cooke, Richard G, John Griggs, Luis Sánchez, Claudia Díaz y Diana Carvajal

2001 Recopilación y Presentación de Datos de Recursos Ambientales y Culturales en La Región Occidental de la Cuenca del Canal de Panamá (ROCC). Informe inédito presentado a la Autoridad del Canal de Panamá (ACP).

Cooke, R.G. y A. Ranere,

1984. "The 'Proyecto Santa María': a Multidisciplinary Analysis of Prehistoric Adaptations to a Tropical Watershed in Panama", en *Recent Developments in Isthmian Archaeology: Advances in the Prehistory of Lower Central America*, editado por Frederick W. Lange [BAR International Series 212: Proceedings, 44th International Congress of Americanists, Manchester 1982, Editor General Norman Hammond]. Pp. 3-30. Oxford, Reino Unido: British Archaeological Review

1992a Human influences on the zoogeography of Panama: an update based on archaeological and ethnohistorical evidence. En S.P. Darwin, A.L. Welden, editores, *Biogeography of Mesoamerica. Proceedings of a Symposium (Mérida, Yucatán, México, October 26-30, 1984)*, Special Publication of the Mesoamerican Ecology Institute, págs. 21-58.

1992b "The origin of wealth and hierarchy in the Central Region of Panama (12,000-2000 BP), with observations on its relevance to the history and phylogeny of Chibchan-speaking polities in Panamá and elsewhere", en F.Lange, editor, *Wealth and Hierarchy in the Intermediate Area*, pp. 243-316. Washington: Dumbarton Oaks.

1992c Prehistoric Human Adaptations to the Seasonally Dry Forests of Panama. *World Archaeology* 24:114-133.

Cooke, R.G. y L.A. Sánchez.

1997 Coetaneidad de metalurgia, artesanías de concha y cerámica pintada en cerro Juan Díaz, Panamá. *Boletín del Museo del Oro (Colombia)* 42: 57-85.

2004. "Panamá prehispánico", en *Historia General de Panamá*, dirigida y editada por Alfredo Castillero Calvo, Volumen I, Tomo I, Capítulo I, pp. 3-46. Panamá: Comité Nacional del Centenario de la República.

Cooke, Richard G., L. A. Sánchez H., I. Isaza A., A. Pérez Y.

1998 Rasgos mortuorios y artefactos inusitados de Cerro Juan Díaz, una aldea precolombina del 'Gran Coclé' (Panamá central). *La Antigua (Panamá)* 53:127-196.

Cooke, Richard, Luis Alberto Sánchez Herrera, Diana Rocío Carvajal, John Griggs y Ilean Isaza Aizpurúa.

2003 Los pueblos indígenas de Panamá durante el siglo XVI: Transformaciones sociales y culturales desde una perspectiva arqueológica y paleoecológica. *Mesoamérica* 45:1-34.

DeBoer, W.

1975 The Archaeological Evidence for Manioc Cultivation: A Cautionary Note. *American*

Antiquity, 40(4):419-433.

Diez-Martín, F., Yustos, P., Domínguez-Rodrigo, M., and Prendergast, M.
2011 An Experimental Study of Bipolar and Freehand Knapping of Naibor Soit Quartz from Olduvai Gorge (Tanzania). *American Antiquity*, 76(4), 690-708. doi:10.7183/0002-3167.4.690

Drolet, R. P.

1980 *Cultural Settlement along the Moist Caribbean Slopes of Eastern Panama*. Thesis submitted in partial fulfillment of the requirement for the degree of Doctor of Philosophy in Anthropology in the Graduate College of the University of Illinois at Urbana-Champaign.

Einhaus, S.

1980 Stone Tools from La Pitahaya. In *Adaptive Radiations in Prehistoric Panama*, edited by Olga Linares and Anthony Ranere, pp. 429-466. Peabody Museum Monographs No. 5, Cambridge, Massachusetts.

ERM Environmental Resources Management, Panamá, S.A.

2018 Informe Final de las Tareas de Arqueología en los Tramos Alto, Medio y Bajo de Río Indio. Documento inédito remitido a la Autoridad del Canal de Panamá. 23 de marzo.

Fitzgerald, Carlos

1993 Informe Preliminar sobre excavaciones arqueológicas en El Caño. En "El Caño: Comunidad y Cultura". Instituto Nacional de Cultura. Panamá.

Gordon, Leroy

1962 Notes on shell mounds near the Caribbean coast of Western Panama. *Panama Archaeologist* 5:1-9.

1981 *A Panama Forest and Shore*. Pacific Grove, California: Boxwood.

Griggs, John C.

1995 Archaeological Survey and Testing in the Belén River Valley. Unpublished Master's thesis, Texas Tech University, Lubbock.

1998. A Preliminary Archaeological Survey of the Petaquilla Mining Concession, Colón Province, Republic of Panama. Cultural resource management project report. Copy on file with Teck Corporation, Vancouver, B.C.

2000. A Pre-Columbian Settlement of the Caribbean Coast of Panama: New Data and New Hypotheses. Paper presented at the 65th Annual Meeting of the Society for American Archaeology, Philadelphia.

2005 *The Archaeology of Central Caribbean Panama*. Tesis doctoral, Departamento de Antropología, Universidad de Texas, Austin.

Haberland, Wolfgang

1978 *Lower Central America*. En R.E. Taylor, C.W. Meighan, editors

Haller, Mikael.

2004. The Emergence and Development of Chiefly Societies in the Río Parita Valley, Panama. Tesis doctoral sin publicar. Universidad de Pittsburgh.

2008. Asiento Viejo and the Development of the Río Parita Chiefdom, Panama. University of Pittsburgh Memoirs in Latin American Archaeology No. 19, University of Pittsburgh, Pittsburgh.

Haller, Mikael J. y Adam C. J. Menzies

2008. Parita: La Historia y la Continuación del Pueblo Antiguo. En Parita: 450 Años de Cultura y Tradición, pp. 8-11. La Fundación para la Ayuda de Estudiantes Pariteños (FADEPA), Panama.

Helms, M.W

1995 Creations of the Rainbow Serpent: Polychrome Ceramic Designs from Ancient Panama. University of New Mexico Press, Albuquerque.

2000. The Curassow's Crest: Myths and Symbols in the Ceramics of Ancient Panama. University Press of Florida.

Holmes, William H.

1887. The use of gold and other metals among ancient inhabitants of Chiriquí, Isthmus of Darien. Washington, D.C.

1888. Ancient art of the province of Chiriquí. Smithsonian Institution, Bureau of American Ethnology 6th. Annual Report 1884-1885, Government Printing Office, Washington D.C. págs. 13-186.

Isaza, Ilean

1993 Desarrollo Estilístico de la Cerámica Pintada del Panamá Central con Énfasis en el Período 500 a.C.-500 d.C. Tesis de grado, Universidad Autónoma de Guadalajara, México.

2007. The Ancestors of Parita: Precolumbian Settlement Pattern in the Lower La Villa River Valley, Azuero Península, Panamá. Tesis de doctorado sin publicar. Universidad de Boston.

Labbé, Armand.

1995. Guardians of the Life Stream. Shamans, Art and Power in Prehispanic Central Panama. Cultural Arts Press.

Ladd, John

1964 Archaeological investigation in the Parita and Santa María zones of Panama. Smithsonian Institution. Bureau of American Ethnology. Bulletin 193. US Government printing office. Washington.

Lathrap, D. W.

1962 Yarinacocha: Stratigraphic Excavations in the Peruvian Montana. A thesis presented to the Department of Anthropology in partial fulfilment of the requisites for the degree of Doctor of Philosophy in the subject of Anthropology. Harvard University, Cambridge, Massachusetts.

Lewenstein, S., and J. Walker

1984 The Obsidian Chip/Manioc Grating Hypothesis and the Mesoamerican Preclassic. *Journal of New*

World Archaeology 6(2):25-38.

Linares, Olga F.

1980i The ceramic record: time and place. En O.F. Linares, A.J. Ranere, editores *Adaptive Radiations in Prehistoric Panama*, Peabody Museum Monographs 5, Harvard University Press, Cambridge, págs. 81-117.

Linares, Olga F., A.J. Ranere

1971 Human adaptations to the tropical forests of western Panama. *Archaeology* 24(4): 346-355.

1980 Defining the problem. En O.F. Linares, A.J. Ranere, editores, *Adaptive Radiations in Prehistoric Panama*, Peabody Museum Monographs 5, Harvard University Press, Cambridge, págs. 3-6.

Linares, Olga F., P.D. Sheets

1980 Highland agricultural villages in the Volcan Baru region. En O.F. Linares, A.J. Ranere, editores, *Adaptive Radiations in Prehistoric Panama*, Peabody Museum Monographs 5. Harvard University Press, Cambridge, págs. 44-55.

Linares, Olga F., P.D. Sheets, E.J. Rosenthal

1975 Prehistoric agriculture in tropical highlands. *Science* 187: 137-45.

Lothrop, Samuel K.

1934 Archaeological investigation in the province of Coclé, Panamá. *American Journal of Archaeology* 38(2): 207-211.

1937 Coclé: an archaeological study of central Panama, Part 1. *Memoirs of the Peabody Museum of Archaeology and Ethnology* 7.

1942 Coclé: an archaeological study of central Panama, Part 2. *Memoirs of the Peabody Museum of Archaeology and Ethnology*, 8.

1948 The Archaeology of Panama. *Handbook of South American Indians*. vol 4. Smithsonian Institution. Bureau of American Ethnology. 143. pp:143-167.

1976 Pre-Columbian Designs from Panamá. 591 Illustrations of Coclé Pottery. Dover, New York.

Marshall, D. S.

1949 Archaeology of Far Fan Beach, Panamá Canal Zone. *American Antiquity*. Vol. 14. No.2. Pp. 124-132.

Martín, Juan Guillermo

2002 Panamá la Vieja y el Gran Darién. *Revista de Arqueología de Panamá la Vieja*. Patronato Panamá Viejo, Panamá, Agosto. CD-ROM. Pp. 230-250.

Martín, Juan G., Cooke, R. y Bustamante, F.

2009 Exploraciones arqueológicas en la Isla Pedro González, Archipiélago de las Perlas, Panamá: Rescate Arqueológico - Fase I, Informe Final. Documento inédito entregado a la Dirección Nacional del Patrimonio Histórico de Panamá.

Martín, Juan G. y Fernando Bustamante

2011 Excavaciones arqueológicas en la Isla Pedro González, Archipiélago de las Perlas, Panamá: Rescate Arqueológico - Aeropuerto, Informe Final. Documento inédito entregado a la Dirección Nacional del Patrimonio Histórico de Panamá.

Mayo, Julia.

2007. Dossier. Gran Coclé: Paisaje Cultural del Istmo de Panamá. En Revista Española de Antropología Americana. Vol. 37, Número 1. Publicaciones Universidad Complutense de Madrid. Pp. 91-189.

Mayo, Julia y Carlos Mayo

2013 El Descubrimiento de un Cementerio de Elite en El Caño: Indicios de un patrón funerario en el Valle de Río Grande, Coclé, Panamá. En Arqueología Iberoamericana 20: 3-27.

Mendizábal, T.

2004 Panama Viejo: an analysis of the construction of archaeological time in Eastern Panama. Tesis doctoral presentada en el Instituto de Arqueología de Londres, Universidad de Londres. Documento sin publicar.

2011 Informe de Inspección Arqueológica de Artefactos y Sitios Reportados en el Programa de Ampliación del Canal de Panamá. Evaluación Técnica No. 14. Informe inédito presentado a la Autoridad del Canal de Panamá.

2016 Aportes al Análisis de la Ocupación Prehispánica en Panamá Viejo: informe de excavación del proyecto Las Rotondas. En Revista Canto Rodado. Vol. 11. Patronato Panamá Viejo. Pp. 137-151.

Mendizabal, Tomás y Carlos Gómez

2015 Informe Final de Prospección y Rescate Arqueológico-Desarrollo Las Rotondas de Panamá Viejo, Corregimiento de Parque Lefevre Distrito y Provincia de Panamá. Documento inédito.

Menzies, Adam.

2009 Craft Specialization and the Emergence of the Chiefly Central Place Community of HE-4 (El Hatillo), Central Panama. Tesis de doctorado sin publicar. Universidad de Pittsburgh.

Núñez Cortés, Y.

2012 Entre lo Local y lo Regional. La Producción Alfarera en el Archipiélago de las Perlas, Panamá. Un Análisis de los Componentes Cerámicos del sitio PGL-100, Isla Pedro González. Tesis inédita de Licenciatura en Antropología con énfasis en Arqueología. Universidad de Costa Rica, San José.

Pargeter, J. and M.S. Tweedie

2018 Bipolar Reduction and Behavioral Variability During the Mid-Late Holocene at Eagle's Nest, Mount Sinai Harbor, New York. *The Journal of Island and Coastal Archaeology*. 1-20.

Pearson, G. A.

2018 La Industria de Piedras Talladas en Playa Don Bernardo. Informe inédito presentado ante INAC. Panamá.

Perry, L.

2002 Starch Analyses Reveal Multiple Functions of Quartz "Manioc" Grater Flakes from the Orinoco Basin, Venezuela. *Interciencia*, 27:635-639.

2004 Starch Analyses Reveal the Relationship Between Tool Types and Function: An Example from the Orinoco Valley of Venezuela. *Journal of Archaeological Science*, 31:1069-1081.

Piperno, Dolores R.

1991b Paleoecological perspectives on human adaptation in Panama. II. The Holocene. *Geoarchaeology* 6: 227-50.

Piperno, Dolores, K.H. Clary, R.G. Cooke, A. J. Ranere, D. Weiland

1985 Pre-ceramic maize in central Panama. *American Anthropologist* 87: 871-78.

Ranere, Anthony J.

1972a Early Human Adaptations to New World Tropical Forests: the View from Panama. Tesis doctoral, Departamento de Antropología, University of California at Davis.

1980c Stone tools from the río Chiriquí shelters. En O.F. Linares, A.J. Ranere, editores, *Adaptive Radiations in Prehistoric Panama*, Peabody Museum Monographs 5. Harvard University Press, Cambridge, págs. 316-53.

1980d The Río Chiriquí shelters: excavation and interpretation of the deposits. En O.F. Linares, A.J. Ranere, editores, *Adaptive Radiations in Prehistoric Panama*. Peabody Museum Monographs, 5. Harvard University, Cambridge, Mass, págs. 250-266.

1992. Implements of change in the Holocene environments of Panama. En O.R.Ortiz-Troncoso, T. van der Hammen, editores, *Archaeology and Environment in Latin America*, Instituut voor Pre- en Protohistorische Archeologie Albert Egges van Giffen, Universiteit van Amsterdam, Amsterdam, págs. 45-57.

Ranere, Anthony J., R.G. Cooke

1991 Paleo-Indian occupation in the Central American Tropics. En R. Bonnichsen, K.L. Turnmire, editores, *Clovis: Origins and Adaptations*, Center for the Study of the First Americans, Corvallis OR, págs. 237-253.

1995 Evidencias de ocupación humana en Panamá a postrimerías del Pleistoceno y a comienzos del Holoceno. En *Ámbito y Ocupaciones Tempranas de la América Tropical* (Cavelier y S. Mora, editores). Fundación Erigaie/Instituto Colombiano de Antropología, pp:5-26.

1996. "Stone Tools and Cultural Boundaries in Prehistoric Panamá: An Initial Assessment", en *Paths to Central American Prehistory*, editado por Frederick W. Lange, pp. 49-77. Niwot, Colorado: University Press of Colorado.

Romoli, K.

1987 Los de la lengua de Cueva: los grupos indígenas del Istmo Oriental en la época de la conquista española. Instituto Colombiano de Antropología, Instituto Colombiano de Cultura. Ediciones tercer

mundo. Bogotá, Colombia.

Sánchez, Luis Alberto

1995 Análisis Estilístico de Dos Componentes Cerámicos de Cerro Juan Díaz: su Relación con el Surgimiento de las Sociedades Cacicales en Panamá. Práctica dirigida presentada ante la Escuela de Antropología y Sociología para optar al Grado de Licenciado en Antropología con Énfasis en Arqueología. Universidad de Costa Rica, Facultad de Ciencias Sociales, Escuela de Antropología y Sociología.

2007 Reporte tipológico y cronológico de los componentes cerámicos de Cerro Cebollal (LP-134), La Pintada, provincia de Coclé. *Revista Española de Antropología Americana*, vol. 37, núm. 1, 159-178.

Sander, Dan

1964. Lithic material from Panama – fluted points from Madden Lake. *Actas y Memorias de 35 Congreso Internacional de Americanistas, México, 1962* 1: 183-193.

1965. The circular problematics of the Azuero Peninsula. *Panama Archaeologist* 6: 1-5.

Snarskis, Michael J.

1984. Central America: the Lower Caribbean. En F. W. Lange, D.Z. Stone, editores, *The Archaeology of Lower Central America*, University of New Mexico Press, Albuquerque, págs. 195-232.

Stirling, Marion

Sin Fecha Notas de campo de la temporada de investigación de 1951. Documento mecanoscrito sin publicar, entregado a la colección de John Griggs.

Stirling, Matthew W.

1952 Exploring Panama's unknown north coast. *Royal Canadian Institute, Proceedings*, 29-30.

1953 Hunting prehistory in Panama jungles. *National Geographic Magazine*, Vol. 104 (2):271-290.

Stirling, Matthew W., M. Stirling

1964 The Archaeology of Taboga, Urabá and Taboguilla Islands, Panamá. *Anthropological Papers*, No. 73. Bureau of American Ethnology Bulletin. Smithsonian Institution.

Valerio Lobo, W.

1985 Investigaciones Preliminares en Dos Abrigos Rocosos en la Región Central de Panamá. *Vínculos* 11:17-29.

Williams, A.R.

2012 Los Señores Dorados de Panamá. *National Geographic en español*. Vol. 30, Num. 1. Enero. Pp. 30-45.

Cooke R. y Martín J.G.

2010 Diversidad cultural y biológica del archipiélago de Las Perlas en el periodo precolombino. Inventario preliminar e interpretación de los recursos arqueológicos y paleobiológicos y su divulgación para fortalecer el turismo. Informe inédito remitido a la SENACYT. Panamá.

Apéndices

1.15 Apéndice 1: Inventario de los materiales arqueológicos del sitio Pn-50

INVENTARIO DE BOLSAS CON MATERIALES NO-DIAGNOSTICOS									
Bolsa	Unidad	Estrato	Nivel	Prof.	Rasgo	Fecha	Nº de Muestras	Materia Prima	Procedencia Adicional
4	PP 1	2	N/A	9-40 cmbs	N/A	30/07/2018	33	Cerámica	
5	PP 1	3	N/A	40-48 cmbs	N/A	30/07/2018	23	Cerámica	
15	PP 2	3	N/A	21-46 cmbs	N/A	02/08/2018	18	Cerámica	
16	PP 2	N/A	N/A	21-59 cmbs	Rasgo 9	02/08/2018	22	Cerámica	
6	PP 3	2	N/A	8-25 cmbs	N/A	30/07/2018	44	Cerámica	
11	PP 4	1	N/A	0-12 cmbs	N/A	30/07/2018	43	Cerámica	
12	PP 4	2	N/A	12-41 cmbs	N/A	30/07/2018	160	Cerámica	
13	PP 4	3	N/A	41-54 cmbs	N/A	30/07/2018	6	Cerámica	
1	PP 5	1	N/A	0-90 cmbs	N/A	29/07/2018	416	Cerámica	
2	PP 5	1	N/A	0-90 cmbs	N/A	29/07/2018	35	Cerámica	
7	PP 6	1	N/A	0-8 cmbs	N/A	30/07/2018	18	Cerámica	
8	PP 6	2	N/A	8-37 cmbs	N/A	30/07/2018	66	Cerámica	
9	PP 6	3	N/A	37-47 cmbs	N/A	30/07/2018	7	Cerámica	
10	PP 6	4	N/A	47-54 cmbs	N/A	30/07/2018	86	Cerámica	
3	PP 7	1	N/A	0-48 cmbs	N/A	29/07/2018	144	Cerámica	
14	PP 8	1	N/A	0-13 cmbs	N/A	01/08/2018	17	Cerámica	
33	PP 9	1-2	N/A	0-37 cmbs	N/A	27/07/2018	443	Cerámica	
25	PP 10	N/A	N/A	0-55 cmbs	N/A	01/08/2018	612	Cerámica	
28	PP 11	1	N/A	0-41 cmbs	N/A	27/07/2018	606	Cerámica	
29	PP 11	2	N/A	41-58 cmbs	N/A	27/07/2018	23	Cerámica	
30	PP 11	N/A	N/A	N/A	Rasgo 1	27/07/2018	5	Cerámica	
31	PP 11	N/A	N/A	N/A	Rasgo 1	27/07/2018	27	Cerámica	Limpieza de perfil norte
32	PP 11	N/A	N/A	N/A	Rasgo 1	27/07/2018	4	Cerámica	Limpieza de perfil oeste
26	PP 12	1	N/A	0-40 cmbs	N/A	27/07/2018	394	Cerámica	
27	PP 12	2	N/A	40-65 cmbs	N/A	27/07/2018	42	Cerámica	
34	PP 13	1	N/A	0-22 cmbs	N/A	31/07/2018	20	Cerámica	
22	PP 14	1-2	N/A	0-40 cmbs	N/A	27/07/2018	561	Cerámica	
23	PP 14	1-2	N/A	0-40 cmbs	N/A	27/07/2018	348	Cerámica	

INVENTARIO DE BOLSAS CON MATERIALES NO-DIAGNOSTICOS

Bolsa	Unidad	Estrato	Nivel	Prof.	Rasgo	Fecha	Nº de Muestras	Materia Prima	Procedencia Adicional
24	PP 14	3	N/A	40-57 cmbd	N/A	27/07/2018	65	Cerámica	
35	UE 1	1	1	16-39 cmbd	N/A	28/07/2018	398	Cerámica	
36	UE 1	1	2	26-49 cmbd	N/A	28/07/2018	223	Cerámica	
37	UE 1	1	3	36-59 cmbd	N/A	28/07/2018	196	Cerámica	
38	UE 1	N/A	N/A	N/A	Rasgo 2 (Sondeo)	28/07/2018	25	Cerámica	
39	UE 1	N/A	N/A	N/A	Rasgo 2	28/07/2018	16	Cerámica	
40	UE 1	N/A	N/A	N/A	Rasgo 3	28/07/2018	45	Cerámica	
41	UE 1	N/A	N/A	N/A	Rasgo 4 (Sondeo)	28/07/2018	13	Cerámica	
42	UE 1	N/A	N/A	N/A	N/A	28/07/2018	21	Cerámica	Limpieza de perfiles Oeste y Sur
43	UE 2	1	1-2	15-46 cmbd	N/A	31/07/2018	372	Cerámica	
44	UE 2	1	1-2	15-46 cmbd	N/A	31/07/2018	877	Cerámica	
45	UE 2	1	1-2	15-46 cmbd	N/A	31/07/2018	326	Cerámica	
46	UE 2	1	3	35-53 cmbd	N/A	31/07/2018	185	Cerámica	
47	UE 2	1	3	35-53 cmbd	N/A	31/07/2018	453	Cerámica	
48	UE 2	2	4	38-59 cmbd	N/A	31/07/2018	236	Cerámica	
49	UE 2	2	4	38-59 cmbd	N/A	31/07/2018	295	Cerámica	
50	UE 2	2	4	38-59 cmbd	N/A	31/07/2018	546	Cerámica	
51	UE 2	3	5	52-69 cmbd	N/A	31/07/2018	5	Cerámica	
52	UE 2	N/A	N/A	N/A	N/A	31/07/2018	35	Cerámica	Limpieza de perfiles Norte, Sur, y Este
53	UE 3	1	1	15-25 cmbd	N/A	02/08/2018	42	Cerámica	
54	UE 3	1	2	25-35 cmbd	N/A	02/08/2018	284	Cerámica	
55	UE 3	1	3	35-45 cmbd	N/A	02/08/2018	210	Cerámica	
56	UE 3	3	4	43-48 cmbd	N/A	04/08/2018	28	Cerámica	
57	UE 3	3	5	48-53 cmbd	N/A	04/08/2018	28	Cerámica	
58	UE 3	3	6	53-58 cmbd	N/A	04/08/2018	35	Cerámica	
59	UE 3	3	4	43-48 cmbd	Rasgo 8	04/08/2018	20	Cerámica	
60	UE 3	3	5	48-53 cmbd	Rasgo 8	04/08/2018	49	Cerámica	
61	UE 3	3	6	53-58 cmbd	Rasgo 8	04/08/2018	76	Cerámica	
62	UE 4	2	3	33-43 cmbd	N/A	03/08/2018	399	Cerámica	
63	UE 4	2	3	33-43 cmbd	N/A	03/08/2018	826	Cerámica	

INVENTARIO DE BOLSAS CON MATERIALES NO-DIAGNOSTICOS

Bolsa	Unidad	Estrato	Nivel	Prof.	Rasgo	Fecha	N° de Muestras	Materia Prima	Procedencia Adicional
64	UE 4	3	4	43-48 cmbd	N/A	04/08/2018	75	Cerámica	
65	UE 4	3	5	48-53 cmbd	N/A	04/08/2018	91	Cerámica	
66	UE 4	3	6	53-58 cmbd	N/A	04/08/2018	99	Cerámica	
67	UE 4	3	4	43-48 cmbd	Rasgo 12	04/08/2018	9	Cerámica	
68	UE 4	3	5	48-53 cmbd	Rasgo 12	04/08/2018	21	Cerámica	
69	UE 4	3	6	53-58 cmbd	Rasgo 12	04/08/2018	16	Cerámica	
70	UE 5	2	3	33-43 cmbd	N/A	03/08/2018	526	Cerámica	
71	UE 5	3	4	48-53 cmbd	N/A	04/08/2018	1	Cerámica	
72	UE 5	3	5	48-53 cmbd	N/A	04/08/2018	2	Cerámica	
73	UE 5	3	6	53-58 cmbd	N/A	04/08/2018	6	Cerámica	
74	UE 6	2	3	33-43 cmbd	N/A	03/08/2018	494	Cerámica	
75	UE 6	3	4	43-48 cmbd	N/A	04/08/2018	28	Cerámica	
76	UE 6	3	5	48-53 cmbd	N/A	04/08/2018	12	Cerámica	
77	UE 6	3	6	53-58 cmbd	N/A	04/08/2018	52	Cerámica	
78	UE 6	3	4	43-48 cmbd	Rasgo 13	04/08/2018	3	Cerámica	
79	UE 6	3	5	48-53 cmbd	Rasgo 13	04/08/2018	10	Cerámica	
80	UE 6	3	6	53-58 cmbd	Rasgo 13	04/08/2018	9	Cerámica	
81	UE 7	1	1	13-17 cmbd	N/A	02/08/2018	36	Cerámica	
82	UE 7	N/A	N/A	N/A	Rasgo 7	02/08/2018	2	Cerámica	
17	UE 8	N/A	N/A	39-80 cmbd	Rasgo 9	05/08/2018	84	Cerámica	
18	UE 9	3	1	30-48 cmbd	N/A	06/08/2018	177	Cerámica	
19	UE 9	4	2	42-54 cmbd	N/A	06/08/2018	75	Cerámica	
20	UE 9	4	4	53-68 cmbd	N/A	06/08/2018	54	Cerámica	
21	UE 9	4	5	68-78 cmbd	N/A	06/08/2018	1	Cerámica	
						Total	12435		

INVENTARIO DE BOLSAS CON MATERIALES DIAGNOSTICOS

Bolsa	Unidad	Estrato	Nivel	Prof.	Rasgo	Fecha	N° de Muestras	Materia Prima	Procedencia Adicional
71	N/A	N/A	N/A	N/A	N/A	27/07/2018	1	Cerámica	Hallazgo aislado que fue sustraído del perfil de un talud de tierra al costado de la casa del Sr. Florentino ubicada a 17.39 m @ 102° de ST 6 (de la prospección del 2017)
4	PP 1	2	N/A	9-40 cmbs	N/A	30/07/2018	4	Cerámica	
5	PP 1	3	N/A	40-48 cmbs	N/A	30/07/2018	4	Cerámica	
13	PP 2	3	N/A	21-46 cmbs	N/A	02/08/2018	1	Cerámica	
14	PP 2	N/A	N/A	21-59 cmbs	Rasgo 9	02/08/2018	1	Cerámica	
6	PP 3	2	N/A	8-25 cmbs	N/A	30/07/2018	4	Cerámica	
11	PP 4	2	N/A	12-41 cmbs	N/A	30/07/2018	4	Cerámica	
1	PP 5	1	N/A	0-90 cmbs	N/A	27/07/2018	18	Cerámica	
7	PP 6	1	N/A	0-8 cmbs	N/A	30/07/2018	1	Cerámica	
8	PP 6	2	N/A	8-37 cmbs	N/A	30/07/2018	7	Cerámica	
9	PP 6	3	N/A	37-47 cmbs	N/A	30/07/2018	4	Cerámica	
10	PP 6	4	N/A	47-54 cmbs	N/A	30/07/2018	4	Cerámica	
3	PP 7	1	N/A	0-48 cmbs	N/A	27/07/2018	6	Cerámica	
12	PP 8	1	N/A	0-13 cmbs	N/A	01/08/2018	2	Cerámica	
29	PP 9	1-2	N/A	0-37 cmbs	N/A	27/07/2018	39	Cerámica	
21	PP 10	N/A	N/A	0-55 cmbs	N/A	01/08/2018	25	Cerámica	
24	PP 11	1	N/A	0-41 cmbs	N/A	27/07/2018	33	Cerámica	
26	PP 11	2	N/A	41-58 cmbs	N/A	27/07/2018	1	Cerámica	
22	PP 12	1	N/A	0-40 cmbs	N/A	27/07/2018	31	Cerámica	
23	PP 12	2	N/A	40-65 cmbs	N/A	27/07/2018	2	Cerámica	
31	PP 13	1	N/A	0-22 cmbs	N/A	31/07/2018	3	Cerámica	
19	PP 14	1-2	N/A	0-40 cmbs	N/A	27/07/2018	85	Cerámica	
20	PP 14	3	N/A	40-57 cmbs	N/A	27/07/2018	6	Cerámica	

INVENTARIO DE BOLSAS CON MATERIALES DIAGNOSTICOS

Bolsa	Unidad	Estrato	Nivel	Prof.	Rasgo	Fecha	N° de Muestras	Materia Prima	Procedencia Adicional
32	UE 1	1	1	16-36 cmb d	N/A	28/07/2018	32	Cerámica	
33	UE 1	1	2	26-49 cmb d	N/A	28/07/2018	13	Cerámica	
34	UE 1	1	3	36-59 cmb d	N/A	28/07/2018	13	Cerámica	
35	UE 1	N/A	N/A	N/A	Rasgo 2 (Sondeo)	28/07/2018	2	Cerámica	
36	UE 1	N/A	N/A	N/A	Rasgo 3	28/07/2018	5	Cerámica	
37	UE 1	N/A	N/A	N/A	Rasgo 4 (Sondeo)	28/07/2018	2	Cerámica	
38	UE 2	1	1-2	15-46 cmb d	N/A	31/07/2018	129	Cerámica	
39	UE 2	1	3	35-53 cmb d	N/A	31/07/2018	47	Cerámica	
40	UE 2	2	4	38-59 cmb d	N/A	31/07/2018	81	Cerámica	
70	UE 2	1	3	35-53 cmb d	N/A	31/07/2018	1	Cerámica	
41	UE 3	1	1	15-25 cmb d	N/A	02/08/2018	3	Cerámica	
44	UE 3	1	2	25-35 cmb d	N/A	02/08/2018	17	Cerámica	
46	UE 3	1	3	35-45 cmb d	N/A	02/08/2018	18	Cerámica	
47	UE 3	3	4	43-48 cmb d	N/A	04/08/2018	4	Cerámica	
48	UE 3	3	5	48-53 cmb d	N/A	04/08/2018	4	Cerámica	
49	UE 3	3	6	53-58 cmb d	N/A	04/08/2018	6	Cerámica	
50	UE 3	3	4	43-48 cmb d	Rasgo 8	04/08/2018	2	Cerámica	
51	UE 3	3	5	48-53 cmb d	Rasgo 8	04/08/2018	6	Cerámica	

INVENTARIO DE BOLSAS CON MATERIALES DIAGNOSTICOS

Bolsa	Unidad	Estrato	Nivel	Prof.	Rasgo	Fecha	N° de Muestras	Materia Prima	Procedencia Adicional
52	UE 3	3	6	53-58 cmb d	Rasgo 8	04/08/2018	4	Cerámica	
53	UE 4	2	3	33-43 cmb d	N/A	03/08/2018	106	Cerámica	
54	UE 4	3	4	43-48 cmb d	N/A	04/08/2018	6	Cerámica	
55	UE 4	3	5	48-53 cmb d	N/A	04/08/2018	7	Cerámica	
56	UE 4	3	6	53-58 cmb d	N/A	04/08/2018	9	Cerámica	
57	UE 4	3	4	43-48 cmb d	Rasgo 12	04/08/2018	5	Cerámica	
58	UE 4	3	5	48-53 cmb d	Rasgo 12	04/08/2018	1	Cerámica	
59	UE 4	3	6	53-58 cmb d	Rasgo 12	04/08/2018	1	Cerámica	
60	UE 5	2	3	33-43 cmb d	N/A	03/08/2018	39	Cerámica	
61	UE 5	3	5	48-53 cmb d	N/A	04/08/2018	1	Cerámica	
62	UE 6	2	3	33-43 cmb d	N/A	03/08/2018	55	Cerámica	
63	UE 6	3	4	43-48 cmb d	N/A	04/08/2018	3	Cerámica	
64	UE 6	3	5	48-53 cmb d	N/A	04/08/2018	2	Cerámica	
65	UE 6	3	6	53-58 cmb d	N/A	04/08/2018	2	Cerámica	
66	UE 6	3	5	48-53 cmb d	Rasgo 13	04/08/2018	2	Cerámica	
67	UE 6	3	6	53-58 cmb d	Rasgo 13	04/08/2018	1	Cerámica	
68	UE 7	1	1	13-17 cmb d	N/A	02/08/2018	5	Cerámica	
15	UE 8	N/A	N/A	39-80 cmb	Rasgo 9	05/08/2018	4	Cerámica	

INVENTARIO DE BOLSAS CON MATERIALES DIAGNOSTICOS									
Bolsa	Unidad	Estrato	Nivel	Prof.	Rasgo	Fecha	N° de Muestras	Materia Prima	Procedencia Adicional
				d					
16	UE 9	3	1	30-48 cmbd	N/A	06/08/2018	11	Cerámica	
17	UE 9	4	2	42-54 cmbd	N/A	06/08/2018	5	Cerámica	
18	UE 9	4	4	53-68 cmbd	N/A	06/08/2018	2	Cerámica	
43	UE 3	1	1	15-25 cmbd	N/A	02/08/2018	1	Cobre	
25	PP 11	1	N/A	0-41 cmbs	N/A	27/07/2018	1	Concha	
45	UE 3	1	2	25-35 cmbd	N/A	02/08/2018	1	Concha	
27	PP 11	N/A	N/A	N/A	Rasgo 1	27/07/2018	2	Hierro	
30	PP 9	1-2	N/A	0-37 cmbs	N/A	27/07/2018	1	Hierro	
42	UE 3	1	1	15-25 cmbd	N/A	02/08/2018	1	Hierro	
2	PP 5	1	N/A	0-90 cmbs	N/A	27/07/2018	1	Hueso	
28	PP 11	N/A	N/A	N/A	Rasgo 1	27/07/2018	1	Lítica?	Limpieza de perfil norte
69	UE 7	1	1	13-17 cmbd	N/A	02/08/2018	5	Vidrio	
						Total	951		

1.16 Anexo 2 Inventarios de Materiales Líticos

Artefactos líticos adicionales fueron encontrados al final de este análisis. Solo una punta trifacial y un fragmento de hacha fueron significativos. La mayoría parecía ser fragmentos de materia prima y desechos de talla. Aquí presento una lista de los artefactos con descripciones breves hechas a partir de fotos.

Bolsa	Año	Unidad	Localidad	Tipo	Material	Observaciones
FS001	2018	558-500	Capilla	Piedra de Fogón		
FS001	2018	558-500	Capilla	Piedra de Fogón		
FS001	2018	558-500	Capilla	Piedra de Fogón		
FS053	2018		Terraza	Lasca	Indeterminado	
FS053	2018		Terraza	Lasca	Indeterminado	
FS009	2018	549-510	Capilla	Frag. Nucleo	Indeterminado	Canto
FS009	2018	549-510	Capilla	Frag. Hacha	Basalto	Parte proximal
FS092	2018			Lasca	Jaspe Rojo	
FS131	2018	TU8	Terraza	Lasca	Jaspe Rojo	
FS051	2018	472-403	Terraza	Lasca	Jaspe Amarillo	
FS051	2018	472-403	Terraza	Lasca	Indeterminado	
FS110	2018		Capilla	Piedra de Fogón		
FS109	2018	TU3	Capilla	Piedra de Fogón		
FS016	2018	539-510	Capilla	Lasca	Basalto	
FS016	2018	539-510	Capilla	Lasca	Arcillosa	
FS016	2018	539-510	Capilla	Lasca	Arcillosa	bifacial?
FS031	2018	TU1	Capilla	Lasca	Basalto?	
FS097	2018		Capilla	Lasca	Basalto?	
FS024	2018	529-510	Capilla	Lasca	Arcillosa	
FS024	2018	529-510	Capilla	Lasca	Basalto	
FS024	2018	529-510	Capilla	Lasca	Jaspe Amarillo	
FS024	2018	529-510	Capilla	Lasca	Jaspe Amarillo	
	2018	559-500	Capilla	Lasca	jaspe?	Nivel 0-40 cm bs
FS086	2018	TU3	Capilla	Punta trifacial	Jaspe Amarillo	Parte medio-prox
FS055	2018			Lasca	Arcillosa	
FS055	2018			Material Lítico	Jaspe Rojo	
FS064	2018	TU2	Capilla	Lasca	Basalto	
FS064	2018	TU2	Capilla	Lasca	Basalto	
FS096	2018	TU4	Capilla	Lasca	Arcillosa	
FS096	2018	TU4	Capilla	Lasca	Basalto	
FS096	2018	TU4	Capilla	Lasca	Arcillosa	
FS101	2018			Lasca	Arcillosa	
FS101	2018			Piedra de Fogón		
FS101	2018			Piedra de Fogón		



Punta trifacial
Fotos
Christian
Gonzalez

1.17 Apéndice 3. Inventario de Materiales Líticos Analizados

Bolsa	Año	Unidad	Localidad	Nivel	Tipo	Material	Largo	Ancho	Espesor	L. Ped	A. Ped	E. Ped
95	2017	ST1	terrazza	S1	lasca de hacha ret	basalto	30.59	30.75	8.54			
96	2017	P1	terrazza	N2	Pieza ret	jaspe ro						
96	2017	P1	terrazza	N2	punta ancho	jaspe am				13.76	16.78	4.47
97	2017	STP2	terrazza	S2	pulidor	lgneo						
97	2017	STP2	terrazza	S2	pulidor	lgneo						
98	2017	STP2	terrazza	S2	lasca	jaspe ro						
99	2017	STP2	terrazza	N3	lasca	arci						
100	2017	P6	iglesia	N1	mano	lgneo	69.29	30.11	21.59			
101	2017	P6	iglesia	N1	punta ango	jaspe am	30.28	18.01	4.96	7.61	8.25	3.6
102	2017	P6	iglesia	N2	frag. punta	jaspe ro						
103	2017	P7	iglesia	N1	lasca hacha	basalto						
104	2017	P8	iglesia	N2	lasca	arci						
105	2017	P8	iglesia	N3	lasca uti.	jaspe ro	44.08	19.84	8.46			
106	2017	P9	escuela	N1	rasp. conc.	jaspe am						
107	2017	P9	escuela	N1	lasca	basalto						
107	2017	P9	escuela	N1	lasca	jaspe am						
108	2017	P9	escuela	N1	frag. punta	jaspe ro	33.91	19.79	6.66			
108	2017	P9	escuela	N1	Pieza ret	arci						
108	2017	P9	escuela	N1	Pieza ret	jaspe am	41.17	20.26	6.53			
109	2017	P9	escuela	N2	lasca	arci						
110	2017	P9	escuela	N2	p trifacial	jaspe am	54.53	18.29	14.68	14.52	11.14	7.46
FS001	2018	558-500	iglesia	0-40	hacha	basalto						
FS001	2018	558-500	iglesia	0-40	lasca	jaspe ro						
FS002	2018	558-500	iglesia	0-40	lasca	jaspe am						
FS002	2018	558-500	iglesia	0-40	mano	lgneo	91.53	43.15	37.71			
FS003	2018	558-500	iglesia	0-40	frag. punta	ind						
FS003	2018	558-500	iglesia	0-40	frag. punta	jaspe am						
FS003	2018	558-500	iglesia	0-40	lasca	basalto						
FS003	2018	558-500	iglesia	0-40	lasca	basalto						
FS003	2018	558-500	iglesia	0-40	lasca	basalto						
FS003	2018	558-500	iglesia	0-40	lasca	basalto						
FS003	2018	558-500	iglesia	0-40	lasca	ind						
FS003	2018	558-500	iglesia	0-40	lasca	arci						
FS003	2018	558-500	iglesia	0-40	lasca	jaspe ro						
FS003	2018	558-500	iglesia	0-40	lasca hacha	basalto						
FS003	2018	558-500	iglesia	0-40	lasca hacha	basalto	16.47	17.21	2.38			

Bolsa	Año	Unidad	Localidad	Nivel	Tipo	Material	Largo	Ancho	Espesor	L. Ped	A. Ped	E. Ped
FS003	2018	558-500	iglesia	0-40	lasca hacha	basalto	9.31	12.46	1.8			
FS003	2018	558-500	iglesia	0-40	Pieza ret	jaspe ama/cho						
FS003	2018	558-500	iglesia	0-40	punta ancho	jaspe am				16.12	17.31	7.24
FS004	2018	558-500	iglesia	0-40	lasca	basalto						
FS004	2018	558-500	iglesia	0-40	lasca	basalto						
FS004	2018	558-500	iglesia	0-40	lasca	basalto						
FS004	2018	558-500	iglesia	0-40	lasca	basalto						
FS004	2018	558-500	iglesia	0-40	lasca	lgneo						
FS004	2018	558-500	iglesia	0-40	lasca	lgneo						
FS004	2018	558-500	iglesia	0-40	lasca	arci						
FS004	2018	558-500	iglesia	0-40	lasca	jaspe am						
FS004	2018	558-500	iglesia	0-40	lasca hacha	basalto	8.46	12.24	1.76			
FS004	2018	558-500	iglesia	0-40	Pieza ret	jaspe ro						
FS004	2018	558-500	iglesia	0-40	punta ango	jaspe am				7.07	6.36	2.94
FS005	2018	558-500	iglesia	0-40	lasca	basalto						
FS005	2018	558-500	iglesia	0-40	lasca	arci						
FS005	2018	558-500	iglesia	0-40	lasca	arci						
FS005	2018	558-500	iglesia	0-40	lasca	arci						
FS005	2018	558-500	iglesia	0-40	lasca	arci						
FS005	2018	558-500	iglesia	0-40	lasca	cuarcita						
FS005	2018	558-500	iglesia	0-40	lasca	jaspe ro						
FS005	2018	558-500	iglesia	0-40	lasca	jaspe ro						
FS005	2018	558-500	iglesia	0-40	lasca hacha	basalto	9.47	13.59	1.81			
FS005	2018	558-500	iglesia	0-40	microlito	jaspe ro	16.42	9.97	3.37			
FS007	2018	558-500	iglesia	40-57	lasca	cal. ama						
FS009	2018	549-510	iglesia	0-40	lasca uti.	jaspe ama/cho		30.81	11.84			
FS009	2018	549-510	iglesia	0-40	microlito	jaspe ro						
FS010	2018	549-510	iglesia	0-40	mano	lgneo	124.75	54.59	29.65			
FS010	2018	549-510	iglesia	0-40	percutor	lgneo						
FS011	2018	549-510	iglesia	0-40	lasca	cal. azu/gris						
FS013	2018	549-510	iglesia	0-40	lasca	basalto						
FS013	2018	549-510	iglesia	0-40	lasca	jaspe ro						
FS013	2018	549-510	iglesia	0-40	punta ancho	cuarcita	34.84	31	5.61	4.58	24.74	5.9
FS016	2018	539-510	iglesia	0-41	lasca	cuarcita						
FS016	2018	539-510	iglesia	0-41	mat. lit.	cryst cz						
FS016	2018	539-510	iglesia	0-41	mat. lit.	jaspe ro						
FS017	2018	539-510	iglesia	0-41	hacha	basalto	63.76	37.76	13.22			
FS017	2018	539-510	iglesia	0-41	lasca	basalto						

Bolsa	Año	Unidad	Localidad	Nivel	Tipo	Material	Largo	Ancho	Espesor	L. Ped	A. Ped	E. Ped
FS017	2018	539-510	iglesia	0-41	lasca	jaspe am						
FS018	2018	539-510	iglesia	0-41	lasca	jaspe cho						
FS018	2018	539-510	iglesia	0-41	lasca	arci						
FS018	2018	539-510	iglesia	0-41	lasca	arci						
FS018	2018	539-510	iglesia	0-41	lasca	arci						
FS018	2018	539-510	iglesia	0-41	lasca	cal. tach						
FS018	2018	539-510	iglesia	0-41	lasca	cuarcita						
FS018	2018	539-510	iglesia	0-41	lasca	jaspe ro						
FS018	2018	539-510	iglesia	0-41	lasca	jaspe ro						
FS018	2018	539-510	iglesia	0-41	lasca hacha	basalto						
FS018	2018	539-510	iglesia	0-41	lasca hacha	basalto	20.3	17.21	3.43			
FS018	2018	539-510	iglesia	0-41	punta ancho	jaspe ro				5.2	16.4	7.12
FS019	2018	539-510	iglesia	0-41	lasca	basalto						
FS019	2018	539-510	iglesia	0-41	lasca	Ígneo						
FS019	2018	539-510	iglesia	0-41	lasca	ind						
FS019	2018	539-510	iglesia	0-41	lasca	ind						
FS019	2018	539-510	iglesia	0-41	lasca	arci						
FS019	2018	539-510	iglesia	0-41	lasca	jaspe am						
FS019	2018	539-510	iglesia	0-41	lasca hacha	basalto	12.65	17.27	1.99			
FS020	2018	539-510	iglesia	41-58	mat. lit.	jaspe am	27.71	19.37	13.98			
FS022	2018	539-510	iglesia	F1	frag. núcleo	jaspe ro						
FS022	2018	539-510	iglesia	F1	lasca	jaspe ro						
FS023	2018	539-510	iglesia	WALL	lasca	arci						
FS024	2018	529-510	iglesia	0-37	lasca hacha	basalto	31.96	13.91	3.48			
FS024	2018	529-510	iglesia	0-37	lasca hacha	basalto	18.96	22.02	2.45			
FS024	2018	529-510	iglesia	0-37	piedra fogon							
FS025	2018	529-510	iglesia	0-37	cuchillo	Ígneo	168	62.26	28.38			
FS025	2018	529-510	iglesia	0-37	metate	Ígneo	212	111.81	47.41			
FS026	2018	529-510	iglesia	0-37	frag. núcleo	jaspe ros						
FS026	2018	529-510	iglesia	0-37	frag. núcleo	cal. ama						
FS026	2018	529-510	iglesia	0-37	hacha	basalto						
FS026	2018	529-510	iglesia	0-37	lasca	arci						
FS026	2018	529-510	iglesia	0-37	lasca	arci						
FS026	2018	529-510	iglesia	0-37	lasca	arci						
FS026	2018	529-510	iglesia	0-37	lasca	cuarcita						
FS026	2018	529-510	iglesia	0-37	lasca	cuarcita						
FS026	2018	529-510	iglesia	0-37	lasca canto	Ígneo	27.91	37.53	7.72			
FS026	2018	529-510	iglesia	0-37	percutor	Ígneo	70.09	40.47	26.24			
FS026	2018	529-510	iglesia	0-37	Pieza ret	arci						
FS028	2018	TU1	iglesia	16-39	frag. núcleo	cuarcita						

Bolsa	Año	Unidad	Localidad	Nivel	Tipo	Material	Largo	Ancho	Espesor	L. Ped	A. Ped	E. Ped
FS028	2018	TU1	iglesia	16-39	lasca	basalto						
FS028	2018	TU1	iglesia	16-39	lasca	basalto						
FS028	2018	TU1	iglesia	16-39	lasca	basalto						
FS028	2018	TU1	iglesia	16-39	lasca	BGCHAL						
FS028	2018	TU1	iglesia	16-39	lasca	Ígneo						
FS028	2018	TU1	iglesia	16-39	lasca	arci						
FS028	2018	TU1	iglesia	16-39	lasca	arci						
FS028	2018	TU1	iglesia	16-39	lasca	cuarcita						
FS028	2018	TU1	iglesia	16-39	lasca	cuarcita						
FS028	2018	TU1	iglesia	16-39	lasca	jaspe ro						
FS028	2018	TU1	iglesia	16-39	lasca	jaspe ro						
FS028	2018	TU1	iglesia	16-39	lasca	jaspe ro						
FS028	2018	TU1	iglesia	16-39	lasca	jaspe am						
FS028	2018	TU1	iglesia	16-39	lasca	jaspe am						
FS028	2018	TU1	iglesia	16-39	lasca	jaspe am						
FS028	2018	TU1	iglesia	16-39	lasca hacha	basalto						
FS028	2018	TU1	iglesia	16-39	lasca hacha	basalto						
FS028	2018	TU1	iglesia	16-39	Pieza ret	basalto	24.94	23.38	10.18			
FS028	2018	TU1	iglesia	16-39	Pieza ret	jaspe ro						
FS028	2018	TU1	iglesia	16-39	punta ango	jaspe am	37.13	17.69	8.1	7.16	10.04	5.97
FS030	2018	TU1	iglesia	16-39	lasca	basalto						
FS030	2018	TU1	iglesia	16-39	lasca	basalto						
FS030	2018	TU1	iglesia	16-39	lasca	basalto						
FS030	2018	TU1	iglesia	16-39	lasca	jaspe cho						
FS030	2018	TU1	iglesia	16-39	lasca	chert gris						
FS030	2018	TU1	iglesia	16-39	lasca	lgneo						
FS030	2018	TU1	iglesia	16-39	lasca	lgneo						
FS030	2018	TU1	iglesia	16-39	lasca	ind						
FS030	2018	TU1	iglesia	16-39	lasca	ind						
FS030	2018	TU1	iglesia	16-39	lasca	ind						
FS030	2018	TU1	iglesia	16-39	lasca	ind						
FS030	2018	TU1	iglesia	16-39	lasca	arci						
FS030	2018	TU1	iglesia	16-39	lasca	arci						
FS030	2018	TU1	iglesia	16-39	lasca	cuarcita						
FS030	2018	TU1	iglesia	16-39	lasca	jaspe am						
FS030	2018	TU1	iglesia	16-39	lasca	jaspe am						
FS030	2018	TU1	iglesia	16-39	lasca hacha	basalto	14.31	8.91	1.2			
FS030	2018	TU1	iglesia	16-39	lasca uti.	jaspe am	13.65	15.26	2.83			
FS031	2018	TU1	iglesia	26-49	lasca canto	cal gris						
FS032	2018	TU1	iglesia	26-49	lasca	basalto						

Bolsa	Año	Unidad	Localidad	Nivel	Tipo	Material	Largo	Ancho	Espesor	L. Ped	A. Ped	E. Ped
FS032	2018	TU1	iglesia	26-49	lasca	basalto						
FS032	2018	TU1	iglesia	26-49	lasca	basalto						
FS032	2018	TU1	iglesia	26-49	lasca	basalto						
FS032	2018	TU1	iglesia	26-49	lasca	basalto						
FS032	2018	TU1	iglesia	26-49	lasca	cal azu/gris						
FS032	2018	TU1	iglesia	26-49	lasca	lgneo						
FS032	2018	TU1	iglesia	26-49	lasca	arci						
FS032	2018	TU1	iglesia	26-49	lasca	arci						
FS032	2018	TU1	iglesia	26-49	lasca	arci						
FS032	2018	TU1	iglesia	26-49	lasca	arci						
FS032	2018	TU1	iglesia	26-49	lasca	arci						
FS032	2018	TU1	iglesia	26-49	lasca	arci						
FS032	2018	TU1	iglesia	26-49	lasca	arci						
FS032	2018	TU1	iglesia	26-49	lasca	arci						
FS032	2018	TU1	iglesia	26-49	lasca	jaspe ro						
FS032	2018	TU1	iglesia	26-49	lasca	jaspe ro						
FS032	2018	TU1	iglesia	26-49	lasca	jaspe ro						
FS032	2018	TU1	iglesia	26-49	lasca hacha	basalto						
FS032	2018	TU1	iglesia	26-49	lasca hacha	basalto						
FS032	2018	TU1	iglesia	26-49	lasca hacha	basalto						
FS032	2018	TU1	iglesia	26-49	lasca hacha	basalto						
FS032	2018	TU1	iglesia	26-49	lasca hacha	basalto						
FS032	2018	TU1	iglesia	26-49	Pieza ret	arci						
FS033	2018	TU1	iglesia	26-49	yunque	lgneo						
FS034	2018	TU1	iglesia	36-59	mano	lgneo	76.3	23.23	18.48			
FS036	2018	TU1	iglesia	36-59	lasca	basalto						
FS038	2018	TU1	iglesia	F2	lasca hacha	basalto						
FS039	2018	TU1	iglesia	W WALL	lasca	arci						
FS040	2018	TU1	iglesia	F3	lasca	basalto						
FS040	2018	TU1	iglesia	F3	lasca	arci						
FS040	2018	TU1	iglesia	F3	Pieza ret	jaspe am						
FS041	2018	TU1	iglesia	F4	lasca canto	jaspe ro						
FS042	2018	TU1	iglesia	F4	Pieza ret	arci						
FS042	2018	TU1	iglesia	F4	rasp tortuga	arci						
FS044	2018	476-510	escuela	0-90	lasca	basalto						
FS044	2018	476-510	escuela	0-90	lasca	arci						
FS044	2018	476-510	escuela	0-90	lasca	arci						
FS044	2018	476-510	escuela	0-90	lasca	jaspe am						
FS044	2018	476-510	escuela	0-90	lasca canto	arci						
FS045	2018	476-510	escuela	0-90	frag. nucleo	jaspe ros						

Bolsa	Año	Unidad	Localidad	Nivel	Tipo	Material	Largo	Ancho	Espesor	L. Ped	A. Ped	E. Ped
FS045	2018	476-510	escuela	0-90	lasca	basalto						
FS045	2018	476-510	escuela	0-90	lasca	basalto						
FS045	2018	476-510	escuela	0-90	lasca	ind						
FS045	2018	476-510	escuela	0-90	lasca	arci						
FS045	2018	476-510	escuela	0-90	lasca	arci						
FS045	2018	476-510	escuela	0-90	lasca	arci						
FS045	2018	476-510	escuela	0-90	lasca	arci						
FS045	2018	476-510	escuela	0-90	lasca	arci						
FS045	2018	476-510	escuela	0-90	lasca	arci						
FS045	2018	476-510	escuela	0-90	lasca	arci						
FS045	2018	476-510	escuela	0-90	lasca	cuarcita						
FS045	2018	476-510	escuela	0-90	nucleo	cuarcita						
FS045	2018	476-510	escuela	0-90	Pieza ret	jaspe am						
FS046	2018	476-510	escuela	0-90	lasca	basalto						
FS046	2018	476-510	escuela	0-90	lasca	lgneo						
FS046	2018	476-510	escuela	0-90	lasca	ind						
FS046	2018	476-510	escuela	0-90	lasca	arci						
FS047	2018	476-510	escuela	0-27	lasca	arci						
FS048	2018	480-500	escuela	0-48	lasca uti.	arci						
FS050	2018	472-403	terrazza	0-12	hacha	basalto						
FS050	2018	472-403	terrazza	0-12	lasca	jaspe am						
FS051	2018	472-403	terrazza	dic-41	frag. nucleo	lgneo						
FS051	2018	472-403	terrazza	dic-41	lasca	basalto						
FS051	2018	472-403	terrazza	dic-41	lasca	chal ros						
FS051	2018	472-403	terrazza	dic-41	lasca	jaspe ro						
FS054	2018	454-408	terrazza	40-48	lasca	cal. tach						
FS056	2018	477-408	terrazza	ago-37	lasca	basalto						
FS059	2018	477-408	terrazza	47-54	cuchillo	arci						
FS059	2018	477-408	terrazza	47-54	frag. nucleo	arci						
FS059	2018	477-408	terrazza	47-54	lasca	basalto						
FS059	2018	477-408	terrazza	47-54	lasca	arci						
FS059	2018	477-408	terrazza	47-54	nucleo	arci						
FS060	2018	TU2	iglesia	15-46	punta ango	jaspe am	55.17	16.17	11.22	16.88	10.01	8.91
FS061	2018	TU2	iglesia	15-46	arenisca	arenisca						
FS061	2018	TU2	iglesia	15-46	Cantos parti	cuarcita						
FS061	2018	TU2	iglesia	15-46	frag. nucleo	cuarcita						
FS061	2018	TU2	iglesia	15-46	hacha	basalto						
FS061	2018	TU2	iglesia	15-46	lasca	basalto						
FS061	2018	TU2	iglesia	15-46	lasca	basalto						

Bolsa	Año	Unidad	Localidad	Nivel	Tipo	Material	Largo	Ancho	Espesor	L. Ped	A. Ped	E. Ped
FS061	2018	TU2	iglesia	15-46	lasca	basalto						
FS061	2018	TU2	iglesia	15-46	lasca	basalto						
FS061	2018	TU2	iglesia	15-46	lasca	basalto						
FS061	2018	TU2	iglesia	15-46	lasca	ind						
FS061	2018	TU2	iglesia	15-46	lasca	ind						
FS061	2018	TU2	iglesia	15-46	lasca	ind						
FS061	2018	TU2	iglesia	15-46	lasca	arci						
FS061	2018	TU2	iglesia	15-46	lasca	chal ros						
FS061	2018	TU2	iglesia	15-46	lasca	jaspe ro						
FS061	2018	TU2	iglesia	15-46	lasca	jaspe ro						
FS061	2018	TU2	iglesia	15-46	lasca	jaspe am						
FS061	2018	TU2	iglesia	15-46	lasca	jaspe am						
FS061	2018	TU2	iglesia	15-46	lasca hacha	basalto						
FS061	2018	TU2	iglesia	15-46	lasca hacha	basalto						
FS061	2018	TU2	iglesia	15-46	lasca hacha	basalto						
FS061	2018	TU2	iglesia	15-46	lasca hacha	basalto						
FS061	2018	TU2	iglesia	15-46	lasca hacha	basalto						
FS061	2018	TU2	iglesia	15-46	lasca hacha	basalto						
FS061	2018	TU2	iglesia	15-46	lasca hacha	basalto						
FS061	2018	TU2	iglesia	15-46	lasca hacha	basalto						
FS061	2018	TU2	iglesia	15-46	lasca hacha	basalto						
FS061	2018	TU2	iglesia	15-46	lasca hacha	basalto						
FS061	2018	TU2	iglesia	15-46	mano	lgneo	48.34	21.85	23.15			
FS061	2018	TU2	iglesia	15-46	navaja ret	jaspe am						
FS061	2018	TU2	iglesia	15-46	Pieza ret	cuarcita						
FS063	2018	TU2	iglesia	15-46	frag. nucleo	jaspe ro						
FS063	2018	TU2	iglesia	15-46	lasca	arci						
FS064	2018	TU2	iglesia	15-46	lasca	arci						
FS066	2018	TU2	iglesia	15-46	frag. nucleo	chal ros						
FS066	2018	TU2	iglesia	15-46	lasca	basalto						
FS066	2018	TU2	iglesia	15-46	lasca	basalto						
FS066	2018	TU2	iglesia	15-46	lasca	ind						
FS066	2018	TU2	iglesia	15-46	lasca	arci						
FS066	2018	TU2	iglesia	15-46	lasca	jaspe am						
FS066	2018	TU2	iglesia	15-46	lasca	jaspe am						
FS066	2018	TU2	iglesia	15-46	lasca	jaspe am						
FS066	2018	TU2	iglesia	15-46	lasca hacha	basalto						
FS066	2018	TU2	iglesia	15-46	lasca hacha	basalto						
FS067	2018	TU2	iglesia	15-46	lasca	basalto						
FS067	2018	TU2	iglesia	15-46	lasca	basalto						
FS067	2018	TU2	iglesia	15-46	lasca	basalto						

Bolsa	Año	Unidad	Localidad	Nivel	Tipo	Material	Largo	Ancho	Espesor	L. Ped	A. Ped	E. Ped
FS067	2018	TU2	iglesia	15-46	lasca	ind						
FS067	2018	TU2	iglesia	15-46	lasca	arci						
FS067	2018	TU2	iglesia	15-46	lasca	arci						
FS067	2018	TU2	iglesia	15-46	lasca	arci						
FS067	2018	TU2	iglesia	15-46	lasca	arci						
FS067	2018	TU2	iglesia	15-46	lasca	arci						
FS067	2018	TU2	iglesia	15-46	lasca	chal ros						
FS067	2018	TU2	iglesia	15-46	lasca	jaspe am						
FS067	2018	TU2	iglesia	15-46	lasca hacha	basalto						
FS068	2018	TU2	iglesia	35-53	hacha	basalto						
FS068	2018	TU2	iglesia	35-53	hacha	basalto						
FS068	2018	TU2	iglesia	35-53	lasca	basalto						
FS068	2018	TU2	iglesia	35-53	lasca	jaspe ro						
FS068	2018	TU2	iglesia	35-53	lasca	jaspe ro						
FS068	2018	TU2	iglesia	35-53	lasca hacha	basalto						
FS068	2018	TU2	iglesia	35-53	navaja ret	jaspe am	30.13	16.52	2.33			
FS068	2018	TU2	iglesia	35-53	pulidor	lgneo						
FS071	2018	TU2	iglesia	35-53	Pieza ret	jaspe ro						
FS072	2018	TU2	iglesia	35-53	lasca	ind						
FS072	2018	TU2	iglesia	35-53	lasca	chal ros						
FS073	2018	TU2	iglesia	38-59	frag. nucleo	arci						
FS073	2018	TU2	iglesia	38-59	hacha	basalto						
FS073	2018	TU2	iglesia	38-59	lasca	basalto						
FS073	2018	TU2	iglesia	38-59	lasca	basalto						
FS073	2018	TU2	iglesia	38-59	lasca	arci						
FS073	2018	TU2	iglesia	38-59	lasca	jaspe am						
FS073	2018	TU2	iglesia	38-59	lasca hacha	basalto						
FS073	2018	TU2	iglesia	38-59	lasca hacha	basalto						
FS073	2018	TU2	iglesia	38-59	lasca hacha	basalto						
FS073	2018	TU2	iglesia	38-59	mat. lit.	cal. clara						
FS073	2018	TU2	iglesia	38-59	Micronucleo	jaspe ros						
FS073	2018	TU2	iglesia	38-59	nucleo	lgneo						
FS073	2018	TU2	iglesia	38-59	Pieza ret	BGCHAL						
FS076	2018	TU2	iglesia	38-59	hacha	basalto						
FS076	2018	TU2	iglesia	38-59	lasca hacha	basalto						
FS077	2018	TU2	iglesia	38-59	frag. punta	jaspe ro						
FS077	2018	TU2	iglesia	38-59	lasca	basalto						
FS077	2018	TU2	iglesia	38-59	lasca	ind						
FS077	2018	TU2	iglesia	38-59	lasca	jaspe ros						
FS077	2018	TU2	iglesia	38-59	lasca	jaspe am						

Bolsa	Año	Unidad	Localidad	Nivel	Tipo	Material	Largo	Ancho	Espesor	L. Ped	A. Ped	E. Ped
FS078	2018	TU2	iglesia	38-59	lasca	basalto						
FS078	2018	TU2	iglesia	38-59	lasca	arci						
FS078	2018	TU2	iglesia	38-59	lasca	jaspe ro						
FS078	2018	TU2	iglesia	38-59	lasca	jaspe am						
FS078	2018	TU2	iglesia	38-59	lasca hacha	basalto						
FS079	2018	TU2	iglesia	38-59	lasca	basalto						
FS079	2018	TU2	iglesia	38-59	lasca	ind						
FS079	2018	TU2	iglesia	38-59	lasca	cuarcita						
FS079	2018	TU2	iglesia	38-59	lasca	jaspe ro						
FS079	2018	TU2	iglesia	38-59	lasca	jaspe am						
FS079	2018	TU2	iglesia	38-59	lasca hacha	basalto						
FS079	2018	TU2	iglesia	38-59	Pieza ret	jaspe ro						
FS081	2018	TU2	iglesia	WALL	lasca	jaspe cho						
FS081	2018	TU2	iglesia	WALL	lasca	jaspe ros						
FS082	2018	557-490	iglesia		p trifacial	jaspe am						
FS083	2018	513-425	terrazza	0-12	hacha	basalto	74.65	40.7	20.09			
FS083	2018	513-425	terrazza	0-12	lasca	basalto						
FS083	2018	513-425	terrazza	0-12	lasca	basalto						
FS083	2018	513-425	terrazza	0-12	lasca	BCHAL						
FS083	2018	513-425	terrazza	0-12	lasca	arci						
FS083	2018	513-425	terrazza	0-12	lasca	arci						
FS083	2018	513-425	terrazza	0-12	Pieza ret	chal ros						
FS084	2018	539-500	iglesia		frag. nucleo	arci						
FS084	2018	539-500	iglesia		frag. nucleo	arci						
FS084	2018	539-500	iglesia		frag. nucleo	jaspe ro						
FS084	2018	539-500	iglesia		lasca	basalto						
FS084	2018	539-500	iglesia		lasca	basalto						
FS084	2018	539-500	iglesia		lasca	lgneo						
FS084	2018	539-500	iglesia		lasca	lgneo						
FS084	2018	539-500	iglesia		lasca	ind						
FS084	2018	539-500	iglesia		lasca	arci						
FS084	2018	539-500	iglesia		lasca	arci						
FS084	2018	539-500	iglesia		lasca	arci						
FS084	2018	539-500	iglesia		lasca	arci						
FS084	2018	539-500	iglesia		lasca	jaspe ro						
FS084	2018	539-500	iglesia		mat. lit.	cal. clara						
FS086	2018	TU3	iglesia	25-35	lasca	basalto						
FS086	2018	TU3	iglesia	25-35	lasca	basalto						
FS086	2018	TU3	iglesia	25-35	lasca	basalto						
FS086	2018	TU3	iglesia	25-35	lasca	arci						

Bolsa	Año	Unidad	Localidad	Nivel	Tipo	Material	Largo	Ancho	Espesor	L. Ped	A. Ped	E. Ped
FS086	2018	TU3	iglesia	25-35	lasca	arci						
FS086	2018	TU3	iglesia	25-35	lasca	arci						
FS086	2018	TU3	iglesia	25-35	lasca	arci						
FS086	2018	TU3	iglesia	25-35	lasca	jaspe ros						
FS086	2018	TU3	iglesia	25-35	lasca	jaspe am						
FS087	2018	TU3	iglesia	35-45	frag. nucleo	arci						
FS087	2018	TU3	iglesia	35-45	frag. nucleo	arci						
FS087	2018	TU3	iglesia	35-45	frag. nucleo	jaspe ros						
FS087	2018	TU3	iglesia	35-45	frag. nucleo	jaspe ro						
FS087	2018	TU3	iglesia	35-45	lasca	basalto						
FS089	2018	TU7	iglesia	13-47	hacha	basalto						
FS089	2018	TU7	iglesia	13-47	lasca	basalto						
FS089	2018	TU7	iglesia	13-47	lasca de hacha ret	basalto						
FS089	2018	TU7	iglesia	13-47	lasca hacha	basalto						
FS089	2018	TU7	iglesia	13-47	lasca hacha	basalto						
FS089	2018	TU7	iglesia	13-47	piedra fogon							
FS089	2018	TU7	iglesia	13-47	punta ango	jaspe am	38.5	15.22	5.39	11.85	8.2	5.67
FS091	2018	TU7	iglesia	F7	lasca	basalto						
FS093	2018	467-408	terrace	21-46	Afilador	cuarcita						
FS093	2018	467-408	terrace	21-46	frag. nucleo	cuarcita						
FS093	2018	467-408	terrace	21-46	lasca	basalto						
FS095	2018	TU4	iglesia	33-43	lasca	basalto						
FS095	2018	TU4	iglesia	33-43	lasca	basalto						
FS095	2018	TU4	iglesia	33-43	lasca	basalto						
FS095	2018	TU4	iglesia	33-43	lasca	basalto						
FS095	2018	TU4	iglesia	33-43	lasca	BGCHAL						
FS095	2018	TU4	iglesia	33-43	lasca	cal. clara						
FS095	2018	TU4	iglesia	33-43	lasca	arci						
FS095	2018	TU4	iglesia	33-43	lasca	arci						
FS095	2018	TU4	iglesia	33-43	lasca	arci						
FS095	2018	TU4	iglesia	33-43	lasca	cuarcita						
FS095	2018	TU4	iglesia	33-43	lasca	jaspe am						
FS095	2018	TU4	iglesia	33-43	lasca	jaspe am						
FS095	2018	TU4	iglesia	33-43	lasca hacha	basalto						
FS095	2018	TU4	iglesia	33-43	lasca hacha	basalto						
FS095	2018	TU4	iglesia	33-43	lasca hacha	basalto						
FS095	2018	TU4	iglesia	33-43	nucleo	cuarcita						
FS095	2018	TU4	iglesia	33-43	p trifacial/rasp	jaspe am		22.82	18.37	11.31	14.12	11.83

Bolsa	Año	Unidad	Localidad	Nivel	Tipo	Material	Largo	Ancho	Espesor	L. Ped	A. Ped	E. Ped
FS096	2018	TU4	iglesia	33-43	lasca	arci						
FS096	2018	TU4	iglesia	33-43	lasca	cal gris						
FS098	2018	TU4	iglesia	33-43	punta ango	jaspe am	50.91	18.56	8.72	13.63	11.08	6.48
FS099	2018	TU5	iglesia	33-43	frag. punta	jaspe am						
FS099	2018	TU5	iglesia	33-43	hacha	basalto	106.59	54.04	19.52			
FS099	2018	TU5	iglesia	33-43	lasca	basalto						
FS099	2018	TU5	iglesia	33-43	lasca	basalto						
FS099	2018	TU5	iglesia	33-43	lasca	basalto						
FS099	2018	TU5	iglesia	33-43	lasca	basalto						
FS099	2018	TU5	iglesia	33-43	lasca	arci						
FS099	2018	TU5	iglesia	33-43	lasca	arci						
FS099	2018	TU5	iglesia	33-43	lasca	arci						
FS099	2018	TU5	iglesia	33-43	lasca	arci						
FS099	2018	TU5	iglesia	33-43	lasca	arci						
FS099	2018	TU5	iglesia	33-43	lasca	arci						
FS099	2018	TU5	iglesia	33-43	lasca	jaspe viol						
FS099	2018	TU5	iglesia	33-43	lasca	cuarcita						
FS099	2018	TU5	iglesia	33-43	lasca hacha	basalto						
FS099	2018	TU5	iglesia	33-43	lasca hacha	basalto						
FS099	2018	TU5	iglesia	33-43	lasca hacha	basalto						
FS099	2018	TU5	iglesia	33-43	lasca hacha	basalto						
FS099	2018	TU5	iglesia	33-43	punta ango	jaspe ro	28.98	13.66	2.81	9.55	6.47	2.96
FS103	2018	TU6	iglesia	33-43	frag. nucleo	arci						
FS103	2018	TU6	iglesia	33-43	frag. nucleo	arci						
FS103	2018	TU6	iglesia	33-43	frag. nucleo	jaspe ro						
FS103	2018	TU6	iglesia	33-43	lasca	basalto						
FS103	2018	TU6	iglesia	33-43	lasca	basalto						
FS103	2018	TU6	iglesia	33-43	lasca	basalto						
FS103	2018	TU6	iglesia	33-43	lasca	basalto						
FS103	2018	TU6	iglesia	33-43	lasca	basalto						
FS103	2018	TU6	iglesia	33-43	lasca	cal. clara						
FS103	2018	TU6	iglesia	33-43	lasca	cal. clara						
FS103	2018	TU6	iglesia	33-43	lasca	cal. clara						
FS103	2018	TU6	iglesia	33-43	lasca	cal. clara						
FS103	2018	TU6	iglesia	33-43	lasca	cal. clara						
FS103	2018	TU6	iglesia	33-43	lasca	arci						
FS103	2018	TU6	iglesia	33-43	lasca	arci						

Bolsa	Año	Unidad	Localidad	Nivel	Tipo	Material	Largo	Ancho	Espesor	L. Ped	A. Ped	E. Ped
FS103	2018	TU6	iglesia	33-43	lasca	arci						
FS103	2018	TU6	iglesia	33-43	lasca	arci						
FS103	2018	TU6	iglesia	33-43	lasca	arci						
FS103	2018	TU6	iglesia	33-43	lasca	cuarcita						
FS103	2018	TU6	iglesia	33-43	punta ango	cal. clara	37.11	24.02	10.4	12.09	9.51	9.04
FS105	2018	TU3	iglesia	43-48	lasca	jaspe ros						
FS105	2018	TU3	iglesia	43-48	lasca	cal. ama						
FS107	2018	TU3	iglesia	53-58	lasca	basalto						
FS107	2018	TU3	iglesia	53-58	lasca	arci						
FS107	2018	TU3	iglesia	53-58	lasca hacha	basalto						
FS108	2018	TU3	iglesia	F8	lasca	cal. ama						
FS109	2018	TU3	iglesia	F8	lasca	cal. clara						
FS109	2018	TU3	iglesia	F8	lasca	jaspe am						
FS109	2018	TU3	iglesia	F8	lasca hacha	basalto						
FS109	2018	TU3	iglesia	F8	lasca hacha	basalto						
FS109	2018	TU3	iglesia	F8	lasca hacha	basalto						
FS111	2018	TU4	iglesia	43-48	lasca	cal. clara						
FS111	2018	TU4	iglesia	43-48	lasca	cuarcita						
FS111	2018	TU4	iglesia	43-48	lasca	jaspe ro						
FS114	2018	TU4	iglesia	48-53	lasca	arci						
FS114	2018	TU4	iglesia	48-53	lasca	cal. tach						
FS121	2018	TU5	iglesia	43-48	lasca	basalto						
FS124	2018	TU6	iglesia	43-48	lasca	arci						
FS125	2018	TU6	iglesia	48-53	lasca	arci						
FS125	2018	TU6	iglesia	48-53	lasca	arci						
FS125	2018	TU6	iglesia	48-53	lasca	palma pet						
FS125	2018	TU6	iglesia	48-53	lasca	cuarcita						
FS127	2018	TU6	iglesia	53-58	frag. nucleo	cuarcita						
FS130	2018	TU6	iglesia	F13	lasca	cuarcita						
FS131	2018	TU8	terrazza	F9	lasca	ind						
FS131	2018	TU8	terrazza	F9	p trifacial	jaspe am						
FS135	2018	TU9	terrazza	30-48	frag. nucleo	cryst cz						
FS135	2018	TU9	terrazza	30-48	frag. nucleo	cryst cz						
FS135	2018	TU9	terrazza	30-48	lasca	arci						
FS135	2018	TU9	terrazza	30-48	lasca	jaspe am						
FS137	2018	TU9	terrazza	42-54	lasca	basalto						
FS137	2018	TU9	terrazza	42-54	lasca	ind						
FS137	2018	TU9	terrazza	42-54	lasca	arci						
FS137	2018	TU9	terrazza	42-54	navaja ret	jaspe oli						
FS137	2018	TU9	terrazza	42-54	navaja ret	jaspe am						

Bolsa	Año	Unidad	Localidad	Nivel	Tipo	Material	Largo	Ancho	Espesor	L. Ped	A. Ped	E. Ped
FS139	2018	TU9	terraza	53-68	frag. nucleo	arci						
FS139	2018	TU9	terraza	53-68	lasca hacha	basalto						
FS139	2018	TU9	terraza	53-68	nucleo	jaspe am						
FS140	2018	TU9	terraza	53-68	lasca	arci						

